

งานวิจัย

เรื่อง

การศึกษาการประหยัดพลังงานไฟฟ้าในการควบคุมปั๊มลมแบบสตาร์ท-สต็อป

Electrical Energy Saving Study in Start-Stop Control of Air Compressor

โดย

นายสมชาย
นายอนันต์

เหลืองศศ
เต็มปีyan

มหาวิทยาลัยเทคโนโลยีราชมงคลพระนคร

พ.ศ. 2549

งานห้องสมุดกลางเทเวศร์

สำนักวิทยบริการและสนับสนุนโลจิสติกส์
วันที่..... 14 ส.ค. A. 2552

เลขทะเบียน..... 000143

เลขที่บูรณาการ..... 09.

ก.๒๓๙ ก

๑.๓

บทคัดย่อ

ในปัจจุบันนี้พลังงานลมอัดถูกนำมาใช้กันอย่างกว้างขวางในภาคอุตสาหกรรม เนื่องจาก การได้ปรับปรุงกลไกของอุปกรณ์ที่ใช้ลมอัดทำให้เกิดงานในแนวสีน้ำเงิน เมื่อเทียบกับอุปกรณ์ที่ใช้ พลังงานรูปแบบอื่น เช่น น๊อเตอร์ไฟฟ้า เป็นต้น และจากปัญหาภาวะขาดแคลนพลังงานในปัจจุบัน ทำให้มุนich มีการศึกษาเรื่องการใช้พลังงานอย่างประหยัดมากขึ้น งานวิจัยนี้จึงได้มุ่งเน้นไปที่ การศึกษาเรื่องการประหยัดพลังงานในการควบคุมเครื่องอัดอากาศแบบ สถารท-สต็อป เพื่อศึกษาว่า ควรตั้งค่าความดันเท่าใดในการควบคุมให้เครื่องอัดอากาศ ตัด-ต่อ การทำงาน ที่ทำให้เกิดการ ประหยัดค่าพลังงานไฟฟ้าเนื่องจากการใช้เครื่องอัดอากาศให้นากที่สุด

งานวิจัยนี้ทำการศึกษาและทดลองจาก เครื่องอัดอากาศจำนวน 3 ขนาด และถังเก็บลม 4 ขนาด โดยเครื่องอัดอากาศแต่ละขนาดจะใช้ถังเก็บลมทั้ง 4 ขนาด รวมแล้วจะได้การทดลองทั้งหมด 12 กรณี เครื่องอัดอากาศที่ใช้จะถูกควบคุมการทำงานแบบ สถารท-สต็อป การศึกษาเริ่มจากการใช้ พลังงานลมอัดเริ่มตั้งแต่ร้อยละ 20, 40, 60 และ 80 ของความสามารถในการผลิตลมอัดของเครื่อง อัดอากาศ โดยที่แต่ละช่วงของการใช้ลมอัด จะทำการตั้งค่าความดัน สถารท-สต็อป ไว้ที่ 6-7, 6-8, 6-9, 7-8, 7-9 และ 8-9 บาร์ ตามลำดับ

จากผลการทดลองหากำการใช้พลังงานไฟฟ้าของเครื่องอัดอากาศ ที่ใช้นอกเหนือไฟฟ้าแบบ 3 เฟส เป็นแหล่งต้นกำลังในการขับเครื่องอัดอากาศนั้น พบว่า เครื่องอัดอากาศทั้ง 3 เครื่อง เมื่อใช้ ร่วมกับถังพักลมทั้ง 4 ขนาด ให้ผลการทดลองที่เป็นไปในทิศทางเดียวกัน คือ การตั้งค่าความดัน สถารท-สต็อป ที่ 6-7 บาร์ นั้นจะประหยัดพลังงานไฟฟ้ามากที่สุด

สารบัญ

	หน้า
สารบัญ	(1)
สารบัญตาราง	(3)
สารบัญภาพ	(5)
คำอธิบายสัญลักษณ์และคำย่อ	(11)
คำนำ	1
การตรวจเอกสาร	3
1. ระบบการผลิตอากาศอัด	3
1.1 อุปกรณ์ให้กำลัง	3
1.2 เครื่องอัดอากาศ	4
2. การควบคุมเครื่องอัดอากาศ	8
2.1 การควบคุมแบบ สดาร์ท-สต็อป	8
2.2 การควบคุมแบบ Unloading Regulation	8
3. ส่วนการจัดเก็บลมอัด	10
4. นอเตอร์ไฟฟ้ากระแสสลับ	12
4.1 วงจรไฟฟ้าสำหรับมอเตอร์	13
4.2 การควบคุมมอเตอร์	18
5. การคำนวณค่าพลังงานไฟฟ้า	21
อุปกรณ์และวิธีการ	25
อุปกรณ์	25
วิธีการ	30
ดำเนินขั้นการทดลอง	32
ผลการวิจัยและวิจารณ์	34
1. ผลการทดลองเครื่องอัดอากาศเครื่องที่ 1	35
1.1 การทดลองกับถังพักลมขนาด 300 ลิตร	35
1.2 การทดลองกับถังพักลมขนาด 360 ลิตร	48
1.3 การทดลองกับถังพักลมขนาด 600 ลิตร	49

สารบัญ (ต่อ)

1.4 การทดลองกับถังพักลมขนาด 660 ลิตร	50
2. ผลการทดลองเครื่องอัดอากาศเครื่องที่ 2	55
2.1 การทดลองกับถังพักลมขนาด 300 ลิตร	55
2.2 การทดลองกับถังพักลมขนาด 360 ลิตร	56
2.3 การทดลองกับถังพักลมขนาด 600 ลิตร	57
2.4 การทดลองกับถังพักลมขนาด 660 ลิตร	58
3. ผลการทดลองเครื่องอัดอากาศเครื่องที่ 3	62
3.1 การทดลองกับถังพักลมขนาด 300 ลิตร	62
3.2 การทดลองกับถังพักลมขนาด 360 ลิตร	63
3.3 การทดลองกับถังพักลมขนาด 600 ลิตร	64
3.4 การทดลองกับถังพักลมขนาด 660 ลิตร	65
สรุปและข้อเสนอแนะ	69
เอกสารและสิ่งอ้างอิง	71
ภาคผนวก	72
ภาคผนวก ก	73
ภาคผนวก ข	81

สารบัญตาราง

ตารางที่		หน้า
3.1	แสดงขนาดของถังพักลมกับเครื่องอัดอากาศ	34
3.2	แสดงการทดลองความสัมพันธ์ระหว่างร้อยละของการใช้งานลมอัด กับการตั้งค่าความดัน สถา๊รท-สต็อป	34
3.3	ผลการใช้พลังงานไฟฟ้าที่ร้อยละของการใช้งานลมอัดกับการตั้งค่า ความดันต่างๆ ของเครื่องอัดอากาศตัวที่ 1 ถังพักลมขนาด 300 ลิตร	47
3.4	ผลการใช้พลังงานไฟฟ้าที่ร้อยละของการใช้งานลมอัดกับการตั้งค่า ความดันต่างๆ ของเครื่องอัดอากาศตัวที่ 1 ถังพักลมขนาด 360 ลิตร	48
3.5	ผลการใช้พลังงานไฟฟ้าที่ร้อยละของการใช้งานลมอัดกับการตั้งค่า ความดันต่างๆ ของเครื่องอัดอากาศตัวที่ 1 ถังพักลมขนาด 600 ลิตร	49
3.6	ผลการใช้พลังงานไฟฟ้าที่ร้อยละของการใช้งานลมอัดกับการตั้งค่า ความดันต่างๆ ของเครื่องอัดอากาศตัวที่ 1 ถังพักลมขนาด 660 ลิตร	50
3.7	แสดงการใช้พลังงานไฟฟ้าใน 1 ชั่วโมง ของเครื่องอัดอากาศตัวที่ 1 ที่ ร้อยละของการใช้ลมอัดและถังลมขนาดต่างๆ	52
3.8	ผลการใช้พลังงานไฟฟ้าที่ร้อยละของการใช้งานลมอัดกับการตั้งค่า ความดันต่างๆ ของเครื่องอัดอากาศตัวที่ 2 ถังพักลมขนาด 300 ลิตร	55
3.9	ผลการใช้พลังงานไฟฟ้าที่ร้อยละของการใช้งานลมอัดกับการตั้งค่า ความดันต่างๆ ของเครื่องอัดอากาศตัวที่ 2 ถังพักลมขนาด 360 ลิตร	56
3.10	ผลการใช้พลังงานไฟฟ้าที่ร้อยละของการใช้งานลมอัดกับการตั้งค่า ความดันต่างๆ ของเครื่องอัดอากาศตัวที่ 2 ถังพักลมขนาด 600 ลิตร	57
3.11	ผลการใช้พลังงานไฟฟ้าที่ร้อยละของการใช้งานลมอัดกับการตั้งค่า ความดันต่างๆ ของเครื่องอัดอากาศตัวที่ 2 ถังพักลมขนาด 660 ลิตร	58
3.12	แสดงการใช้พลังงานไฟฟ้าใน 1 ชั่วโมง ของเครื่องอัดอากาศตัวที่ 2 ที่ ร้อยละของการใช้ลมอัดและถังลมขนาดต่างๆ	59
3.13	ผลการใช้พลังงานไฟฟ้าที่ร้อยละของการใช้งานลมอัดกับการตั้งค่า ความดันต่างๆ ของเครื่องอัดอากาศตัวที่ 3 ถังพักลมขนาด 300 ลิตร	62
3.14	ผลการใช้พลังงานไฟฟ้าที่ร้อยละของการใช้งานลมอัดกับการตั้งค่า ความดันต่างๆ ของเครื่องอัดอากาศตัวที่ 3 ถังพักลมขนาด 360 ลิตร	63

สารนัยตาราง (ต่อ)

3.15	ผลการใช้พัลส์งานไฟฟ้าที่เปอร์เซ็นต์การใช้งานลมอัดกับการดึงค่าความคันต่างๆ ของเครื่องอัดอากาศตัวที่ 3 ถังพัลส์ขนาด 600 ลิตร	64
3.16	ผลการใช้พัลส์งานไฟฟ้าที่เปอร์เซ็นต์การใช้งานลมอัดกับการดึงค่าความคันต่างๆ ของเครื่องอัดอากาศตัวที่ 3 ถังพัลส์ขนาด 660 ลิตร	65
3.17	แสดงการใช้พัลส์งานไฟฟ้าใน 1 ชั่วโมง ของเครื่องอัดอากาศตัวที่ 3 ที่เปอร์เซ็นต์การใช้ลมอัดและถังลมขนาดต่างๆ	66



สารบัญภาค

ภาคที่	หน้า
1.1 แสดงระบบการใช้อาภิรัตน์	3
1.2 แสดงอุปกรณ์ให้กำลังขับเครื่องขัดอาภิรัตน์	4
1.3 แผนผังแสดงชนิดของเครื่องขัดอาภิรัตน์	4
1.4 เครื่องขัดอาภิรัตน์แบบถูกสูบ	5
1.5 เครื่องขัดอาภิรัตน์แบบไคอะแฟร์น	5
1.6 เครื่องขัดอาภิรัตน์แบบใบพัดเลื่อน	6
1.7 เครื่องขัดอาภิรัตน์แบบใบพัดหมุน	6
1.8 เครื่องขัดอาภิรัตน์แบบสกอร์ช	7
1.9 เครื่องขัดอาภิรัตน์แบบกังหัน	7
1.10 การควบคุมแบบ สตาร์ท-สต็อป	8
1.11 การควบคุมแบบบรรบายน้ำมันอัด	9
1.12 การควบคุมแบบปีก	9
1.13 ถังพักลม	10
1.14 ภาพแสดงการหาน้ำด้วยถังพักลม	11
1.15 ชุดคลวตและรูปคลื่นแรงดันไฟฟ้าที่สเตเตอร์	12
1.16 ลักษณะการต่อชุดคลวตสเตเตอร์	12
1.17 ส่วนประกอบของระบบไฟฟ้ามอเตอร์	14
1.18 แสดงลักษณะของเซอร์กิตเบรกเกอร์	15
1.19 แสดงลักษณะของพีวีสี	15
1.20 แสดงหน้าที่ของรีเลย์และคอนแทคเตอร์ควบคุม	16
1.21 โอลเวอร์ไอลด์รีเลย์	17
1.22 การต่อโอลเวอร์ไอลด์รีเลย์ร่วมกับคอนแทคเตอร์	17
1.23 วงจรสตาร์ทมอเตอร์โดยตรง	18
1.24 วงจรกลับทิศทางการหมุนของมอเตอร์ 3 เฟส	19
1.25 วงจรกำลังของการสตาร์ทมอเตอร์แบบ Y-Δ	20
1.26 วงจรควบคุมของการสตาร์ทมอเตอร์แบบ Y-Δ	21

สารบัญภาค (ห่อ)

ภาคที่	หน้า
1.27 กราฟแสดงกำลังไฟฟ้ากับเวลา	22
1.28 แสดงกราฟการใช้กำลังไฟฟ้าขององมอเตอร์ทำงานแบบ тар์ท-สต็อป	23
1.29 การประมาณค่าอินพิเกรตโดยใช้กฎสีเหลืองคงที่	24
2.1 เครื่องอัดอากาศที่ใช้ในการทดสอบ	25
2.2 แสดงลักษณะของอุปกรณ์วัดอัตราการไหลของลม	26
2.3 แสดงลักษณะของอุปกรณ์ตรวจวัดกำลังไฟฟ้า	26
2.4 แสดงหน้าต่างของโปรแกรม Data Smart View	27
2.5 แสดงลักษณะเชื่อมโยงความดันลมอัด	27
2.6 แสดงลักษณะอุปกรณ์เปรียบเทียบแรงดันไฟฟ้า	28
2.7 แสดงลักษณะชุดปรับปรุงคุณภาพลมอัด	28
2.8 แสดงคอมพิวเตอร์สำหรับบันทึกข้อมูล	29
2.9 แสดงวงจรระบบลมอัด	30
2.10 แสดงวงจรควบคุมเครื่องอัดอากาศและดำเนินการติดตั้งเครื่องวัดกำลังไฟฟ้า	31
3.1 กราฟแสดงการใช้กำลังไฟฟ้าที่ปริมาณการใช้ลมอัตร้อยละ 20 ความดัน tar์ท-สต็อป 6 และ 7 บาร์ ของเครื่องอัดอากาศตัวที่ 1 ถังพักลมขนาด 300 ลิตร	35
3.2 กราฟแสดงการใช้กำลังไฟฟ้าที่ปริมาณการใช้ลมอัตร้อยละ 40 ความดัน tar์ท-สต็อป 6 และ 7 บาร์ ของเครื่องอัดอากาศตัวที่ 1 ถังพักลมขนาด 300 ลิตร	36
3.3 กราฟแสดงการใช้กำลังไฟฟ้าที่ปริมาณการใช้ลมอัตร้อยละ 60 ความดัน tar์ท-สต็อป 6 และ 7 บาร์ ของเครื่องอัดอากาศตัวที่ 1 ถังพักลมขนาด 300 ลิตร	36
3.4 กราฟแสดงการใช้กำลังไฟฟ้าที่ปริมาณการใช้ลมอัตร้อยละ 80 ความดัน tar์ท-สต็อป 6 และ 7 บาร์ ของเครื่องอัดอากาศตัวที่ 1 ถังพักลมขนาด 300 ลิตร	37
3.5 กราฟแสดงการใช้กำลังไฟฟ้าที่ปริมาณการใช้ลมอัตร้อยละ 20 ความดัน tar์ท-สต็อป 6 และ 8 บาร์ ของเครื่องอัดอากาศตัวที่ 1 ถังพักลมขนาด 300 ลิตร	37
3.6 กราฟแสดงการใช้กำลังไฟฟ้าที่ปริมาณการใช้ลมอัตร้อยละ 40 ความดัน tar์ท-สต็อป 6 และ 8 บาร์ ของเครื่องอัดอากาศตัวที่ 1 ถังพักลมขนาด 300 ลิตร	38

สารบัญภาพ (ต่อ)

สารบัญภาพ (๘)

สารบัญภาค (๕๐)

ภาพผนวกที่

ก.1	รายละเอียดอุปกรณ์วัดกำลังไฟฟ้า	74
ก.2	รายละเอียดอุปกรณ์วัดกำลังไฟฟ้า (ต่อ)	75
ก.3	รายละเอียดอุปกรณ์วัดกำลังไฟฟ้า (ต่อ)	76
ก.4	รายละเอียดอุปกรณ์วัดกำลังไฟฟ้า (ต่อ)	77
ก.5	รายละเอียดอุปกรณ์วัดกำลังไฟฟ้า (ต่อ)	78
ก.6	รายละเอียดอุปกรณ์วัดกำลังไฟฟ้า (ต่อ)	79
ก.7	รายละเอียดทางเทคนิคของเซ็นเซอร์วัดความดันลมอัตโนมัติ	80



คำอธิบายสัญลักษณ์และคำย่อ

CP	=	Comparator
CT	=	Current Transformer
D.C.V.	=	Directional Control Valve
E	=	Energy
F	=	Fuse
HP	=	Horse Power
hr	=	Hours
HRC	=	High Rupture Capacity Fuse
I	=	Current
kg/cm²	=	Kilogram per square centimeter
kW	=	Kilowatt
kWh	=	Kilowatt Hour
L	=	Voltage Line
lps	=	Litre per Second
LPM	=	Litre per Minute
m³/min	=	Cubic Meter per Minute
N	=	Neutron Line
OL	=	Over Load
P	=	Power
PS	=	Pressure Sensor
t	=	Time
V	=	Voltage
Y	=	Star
Δ	=	Delta

การศึกษาการประหยัดพลังงานไฟฟ้าในการควบคุมปั๊มลมแบบสตาร์ท-สต็อป

Electrical Energy Saving Study in Start-Stop Control of Air Compressor

คำนำ

ในปัจจุบันนี้พลังงานลมอัดถูกนำมาใช้กันอย่างกว้างขวางเนื่องจากการได้เปรียบเชิงกลของ อุปกรณ์ที่ใช้ลมอัดทำให้เกิดงานในแนวเดินตรง เมื่อเทียบกับอุปกรณ์ที่ใช้พลังงานรูปแบบอื่น เช่น imoto เครื่องจักร เป็นต้น เครื่องจักรที่ใช้งานในอุตสาหกรรมในปัจจุบันนี้ ส่วนใหญ่ต้องประกอบไป กับอุปกรณ์ที่ใช้ลมอัด เพราะฉะนั้น โรงงานอุตสาหกรรมทุกแห่ง ต้องมีเครื่องจักรอากาศเพื่อผลิต ลมอัดให้กับเครื่องจักรที่ต้องใช้ลมอัดเหล่านั้น นอกจากโรงงานอุตสาหกรรมแล้ว ยังมีสถานที่อื่นๆ อีกมากมายที่ต้องใช้ลมอัด เช่น อู่ซ่อมรถ, โรงพยาบาล, สถานศึกษา หรือแม้แต่ห้างสรรพสินค้าก็ยัง ต้องใช้ลมอัด และเนื่องจากปัจจุบันนี้ยังไม่มีความสามารถให้คำแนะนำได้ว่า การควบคุมเครื่องจักร อากาศแบบ Start-Stop นั้น ควรดึงค่าความดันเท่าใดในการควบคุมให้เครื่องจักรอากาศ ตัด-ต่อ การ ทำงาน เพื่อให้ประหยัดค่าพลังงานไฟฟ้านี้เองจากการใช้เครื่องจักรอากาศให้นานที่สุด ทาง คณะผู้วิจัยจึงได้คิดทำงานวิจัยนี้ขึ้น เพื่อให้เกิดประโยชน์กับผู้ที่ต้องใช้เครื่องจักรอากาศและช่วยลด ประับดพลังงานอีกทางหนึ่งด้วย

วัตถุประสงค์ของโครงการวิจัย

- เพื่อช่วยประหยัดค่ากระแสไฟฟ้านี้เองจากการใช้เครื่องจักรอากาศ
- ช่วยส่งเสริมให้ทุกคนมีความตระหนักรู้ในการประหยัดพลังงาน
- ช่วยลดพลังงานในการผลิตกระแสไฟฟ้าของประเทศไทย
- เมื่อแนวทางในการวิจัยเกี่ยวกับการประหยัดพลังงานไฟฟ้าในโรงงานอุตสาหกรรม

ขอบเขตของโครงการวิจัย

- ศึกษาและทดลองจากเครื่องจักรอากาศ 3 ขนาด และถังเก็บลม 4 ขนาด
- ใช้มอเตอร์แบบ 3 เฟส ขับเครื่องจักรอากาศ
- ศึกษาและทดลองจากการใช้พลังงานลมอัด เริ่มจากร้อยละ 20, 40, 60 และ 80 ของ ความสามารถผลิตลมอัดของเครื่องจักรอากาศ

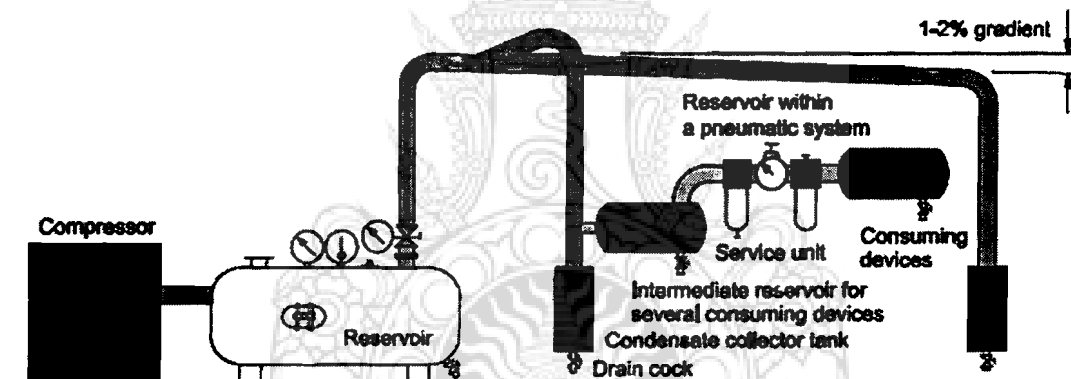
4. ศึกษาและทดลองการ ตัด-ต่อ การทำงานของเครื่องอัคพากาศ ในช่วงความดัน 6-7, 6-8, 6-9, 7-8, 7-9 และ 8-9 บาร์



การตรวจสอบ

อากาศอัดเป็นสารตัวกลางในการเปลี่ยนกำลังงานของไอลให้เป็นกำลังงานกล เพื่อควบคุมการทำงานของอุปกรณ์และเครื่องจักรให้ทำงานได้ตามที่ต้องการ ซึ่งในงานอุตสาหกรรมเกือบทุกประเภท ได้นำอากาศอัดเข้ามามีบทบาทสำคัญ เช่น เครื่องจักรในงานประกอบชิ้นส่วนต่างๆ การบรรจุหินห่อ และเครื่องจักรอัตโนมัติในกระบวนการผลิตต่างๆ เป็นต้น

ระบบอากาศอัดจะประกอบด้วยอุปกรณ์ต่างๆ หลายส่วนด้วยกัน คือ ระบบผลิตอากาศอัด ระบบการจัดเก็บ ระบบปรับปรุงสภาพอากาศอัด และระบบส่งจ่ายอากาศอัด เป็นต้น แต่ในงานวิจัยนี้จะถูกถือเฉพาะระบบการผลิตอากาศอัดและระบบการจัดเก็บเท่านั้น



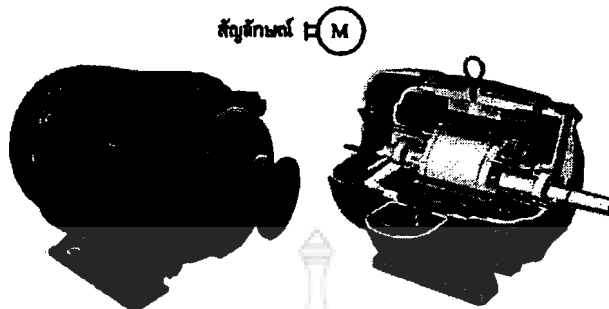
ภาพที่ 1.1 แสดงระบบการใช้อากาศอัด (Peter Croser, 2002)

1. ระบบการผลิตอากาศอัด

ส่วนการผลิตอากาศอัดนี้ถือว่าเป็นหัวใจของระบบนิวแมคติกส์ มีหน้าที่อัดอากาศให้ได้ความดันตามที่ต้องการและเตรียมเพียงพอต่อการใช้งาน ซึ่งมีอุปกรณ์ที่ทำงานร่วมกันอยู่ 3 ส่วนคือ

1.1 อุปกรณ์ให้กำลัง (Drive Equipment)

อุปกรณ์ที่ใช้ขับเครื่องอัดอากาศขึ้นอยู่กับความเหมาะสมของสถานที่ทำงานคือใช้เครื่องยนต์ในงานสนาม หรือใช้มอเตอร์ไฟฟ้าในโรงงาน

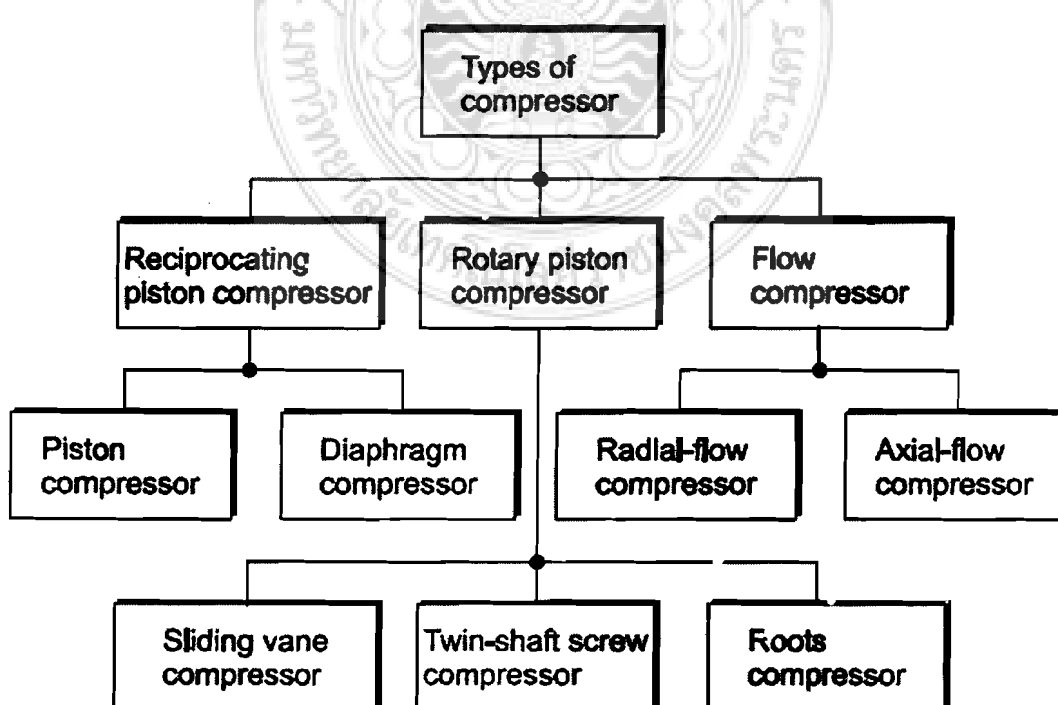


ภาพที่ 1.2 แสดงอุปกรณ์ให้กำลังขับเครื่องอัดอากาศ

1.2 เครื่องอัดอากาศ (Compressor)

เครื่องอัดอากาศทำหน้าที่ผลิตลมอัดให้ได้ความดันตามที่ต้องการ โดยจะสูดอากาศที่ความดันบรรยายอากาศแล้วอัดให้มีความดันเพิ่มสูงขึ้น ลมอัดที่ผลิตได้จะถูกเก็บไว้ที่ถังพักลมอัดก่อนที่จะจ่ายให้กับระบบ เครื่องอัดอากาศที่ใช้หัวไปมีอยู่หลายขนาด ซึ่งจะขึ้นอยู่กับปริมาณลมอัด และความดันที่ผลิตได้ สามารถแบ่งออกเป็น 3 ประเภท คือ

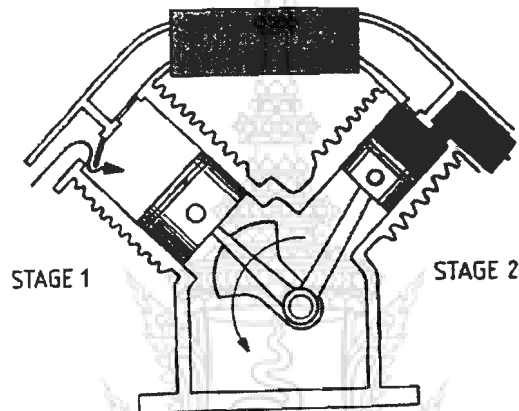
- 1.2.1 เครื่องอัดลมแบบถูกสูบ เช่น แบบถูกสูบและแบบไอดอะแฟร์ม เป็นต้น
- 1.2.2 เครื่องอัดลมแบบถูกสูบหมุน เช่น แบบสกรู แบบใบพัดและแบบรูหู เป็นต้น
- 1.2.3 เครื่องอัดลมแบบกังหัน เช่น แบบกระแสอากาศไหลในแนวรัศมี (Radial Flow) และแบบกระแสอากาศไหลในแนวแกน (Axial Flow) เป็นต้น



ภาพที่ 1.3 แผนผังแสดงชนิดของเครื่องอัดอากาศ (Peter Croser, 2002)

เครื่องอัดอากาศแบบสูบสูบ (Piston Compressor)

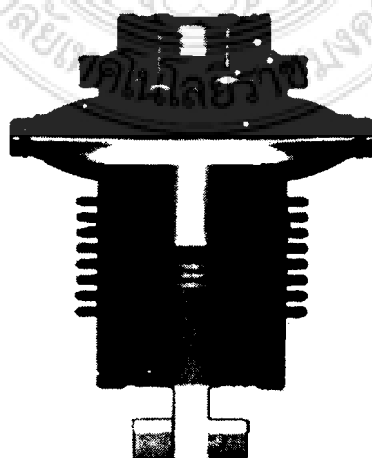
เป็นเครื่องอัดลมที่นิยมใช้กันมากที่สุด เพราะสามารถผลิตลมอัดได้ตั้งแต่ความดันต่ำจนถึงความดันสูง โดยขึ้นอยู่กับจำนวนขั้นของการอัด (Stage) การทำงานอาศัยการเคลื่อนที่ขึ้นลงของสูบสูบ ทำให้เกิดการดูดและการอัดขึ้นภายในระบบสูบสูบ จึงทำให้มีความดันเพิ่มสูงขึ้น ซึ่งปกติความดันลมอัดที่ใช้ในโรงงานอุตสาหกรรมประมาณ 6 บาร์



ภาพที่ 1.4 เครื่องอัดอากาศแบบสูบสูบ

เครื่องอัดอากาศแบบไคอะแฟร์ม(Diaphragm Compressor)

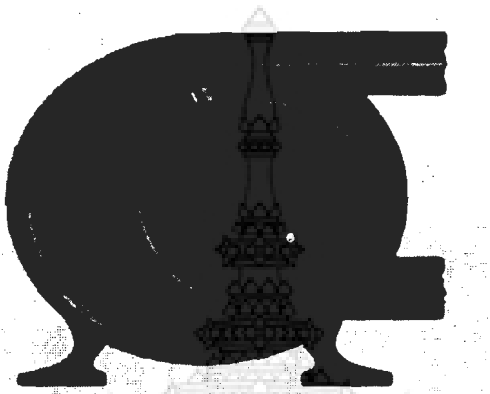
ในกรณีที่เราต้องการลมอัดที่ไม่มีสิ่งเจือปน เช่น น้ำมันหล่อลื่น เครื่องอัดอากาศชนิดนี้ส่วนใหญ่เหมาะสมสำหรับใช้ใน โรงงานผลิตอาหาร เคมีภัณฑ์และยาการแพทย์



ภาพที่ 1.5 เครื่องอัดอากาศแบบไคอะแฟร์ม

เครื่องอัดอากาศแบบใบพัดเลื่อน (Slide Vane Rotary Compressor)

การทำงานของเครื่องอัดอากาศแบบนี้มีเสียงไม่ดัง การผลิตส่งลมอัดคงที่ไม่มีเป็นหัวใจ ขัตตราการจ่ายลมสามารถ ทำได้ตั้งแต่ $4-100 \text{ m}^3/\text{min}$



ภาพที่ 1.6 เครื่องอัดอากาศแบบใบพัดเลื่อน

เครื่องอัดอากาศแบบใบพัดหมุน (Roots Compressor)

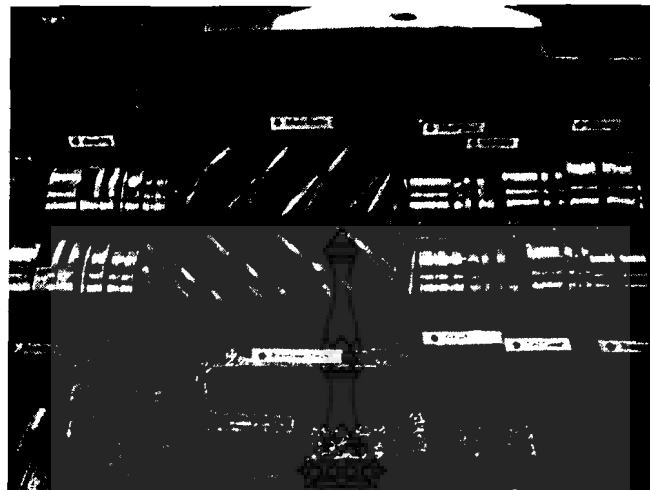
การทำงานของเครื่องอัดอากาศแบบนี้มีเสียงไม่ดังอากาศจะถูกรีดจากด้านหนึ่งไปสู่อีกด้านหนึ่ง โดยที่ไม่ถูกเปลี่ยนแปลงปริมาณแต่อากาศจะถูกอัดตัวด้านกับความต้านทานที่เกิดขึ้นอีกด้านหนึ่งซึ่งหมายถึงอากาศที่ถูกอัดเก็บอยู่ภายในถังเก็บนั่นเอง



ภาพที่ 1.7 เครื่องอัดอากาศแบบใบพัดหมุน

เครื่องอัดอากาศแบบสกรู(Screw Compressor)

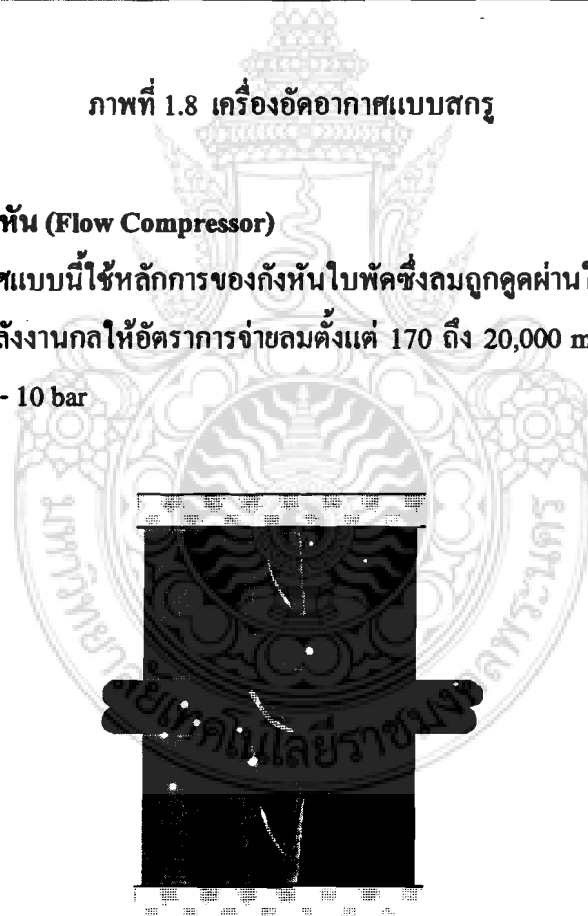
เครื่องอัดอากาศแบบนี้มีเพลาอู่ 2 แกนเพลาดัวหนึ่งมีฟันสกรูหมุน และเพลาอีกอันหนึ่งมีฟันสกรูเว้าว่างบนกันและมีทิศทางการหมุนเข้าหากันซึ่งคุณอัดลมจากด้านหนึ่งไปสู่อีกด้านหนึ่ง มี ขัตตราการจ่ายลม ได้ถึง $170 \text{ m}^3/\text{min}$ และให้ความดันถึง 10 bar



ภาพที่ 1.8 เครื่องอัดอากาศแบบสกรู

เครื่องอัดอากาศแบบกังหัน (Flow Compressor)

เครื่องอัดอากาศแบบนี้ใช้หลักการของกังหันในพัคซ์ลงถูกดูดผ่านในกังหันจะถูกเปลี่ยนจากพลังงานของลมเป็นพลังงานกลให้อัตราการจ่ายลมตั้งแต่ 170 ถึง $20,000 \text{ m}^3/\text{min}$ และให้ความดันได้ไม่สูงนักประมาณ 4 - 10 bar



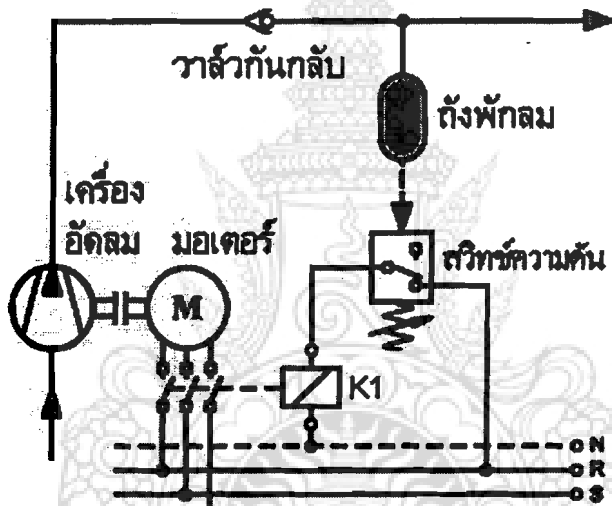
ภาพที่ 1.9 เครื่องอัดอากาศแบบกังหัน

2. การควบคุมเครื่องอัดอากาศ (ปานเพชร ชินนทร และคณะ, 2539)

เนื่องจากอากาศอัดมีความจำเป็นมากในการใช้งาน ระบบอากาศอัดจึงจำเป็นต้องมีการควบคุมเครื่องอัดอากาศ ให้มีผลิตลมอัด ให้มีปริมาณเพียงพอต่อความต้องการ การควบคุมทำได้หลายแบบทั้งนี้ขึ้นอยู่กับขนาดของเครื่องอัดอากาศซึ่งมี 2 แบบ คือ

2.1 การควบคุมแบบ สดาร์ท-สต็อป

การควบคุมวิธีนี้เหมาะสมกับเครื่องอัดอากาศขนาดเล็ก ไม่เตอร์ของเครื่องอัดอากาศจะถูกควบคุมการสดาร์ทและหยุด โดยผ่านสวิตช์ความดัน (Pressure Switch) ที่ต่ออยู่บนถังพักลม



ภาพที่ 1.10 การควบคุมแบบ สดาร์ท-สต็อป

การทำงานของระบบควบคุมเริ่มจากเมื่อความดันลมในถังพักลมต่ำลง สวิตช์ความดันจะต่อกระแสไฟฟ้าให้กับรีเลย์ K1 หน้าสัมผัสของรีเลย์ K1 ก็จะต่อกระแสไฟฟ้าให้กับมอเตอร์ของเครื่องอัดอากาศทำงาน เครื่องอัดอากาศทำงานยัดอากาศเข้าถังพักลมจนถึงที่ความดันที่กำหนด ความดันลมจากถังพักลมจะดันสวิตช์ความดันให้ตัดกระแสไฟฟ้าที่จ่ายให้กับรีเลย์ K1 ทำให้หน้าสัมผัสของรีเลย์ K1 ตัดกระแสไฟฟ้าที่ให้กับมอเตอร์ของเครื่องอัดอากาศ สำหรับงานวิจัยนี้จะศึกษาการประยุคพลังงานจากการควบคุมแบบนี้เท่านั้น

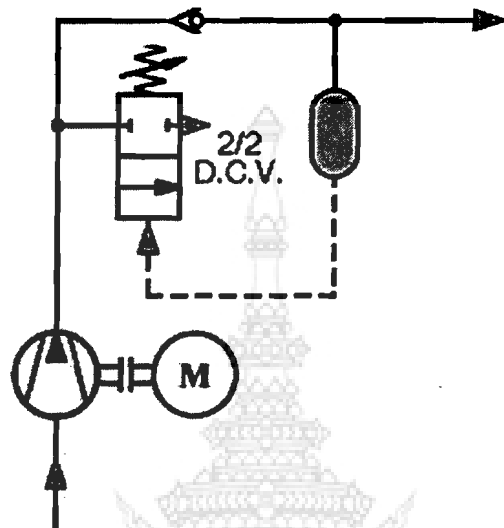
2.2 การควบคุมแบบ Unloading Regulation

การควบคุมแบบนี้แบ่งลักษณะการควบคุมได้เป็น 2 แบบคือ

- การควบคุมแบบระบบลมอัด

การควบคุมวิธีนี้เหมาะสมกับเครื่องอัดอากาศขนาดใหญ่ โดยอาศัยความดันลมจากถัง

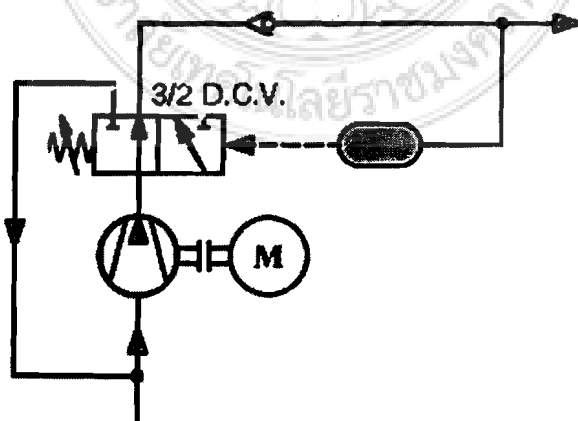
พักลมที่สูงขึ้นจนถึงจุดที่กำหนดไว้ทำให้วาล์ว 2/2 D.C.V. เปิดระบบลมจากเครื่องอัดอากาศออกสู่บรรยายอากาศ แต่เมื่อเตอร์จะทำงานอยู่ตลอดเวลา



ภาพที่ 1.11 การควบคุมแบบระบบลมอัด

การทำงานของระบบควบคุม เริ่มจากเมื่อความดันลมในถังพักลมต่ำลงแรงสปริงของวาล์ว 2/2 D.C.V. เอาชนะแรงดันลมด้านล่างวาล์วให้ปิดเพื่อให้เครื่องอัดอากาศ อัดลมเข้าถังพักลม จนถึง ถ้าความดันที่กำหนด แรงดันลมจากถังพักลมเอาชนะแรงสปริงของวาล์ว 2/2 D.C.V. เลื่อนวาล์ว ให้เปิด ลมจากเครื่องอัดอากาศถูกอัดออกสู่บรรยายอากาศแทนที่จะอัดเข้าถังพักลมช่วงระหว่างนี้ໂ Holden ของมอเตอร์จะลดลงทำให้มอเตอร์กินกระแสไฟฟ้าลดลงด้วย

- การควบคุมแบบปิด



ภาพที่ 1.12 การควบคุมแบบปิด

การทำงานของรัศมีเริ่มจากเมื่อความดันลมในถังพักลมต่ำ แรงจากสปริงของวาล์ว 3/2 D.C.V. เอาชนะแรงดันลม เป็นไปทางลมให้อัดเข้าถังพักลม เครื่องขัดอากาศทำการอัดลมเข้าถังพักลมจนถึงค่าความดันที่กำหนดความดันจากถังพักลมเอาชนะแรงสปริงของวาล์ว 3/2 D.C.V. เป็นไปทางลมเข้าและออกของเครื่องขัดอากาศให้วันถึงกัน

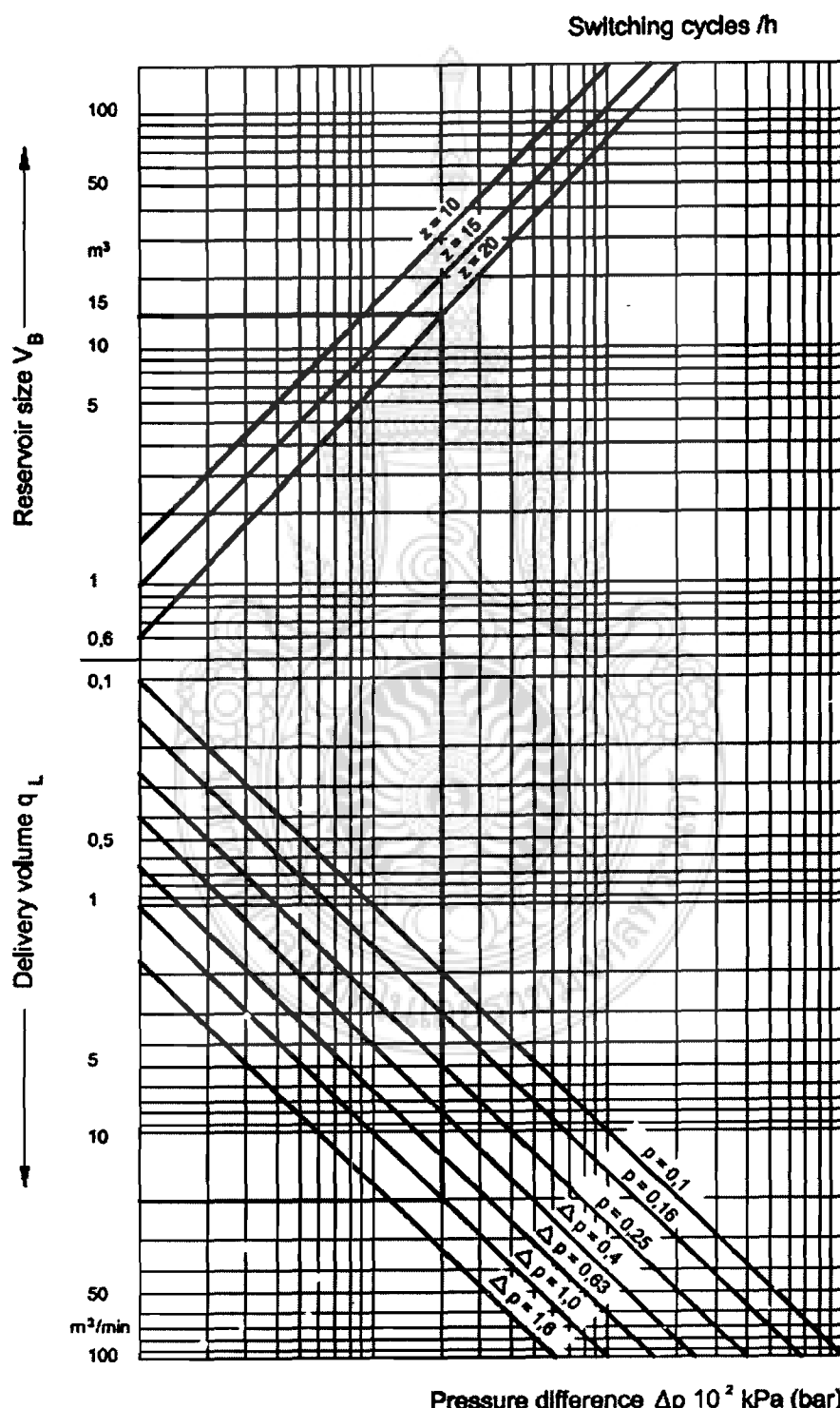
3. ส่วนการจัดเก็บลมอัด (ประวิตร ลิมปะวัฒน์, 2540)

ถังพักลมอัด มีหน้าที่เก็บปริมาณลมอัดที่ผลิตได้จากเครื่องอัดลม ให้มีปริมาณลมอัดที่เพียงพอ กับการจ่ายให้กับระบบและยังช่วยรักษาระดับความดันให้คงที่ นอกจากนี้ยังช่วยในการรับน้ำร้อนของลมอัด ซึ่งจะทำให้ไอน้ำที่ผลิตเข้ามา กับลมอัดเกิดการควบแน่นเป็นน้ำอุ่น ในถังพัก และสามารถระบายน้ำออกได้ทั่วทั้งระบบด้านล่าง จึงทำให้ลมอัดมีความแห้งระดับหนึ่ง โดยทั่วไปขนาดของถังพักลมอัดจะขึ้นอยู่กับขนาดของเครื่องขัดลมและปริมาณลมที่ใช้ในระบบ ซึ่งถังพักลมอัดจะประกอบด้วยอุปกรณ์ต่างๆ เช่น เกจวัดความดัน วาล์วนิรภัย สวิทช์ความดัน เป็นต้น ลักษณะของถังพักลมอัดจะแบ่งออกเป็น 2 แบบ คือ ถังพักลมอัดแบบวางแนวตั้ง จะใช้กับเครื่องขัดลมขนาดใหญ่ที่ต้องการปริมาณลมอัดมากๆ ซึ่งจะติดตั้งแยกออกจากเครื่องขัดลม ส่วนถังพักลมอัดแบบวางแนวนอน จะใช้กับเครื่องขัดลมขนาดเล็ก โดยตัวเครื่องขัดลมและถังพักลมจะรวมอยู่เป็นชุดเดียวกัน



ภาพที่ 1.13 ถังพักลม

การทำงานดังพักลมขึ้นอยู่กับความสัมพันธ์ของสามส่วน คือ ปริมาณลมขั้คที่จ่ายออกไปใช้งาน, ค่าความแตกต่างของความดันในถังพักลม และ จำนวนครั้งในการตัดต่อของนอเตอร์ไฟฟ้าต่อชั่วโมง



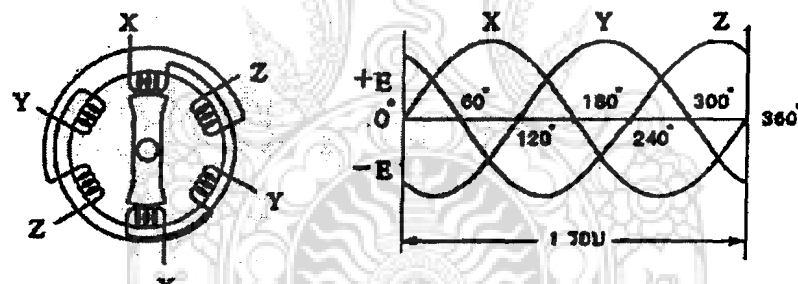
ภาพที่ 1.14 กราฟแสดงการทำงานดังพักลม (Peter Croser, 2002)

จากภาพที่ 1.14 หากต้องการหานานาคั่งพักลมนี้ต้องทราบข้อมูล 3 อย่างด้วยกัน ตัวอย่างเช่น เครื่องอัดอากาศผลิตลมอัดได้ $20 \text{ m}^3/\text{min}$, ความดันแตกต่างในลังพักลม 1 bar และ จำนวนครั้งในการตัดต่อของมอเตอร์ไฟฟ้า 20 ครั้งต่อชั่วโมง สามารถหาขนาดของคั่งพักลมได้ ขนาด 15 ลูกบาศก์เมตร เป็นต้น

4. มอเตอร์ไฟฟ้ากระแสสลับ (พรจิต ประทุมสุวรรณ, 2540)

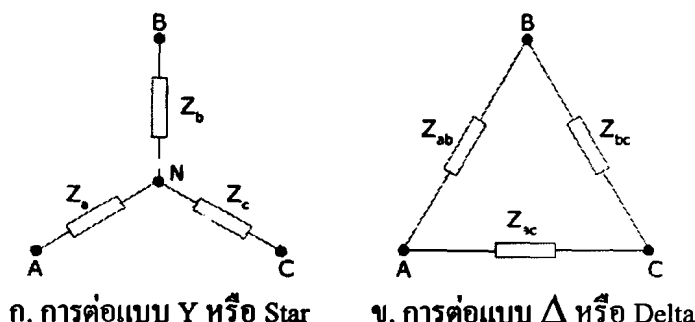
มอเตอร์ไฟฟ้าเป็นอุปกรณ์สำหรับขับเครื่องอัดอากาศ ในงานวิจัยนี้มอเตอร์ที่ใช้นั้นจะเป็น แบบกระแสสลับสามเฟส จึงขอถือว่าถึงเฉพาะมอเตอร์แบบนี้เท่านั้น

มอเตอร์ไฟฟ้ากระแสสลับสามเฟส ที่สเตเตอร์จะมีชุดคลัวค 3 ชุด ซึ่งแต่ละชุดจะวางห่าง กัน 120 องศา ทั้งทางกลและทางไฟฟ้า และเมื่อป้อนกระแสไฟฟ้าสามเฟสเข้าไปจะทำให้เกิด สนามแม่เหล็กหมุนขึ้น



ภาพที่ 1.15 ชุดคลัวคและรูปคลื่นแรงดันไฟฟ้าที่สเตเตอร์

ในการต่อชุดคลัวคสเตเตอร์ของมอเตอร์สามเฟสเข้ากับแหล่งจ่ายไฟฟ้ากระแสสลับ สามารถทำได้ 2 วิธี คือการต่อแบบ Y หรือ Star กับการต่อแบบ Δ หรือ Delta ดังรูป



ภาพที่ 1.16 ลักษณะการต่อชุดคลัวคสเตเตอร์

การต่อขดลวดทั้งสองวิธี จะเห็นได้ว่าไม่ว่าเป็นวิธีใดก็ตาม จะเหลือสายไฟเพียงสามเส้นเท่านั้นสำหรับการต่อ กับแหล่งจ่ายไฟ และความสัมพันธ์ระหว่างแรงดันและกระแสไฟของ การต่อในแต่ละแบบสามารถแสดงได้ดังสมการต่อไปนี้

$$\text{การต่อแบบ } Y : \quad V_L = \sqrt{3} \cdot V_p \quad (1)$$

$$I_L = I_p \quad (2)$$

$$\text{การต่อแบบ } \Delta : \quad V_L = V_p \quad (3)$$

$$I_L = \sqrt{3} I_p \quad (4)$$

เมื่อ	V_L	=	แรงดันระหว่างสายภายนอกคู่หนึ่ง
	I_L	=	กระแสระหว่างสายภายนอกคู่หนึ่ง
	V_p	=	แรงดันระหว่างสายกับจุดร่วมของการต่อขดลวด
	I_p	=	กระแสระหว่างสายกับจุดร่วมของการต่อขดลวด

4.1 วงจรไฟฟ้าสำหรับมอเตอร์

ระบบควบคุมไฟฟ้าของมอเตอร์ที่มีความสมบูรณ์ เป็นสิ่งที่จำเป็นและต้องการอย่างมาก โดยตัวนประกอบที่สำคัญสามารถแสดงได้ดังภาพที่ 1.17

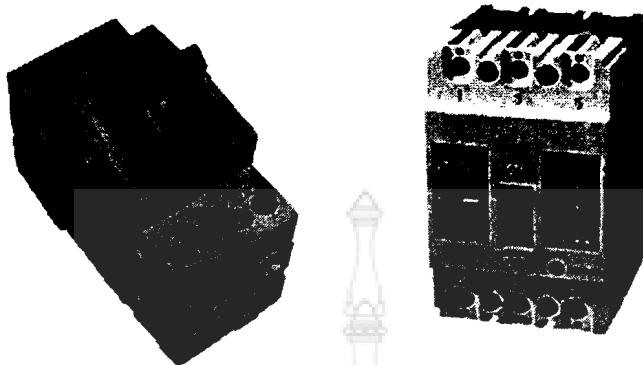
4.1.1 สายไฟสำหรับจ่ายกระแสไฟฟ้าเข้ามอเตอร์

สายไฟที่ใช้สำหรับต่อเข้ากับมอเตอร์นั้น จะต้องมีขนาดทนกระแสไฟฟ้าไม่น้อยกว่า 125% หรือ 1.25 เท่าของพิกัดกระแสไฟลอดเดิมที่ของมอเตอร์ แต่ทั้งนี้ต้องมีขนาดไม่เล็กกว่า 2.5 มม. พิกัดกระแสแม่ค่า (Rated Motor Current) หมายถึง ปริมาณกระแสของมอเตอร์ในขณะทำงานที่พิกัดไฟลอด แรงดันและความถี่ตามกำหนด ซึ่งค่าที่ได้มีความสามารถนำไปใช้ในการพาหนะของคัวน้ำหรือสายไฟ สวิตช์ อุปกรณ์ป้องกันการลัดวงจร พิกัดกระแสของมอเตอร์นี้สามารถคำนวณหาค่าได้ด้วยสมการ หรือสังเกตบนแผ่นป้ายที่ตัวมอเตอร์



4.1.2 อุปกรณ์ปลดวงจร

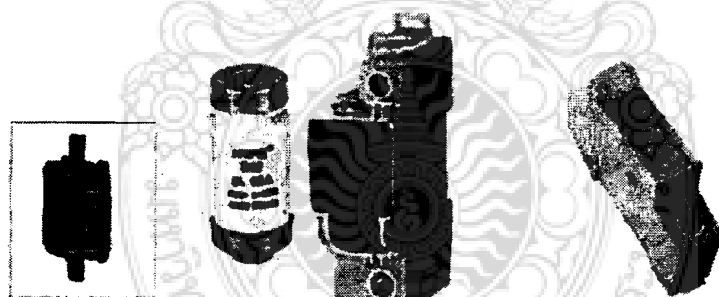
เป็นอุปกรณ์ที่ใช้สำหรับตัดต่อไฟจากแหล่งจ่ายภายนอก กับส่วนที่จะส่งไปยังมอเตอร์ ซึ่งโดยมากจะใช้เซอร์กิตเบรกเกอร์ (Circuit Breaker) นอกจากนี้เซอร์กิตเบรกเกอร์ยังถือว่าเป็นอุปกรณ์ป้องกันทางไฟฟ้าอีกชนิดหนึ่ง ที่คอยตัดวงจรไฟฟ้าเมื่อเกิดการใช้กระแสไฟมากกว่าปกติ ซึ่งในกรณีที่นำมาใช้ในวงจรควบคุมมอเตอร์จะมีค่าไม่เกิน 115% หรือ 1.15 เท่า ของพิกัดกระแสโหลดเดิมที่ของมอเตอร์



ภาพที่ 1.18 แสดงลักษณะของเซอร์กิตเบรกเกอร์

4.1.3 อุปกรณ์ที่ใช้ป้องกันการลัดวงจร

พิวส์ที่ใช้ในวงจรควบคุมและวงจรกำลัง จะเป็นพิวส์แรงดันต่ำที่เรียกว่า ปลั๊กพิวส์ ซึ่งมีขนาดและรูปร่างหลายแบบ พิวส์คงกลาวเป็นแบบ HRC พิวส์ (High Rupture Capacity Fuse) ซึ่งมีคุณสมบัติพิเศษ คือ สามารถตัดกระแสลัดวงจรจำนวนมากๆ ได้อย่างปลอดภัย

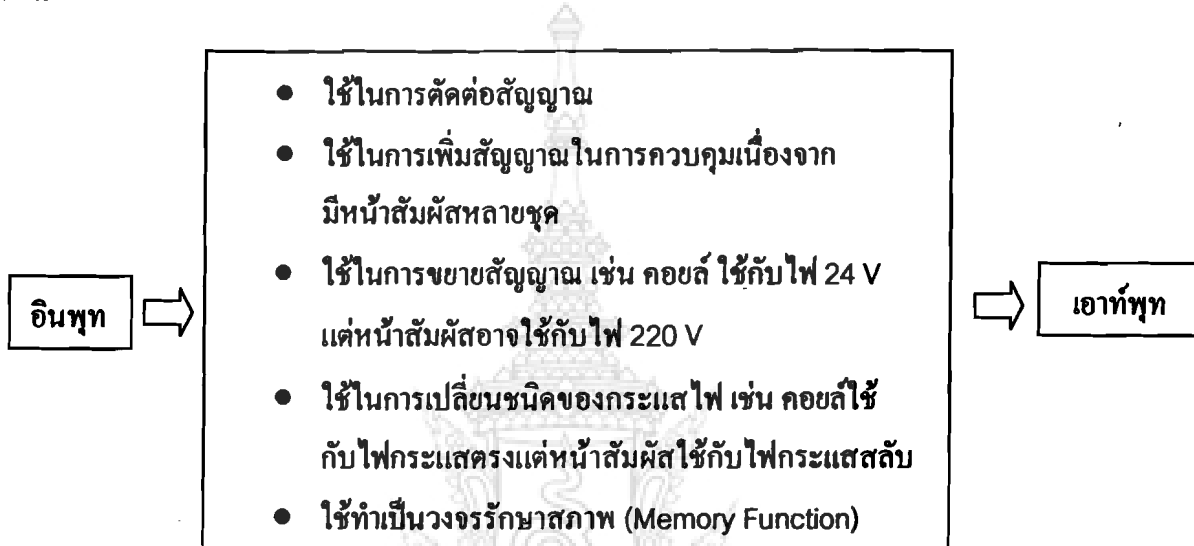


ภาพที่ 1.19 แสดงลักษณะของพิวส์

ขนาดของพิวส์จะต้องมีคุณสมบัติทนกระแสในช่วงสตาร์ทໄด์ โดยมีค่าอัตรากระแสสูงเป็น 3 เท่าของกระแสอเตรอร์ ขณะรับโหลดเดิมที่เมื่อมอเตรอร์นั้นเป็นมอเตรอร์กระแสลับไฟฟ้าเดียว หรือ สามไฟฟ้าที่มีโรเตอร์แบบกรุงกระอก หรือเป็นชิ้นโครนัสนมอเตรอร์ และมีค่าอัตรากระแสสูง เป็น 1.5 เท่าของกระแสอเตรอร์ขณะรับโหลดเดิมที่เมื่อมอเตรอร์ที่มีโรเตอร์แบบขดลวดหรือมอเตรอร์กระแสตรง ปัจจุบันพิวส์แบบนี้ไม่ค่อยนิยมมาใช้ในวงจรกำลังมากนัก โดยเซอร์กิตเบรกเกอร์จะเข้ามาแทนที่เนื่องจากกรณีที่มีกิจกรรมลัดวงจรใส่พิวส์ของปลั๊กพิวส์จะขาดต้องเปลี่ยนใหม่ แต่ในวงจรควบคุมที่กระแสไม่นานักก็ยังคงนิยมใช้กันอยู่

4.1.4 อุปกรณ์ที่ใช้ในการควบคุม

พื้นฐานของการควบคุมมอเตอร์แบบเปิด – ปิด (On – Off) นั้น โดยทั่วไปจะนำร่องรีเลย์ และคอนแทกเตอร์มาใช้ในการควบคุมและสั่งงาน ซึ่งหน้าที่ที่สำคัญ ๆ ของสรุปได้ดังนี้



ภาพที่ 1.20 แสดงหน้าที่ของรีเลย์และคอนแทกเตอร์ควบคุม

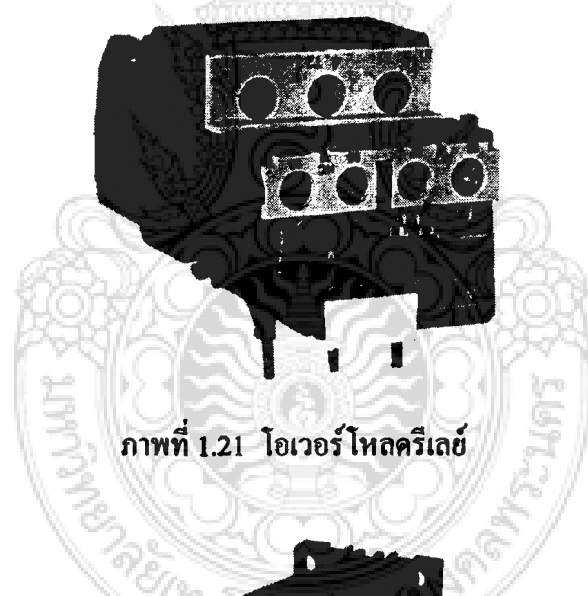
ข้อดีของการใช้รีเลย์และคอนแทกเตอร์ เมื่อเปรียบเทียบกับการใช้สวิตช์กำลังแบบอื่น พอจะจำแนกออกเป็นหัวข้อได้ดังนี้

- ให้ความปลอดภัยสำหรับผู้ควบคุม เนื่องจากการตัดต่อของวงจรกำลังที่จ่ายไฟ ให้กับมอเตอร์มีกระแสแค่ตอนข้างสูง แต่ในที่นี้สามารถใช้กระแสหรือแรงดันต่ำ ๆ ไป ควบคุมคอมล์ของคอนแทกเตอร์ ทำให้เกิดการตัดต่อในวงจรกำลังแทนการสับสวิตช์ ด้วยมือโดยตรง นอกจากนี้ยังสามารถขับขุ่นควบคุมไปอยู่ในที่ที่ปลอดภัยและห่างจาก วงจรกำลังได้
- ให้ความสะดวกรวมทั้งสามารถเพิ่มเติมเงื่อนไข ในการควบคุมได้มากขึ้น เพราะ สามารถต่อร่วมกับอุปกรณ์อื่น ๆ ได้ เช่น สวิตช์ปุ่มกดแบบต่าง ๆ สวิตช์ความดัน สวิตช์ลูกกลอย ลิมิตสวิตช์ ฯลฯ
- ประหยัด เมื่อเปรียบเทียบกับการควบคุมด้วยมือ ในกรณีที่มอเตอร์อยู่ห่างจาก แหล่งจ่ายไฟและขุ่นควบคุม เนื่องจากสายไฟที่จ่ายไฟให้กับมอเตอร์มีขนาดใหญ่ และ ราคาสูงกว่าสายไฟที่ใช้ในวงจรควบคุม

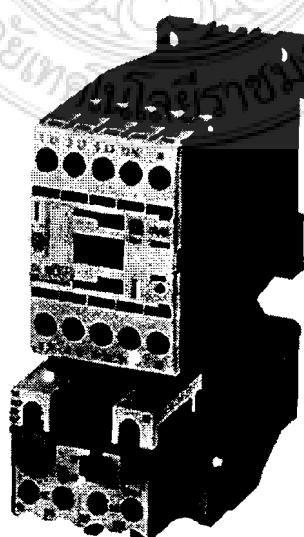
4.1.5 อุปกรณ์ป้องกันการใช้งานเกินกำลังของมอเตอร์

กรณีที่ต้องสาบไฟจากคอนแทคเตอร์เข้าสู่มอเตอร์โดยตรง หากมอเตอร์มีการทำงานเกินกำลังหรือมอเตอร์ใช้กระแสไฟมากกว่าปกติ อาจทำให้มอเตอร์ไหม้ได้ จึงมีการนำเอาໄอิเวอร์ไอลครีเลย์มาต่อไว้ก่อนเข้าไฟเข้ามอเตอร์ โดยทั่วๆ ไปแล้ว ໄอิเวอร์ไอลครีเลย์นิยมทำเป็นแบบ ไบเมทอล (Thermal Overload Relay) ซึ่งใช้กระแสไฟหล่อผ่านเป็นตัวควบคุมอิเล็กทรอนิกส์ ในการตัดวงจรอาศัยการงอตัวของไบเมทอลขณะร้อนเนื่องจากกระแสไฟ流มาก และจะกลับมาต่อวงจรอีกครั้งเมื่อไบเมทอลเย็นตัวลง

ໄอิเวอร์ไอลครีเลย์มีอยู่ 2 แบบ ก็คือ เมื่องอตัวแล้วจะกลับมาอุ่นในตำแหน่งเดิมเมื่อยืนตัวลง กับแบบมีรีเซ็ทคือ เมื่อตัวคงร้อนแล้ว คอนแทคเตอร์จะถูกดึงออกหากเราไม่กดตัวด้านบน การให้ทำงานอีกครั้งทำได้โดยกดปุ่มรีเซ็ทให้คอนแทคกลับมาต่อวงจรเหมือนเดิม



ภาพที่ 1.21 ໄอิเวอร์ไอลครีเลย์



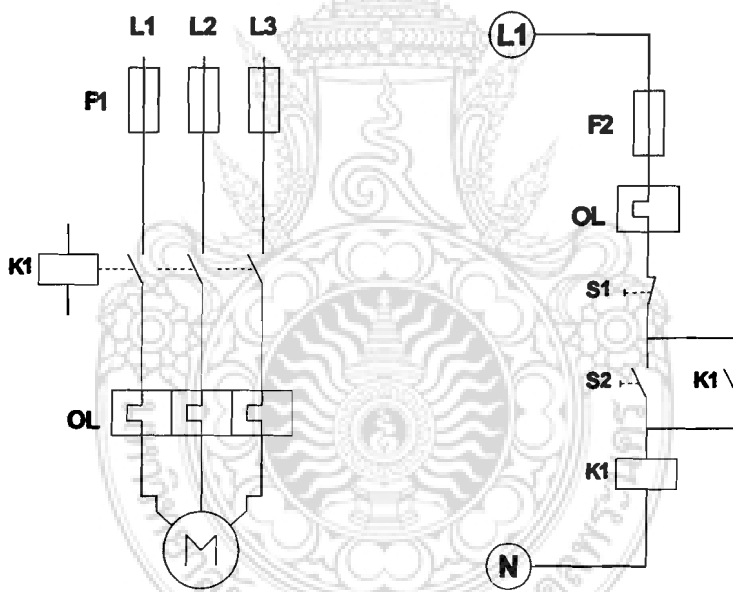
ภาพที่ 1.22 การต่อ ໄอิเวอร์ไอลครีเลย์ร่วมกับคอนแทคเตอร์

4.2 การควบคุมมอเตอร์

การควบคุมมอเตอร์นั้นมีหลายวิธีด้วยกันทั้งนี้จะเลือกใช้แบบใดขึ้นอยู่กับความต้องการของลักษณะงาน และความเหมาะสม ในที่นี้จะขอกล่าวถึงการควบคุมมอเตอร์เพียง 3 แบบเท่านั้น คือ การ starters ทุ่น มอเตอร์โดยตรง, การกลับทิศทางการหมุนของมอเตอร์ 3 เฟส และ การ starters ทุ่น มอเตอร์แบบ starters – เคลต้า ($Y - \Delta$)

4.2.1 การ starters ทุ่น มอเตอร์โดยตรง

การควบคุมด้วยวิธีนี้จะใช้กับมอเตอร์ขนาดเล็กตั้งแต่ 0.5 HP ขึ้นไปแต่ไม่ควรเกิน 5 HP เมื่อจะก้มอเตอร์ที่มีขนาดใหญ่หรือมีแรงน้ำหนักจะใช้กระแสสูง จึงต้อง starters ทุ่ยวิธีอื่นแทน

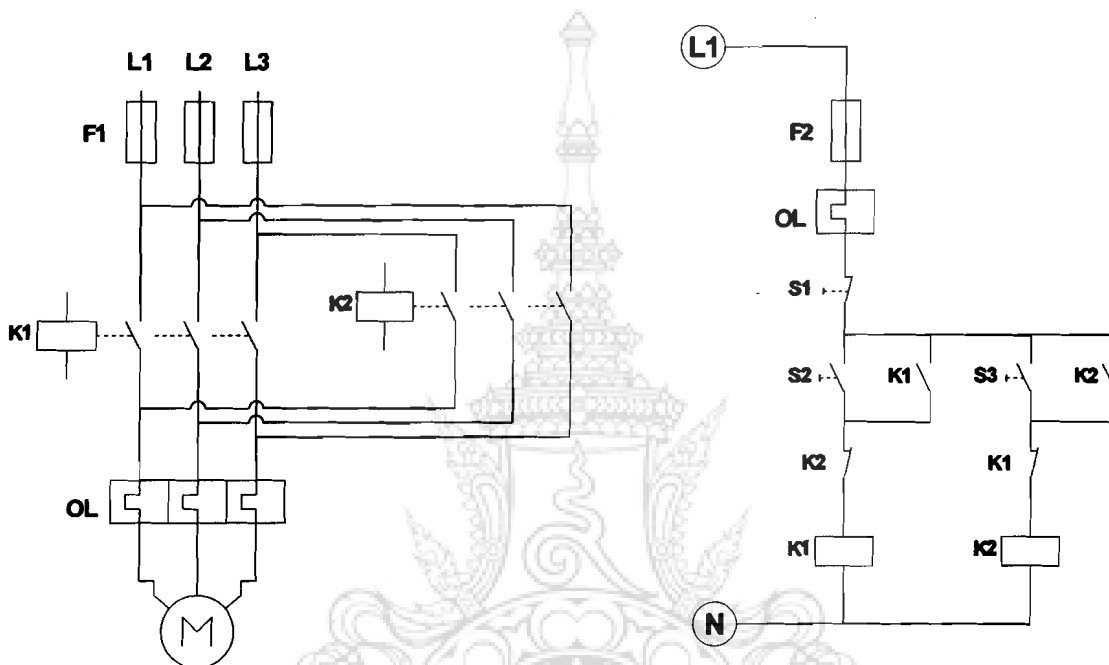


ภาพที่ 1.23 วงจร starters ทุ่น มอเตอร์โดยตรง

จากภาพที่ 1.23 K1 ในวงจรกำลังและวงจรควบคุม คือคอนแทคเตอร์ตัวเดียวกัน ดังนั้นหากกด S2 กระแสไฟจาก L1 จะไหลผ่านพิวส์ F2 โอลเวอร์โอลด์ (OL) สวิตช์หยุด S1 ผ่านคอนแทคเตอร์ K1 ครบวงจรที่นิวตรอน (N) คอนแทคเตอร์ K1 ทำงาน เมื่อคอนแทคเตอร์ K1 ทำงานจะทำให้หน้าสัมผัสทั้งหมดที่เป็นของ K1 เปลี่ยนตำแหน่งจากปิดเป็นเปิด และเปิดเป็นปิด ในวงจรกำลังหน้าสัมผัสจะต่อไฟผ่านโอลเวอร์โอลด์เข้าไปยังมอเตอร์ทำให้มอเตอร์เริ่มทำงาน ส่วนในวงจรควบคุมหน้าสัมผัสของ K1 ในแคร์ที่ 2 จะต่อวงจร ดังนั้นหากปล่อยมือจากสวิตช์ S2 คอนแทคเตอร์ K1 ก็ยังคงทำงานอยู่ นอกจากจะกดสวิตช์ S1 เพื่อตัดกระแสไฟ

4.2.2 การกลับทิศทางการหมุนของมอเตอร์ 3 เฟส

มอเตอร์ 3 เฟสสามารถที่จะกลับทิศทางการหมุนได้โดยสลับสายเมนคู่ได้ ถ้าหนึ่งที่ต่อเข้ากับมอเตอร์ส่วนอีกเส้นหนึ่งต่อไว้กังเดิน

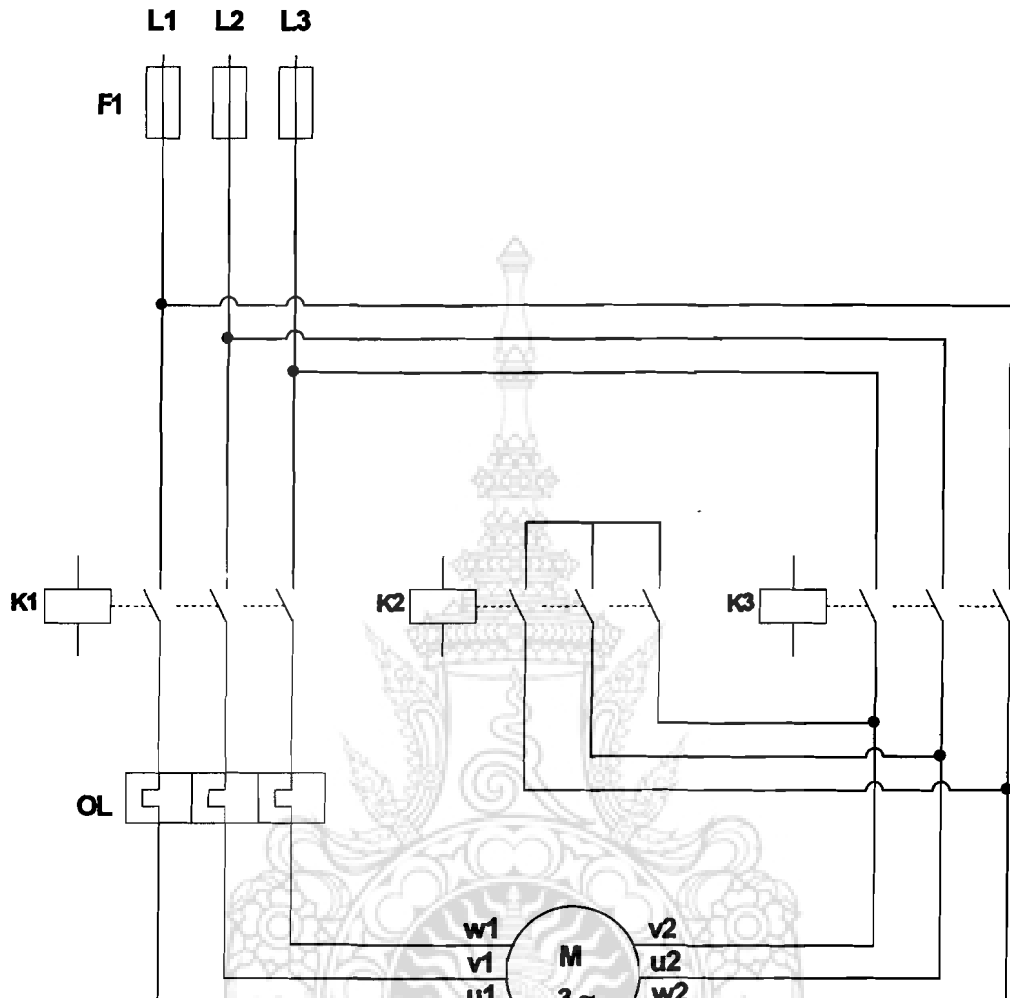


ภาพที่ 1.24 วงจรกลับทิศทางการหมุนของมอเตอร์ 3 เฟส

กำหนดให้ K1 ต่อให้มอเตอร์หมุนตามเข็มนาฬิกา และ K2 ต่อให้มอเตอร์หมุนทวนเข็มนาฬิกา ในวงจรกำลัง ถ้าคอนแทคเตอร์ตัวใดตัวหนึ่งทำงานอยู่ อีกตัวหนึ่งจะต้องไม่ทำงาน เพราะถ้าคอนแทคเตอร์ทั้งสองตัวทำงานพร้อมกันแล้ว จะเกิดการลัดวงจรระหว่างสายขึ้น วิธีป้องกัน ได้ให้ K1 และ K2 ทำงานพร้อมกัน ทำได้โดยการต่อคอนแทคปกติปิดของแต่ละตัวสลับกัน ซึ่งเรียกว่า Interlocked Contact

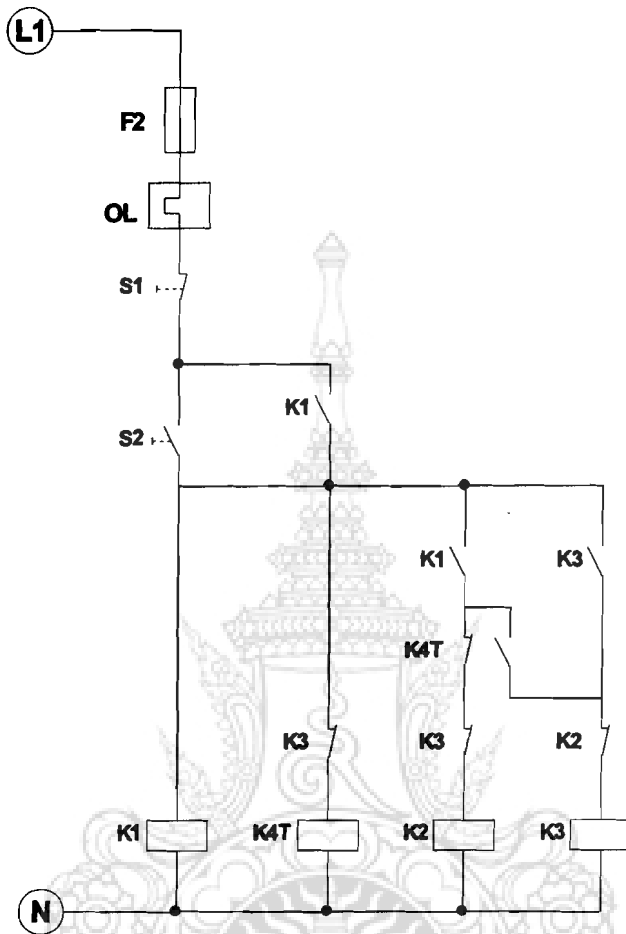
4.2.3 การ starters/motors แบบ starters – delta (Y-Δ)

เป็นวิธีการหนึ่งในการช่วยลดกระแสต่อบนเริ่ม starters เนื่องจากมอเตอร์ขณะเริ่มต้นหมุนจะต้องใช้กระแสไฟฟ้า 5-10 เท่าของกระแสขั้บโหลดเดิมที่ การ starters ด้วยวิธีนี้ นิยมใช้กับมอเตอร์ตั้งแต่ 5HP ขึ้นไป แต่ยังไงก็ตามการต่อขดลวดแบบ Y จะมีแรงบิดเริ่มต้นหมุนต่ำกว่าแรงบิดที่พัด 1/3 เท่า ทั้งนี้เพราะแรงบิดเริ่มต้นหมุนจะเป็นสัดส่วนโดยตรงกับกระแส



ภาพที่ 1.25 วงจรกำลังของการสตาร์ทมอเตอร์แบบ Y-Δ

การสตาร์ทมอเตอร์จะต้องเริ่มต้นหมุนโดยคลัวค์ที่สเตเตอร์จะต่อแบบ Y เมื่อความเร็วของมอเตอร์เป็น 75% ของความเร็วชิงไครน์สจิงเปลี่ยนมาต่อแบบ Δ และคอนแทกเตอร์ที่ทำหน้าที่ต่อขดลวดเป็นแบบ Y และ Δ นั้นจะต้องมี Interlock ซึ่งกันกระแส จากเงื่อนไขการทำงานดังกล่าวสามารถออกแบบวงจรควบคุมได้ดังนี้



ภาพที่ 1.26 วงจรควบคุมของการ starters ทมอเตอร์แบบ Y-Δ

5. การคำนวณค่าพลังงานไฟฟ้า

ค่าพลังงานไฟฟ้า คือ ขนาดกำลังไฟฟ้าของอุปกรณ์ไฟฟ้าคูณกับเวลาทำงานของอุปกรณ์ไฟฟ้านั้นในหน่วยชั่วโมง เรียกว่า ยูนิต (Unit) หรือ kWh (1 unit = 1 kWh) ซึ่ง 1 ยูนิตมีค่าเท่ากับ อุปกรณ์ไฟฟ้าขนาด 1 kW ทำงานเป็นเวลาต่อเนื่องนาน 1 ชั่วโมง การคำนวณหาจำนวนหน่วยไฟฟ้านี้สามารถเขียนเป็นสมการได้ คือ

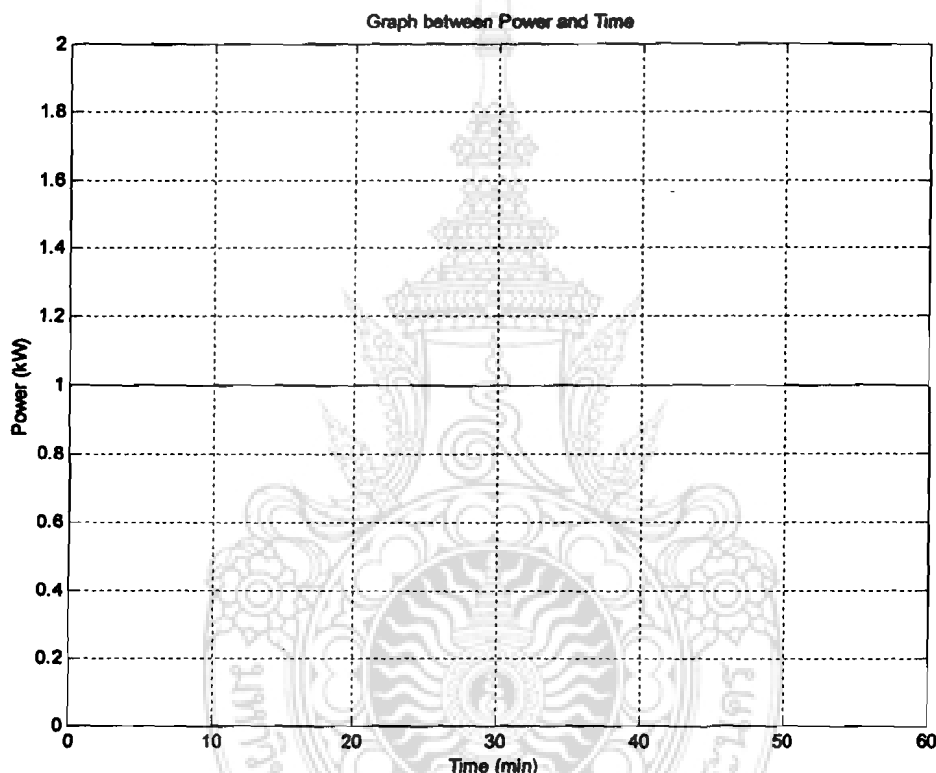
$$E = P \times t \quad (5)$$

โดยที่ E คือ พลังงานไฟฟ้า หน่วยเป็น ยูนิตหรือ kWh

P คือ กำลังไฟฟ้า หน่วยเป็น กิโลวัตต์ (kW)

t คือ เวลา หน่วยเป็นชั่วโมง (hr)

อุปกรณ์ที่ใช้สำหรับวัดค่าพลังงานไฟฟ้าทั่วๆ ไป มักใช้อุปกรณ์ที่เรียกว่า วัตต์ชั่วโมงมิเตอร์ (Watt-hour Meter) ซึ่งเป็นมิเตอร์ที่ทำการไฟฟ้าใช้สำหรับวัดปริมาณการใช้พลังงานไฟฟ้าจากผู้บริโภค สำหรับงานวิจัยนี้จะใช้อุปกรณ์วัดกำลังไฟฟ้าแล้วนำมารวบรวมหาพลังงานไฟฟ้าโดยใช้ระเบียบวิธีเชิงตัวเลข (Numerical Method) ซึ่งมีรายละเอียดดังนี้



ภาพที่ 1.27 กราฟแสดงกำลังไฟฟ้ากับเวลา

จากสมการที่ 5 เมื่อเทียบกับกราฟในภาพที่ 1.27 แล้วจะเห็นว่า ค่าพลังงานไฟฟ้าที่ได้จากการนี้คือการหาพื้นที่ใต้เส้นกราฟนั่นเอง ซึ่งสามารถพิสูจน์ได้ดังนี้

จากสมการ

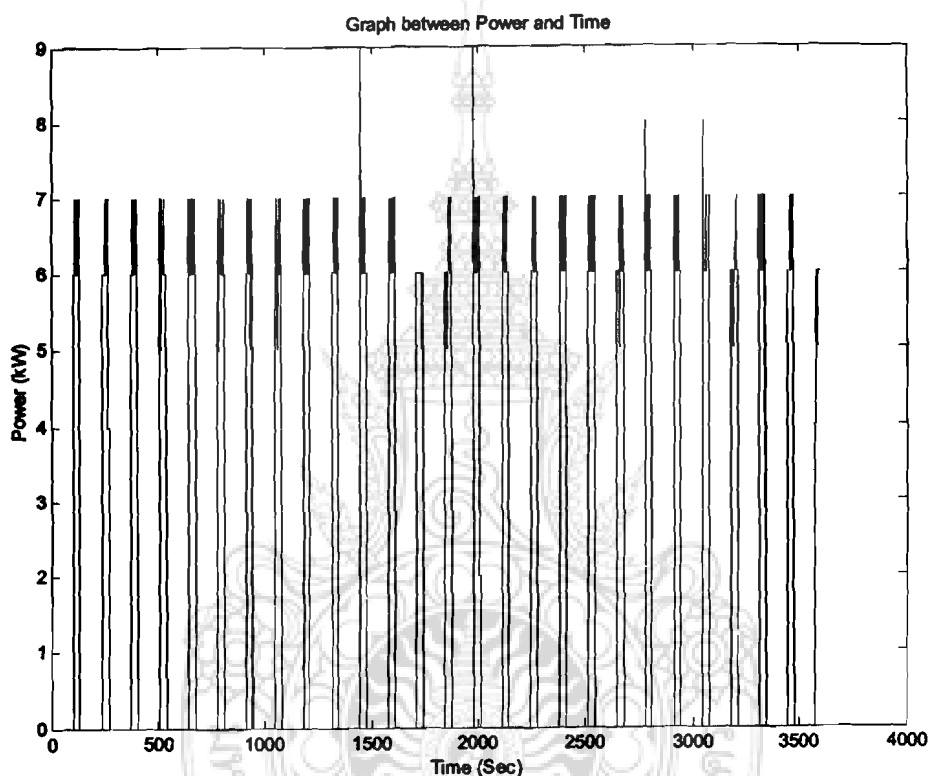
$$\text{พลังงานไฟฟ้า} \quad E = P \times t$$

และสมการ

$$\text{พื้นที่สี่เหลี่ยม} \quad \text{พื้นที่} = \text{สูง} \times \text{กว้าง} \quad (6)$$

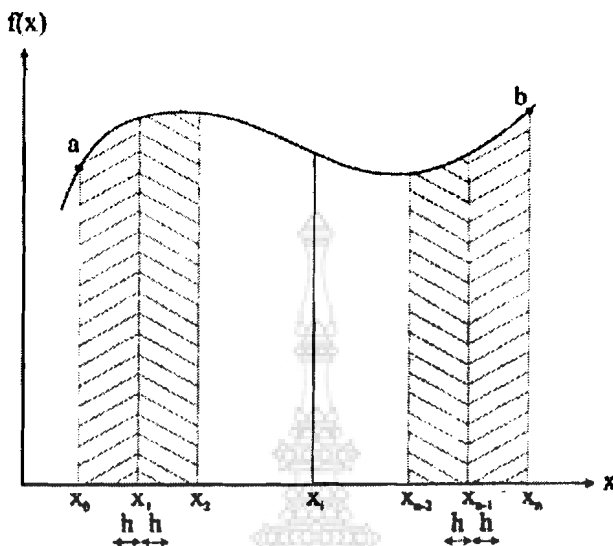
จากสมการที่ 5 และ 6 จะเห็นว่า P คือความสูงของสี่เหลี่ยมหรือเส้นกราฟ และ t คือความกว้างของสี่เหลี่ยมหรือเส้นกราฟในภาพที่ 1.27 นั่นเอง

ดังนั้นในงานวิจัยนี้จึงเลือกใช้วิธีหาค่าพลังงานไฟฟ้าด้วยการหาพื้นที่ใต้เส้นกราฟของกำลังไฟฟ้า เพราะว่าอุปกรณ์ไฟฟ้าส่วนใหญ่โดยเฉลี่ยมอเตอร์ไฟฟ้านั้นกินกำลังไฟฟ้าไม่คงที่ดังภาพที่ 1.28 และเหตุผลอีกประการคืองานวิจัยนี้ใช้อุปกรณ์วัดกำลังไฟฟ้าเป็นเครื่องมือสำหรับหาค่าพลังงานไฟฟ้า



ภาพที่ 1.28 แสดงกราฟการใช้กำลังไฟฟ้าของมอเตอร์ทำงานแบบ สตาร์ท-สต็อป

จากกราฟภาพที่ 1.28 จะเห็นว่ากำลังไฟฟ้าของมอเตอร์ไม่คงที่คือมีการเปลี่ยนแปลงตลอดเวลา การหาพื้นที่ได้กราฟด้วยวิธีพิซคิทท์วไปไม่สามารถทำได้หรือทำได้ยาก จึงจำเป็นต้องใช้การอินทิเกรตเชิงตัวเลขแทน ซึ่งการอินทิเกรตเชิงตัวเลขมีหลายวิธีด้วยกัน สำหรับงานวิจัยนี้เลือกใช้กฎสี่เหลี่ยมคงที่ (Trapezoidal rule) อ่าย่างไรก็ตามการอินทิเกรตเชิงตัวเลขนี้เป็นเพียงการประมาณค่าเท่านั้น ค่าที่ได้จะไม่ใช่ค่าเที่ยงตรงคือมีความผิดพลาด ทั้งนี้ความผิดพลาดที่เกิดขึ้นจะมากหรือน้อยขึ้นอยู่กับการแบ่งช่วงของการอินทิเกรต (รศ.ดร. มนัส สังวรศิลป์ และคณะ, 2543)



ภาพที่ 1.29 การประมาณค่าอินทิเกรตโดยใช้กฎสี่เหลี่ยมคงทู

จากภาพที่ 1.29 สามารถประมาณค่าอินทิเกรตด้วยพื้นที่สี่เหลี่ยมคงทูโดยการหาค่าผลรวมของพื้นที่สี่เหลี่ยมป้อมได้โดยประมาณจากช่วง a ถึง b ได้ดังนี้

$$Q = \frac{h}{2}(f(x_0) + f(x_1)) + \frac{h}{2}(f(x_1) + f(x_2)) + \dots + \frac{h}{2}(f(x_{n-1}) + f(x_n))$$

$$Q = \frac{h}{2}(f(x_0) + 2f(x_1) + 2f(x_2) + \dots + 2(f(x_{n-1}) + f(x_n))) \quad (7)$$

$$Q = \frac{h}{2}(f(x_0) + f(x_n)) + 2 \sum_{k=1}^{n-1} f(x_k) \quad (8)$$

โดยที่

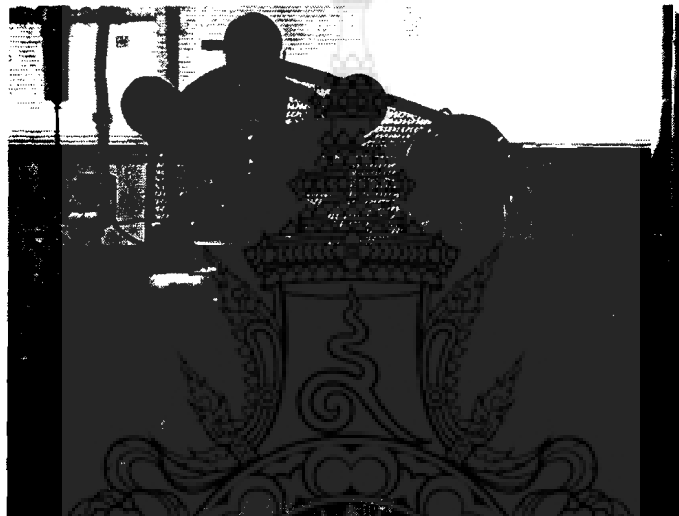
$$h = \frac{b-a}{n}$$

หมายเหตุ การแบ่งช่วงจาก a ถึง b ออกเป็นจำนวนช่วงที่มีความละเอียดมาก (n มาก) ทำให้ผลลัพธ์ที่ได้มีความเที่ยงตรงและเข้าสู่ค่าอินทิเกรตที่แท้จริงได้

อุปกรณ์และวิธีการ

อุปกรณ์

1. เครื่องอัดอากาศพร้อมมอเตอร์ 3 เฟส จำนวน 3 เครื่อง



ภาพที่ 2.1 เครื่องอัดอากาศที่ใช้ในการทดลอง

เครื่องอัดอากาศตัวที่ 1 เป็นเครื่องอัดอากาศแบบถูกสูบ ใช้มอเตอร์ขนาด 7.5 kW
ผลิตลมอัดได้ 1151 LPM

เครื่องอัดอากาศตัวที่ 2 เป็นเครื่องอัดอากาศแบบถูกสูบ ใช้มอเตอร์ขนาด 4 kW
ผลิตลมอัดได้ 402 LPM

เครื่องอัดอากาศตัวที่ 3 เป็นเครื่องอัดอากาศแบบถูกสูบ ใช้มอเตอร์ขนาด 2.2 kW
ผลิตลมอัดได้ 246 LPM

2. ถังเก็บลมจำนวน 4 ใบ

ถังลมใบที่ 1 ขนาดความจุ 300 ลิตร ความดันใช้งาน 9 kg/cm^2

ถังลมใบที่ 2 ขนาดความจุ 360 ลิตร ความดันใช้งาน 9 kg/cm^2

ถังลมใบที่ 3 ขนาดความจุ 600 ลิตร ความดันใช้งาน 9 kg/cm^2

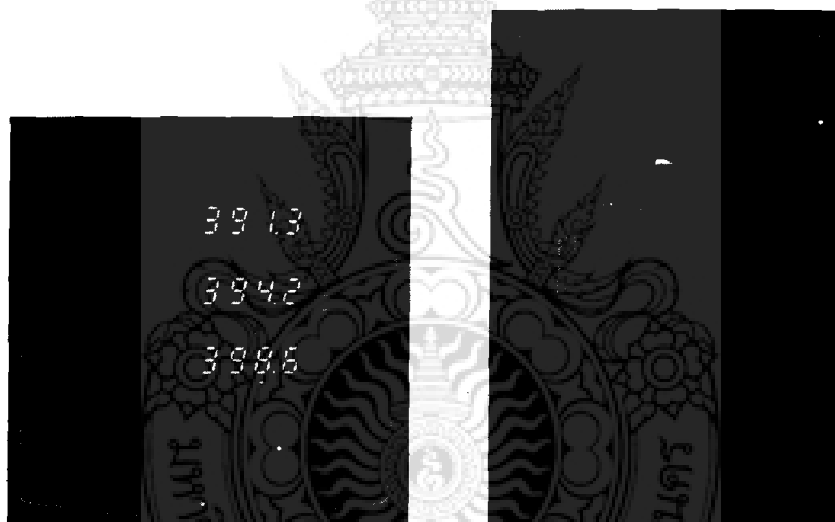
ถังลมใบที่ 4 ขนาดความจุ 660 ลิตร ความดันใช้งาน 9 kg/cm^2

3. อุปกรณ์วัดอัตราการไหลของลม (Flow meter) สำหรับวัดปริมาณการใช้ลม จำนวน 2 ตัว ซึ่งแต่ละตัวสามารถวัดอัตราการไหลได้ตั้งแต่ 0 ถึง 10 ลิตรต่อวินาที



ภาพที่ 2.2 แสดงลักษณะของอุปกรณ์วัดอัตราการไฟฟ้าของลม

4. อุปกรณ์วัดกำลังไฟฟ้า (Power Meter) สามารถตรวจวัดค่าต่าง ๆ ทางไฟฟ้า เช่น แรงดันไฟฟ้า, กระแสไฟฟ้า, เพาเวอร์แฟกเตอร์, กำลังไฟฟ้า และความถี่ไฟฟ้าเป็นต้น (รายละเอียด ดูในภาคผนวก ก.1)

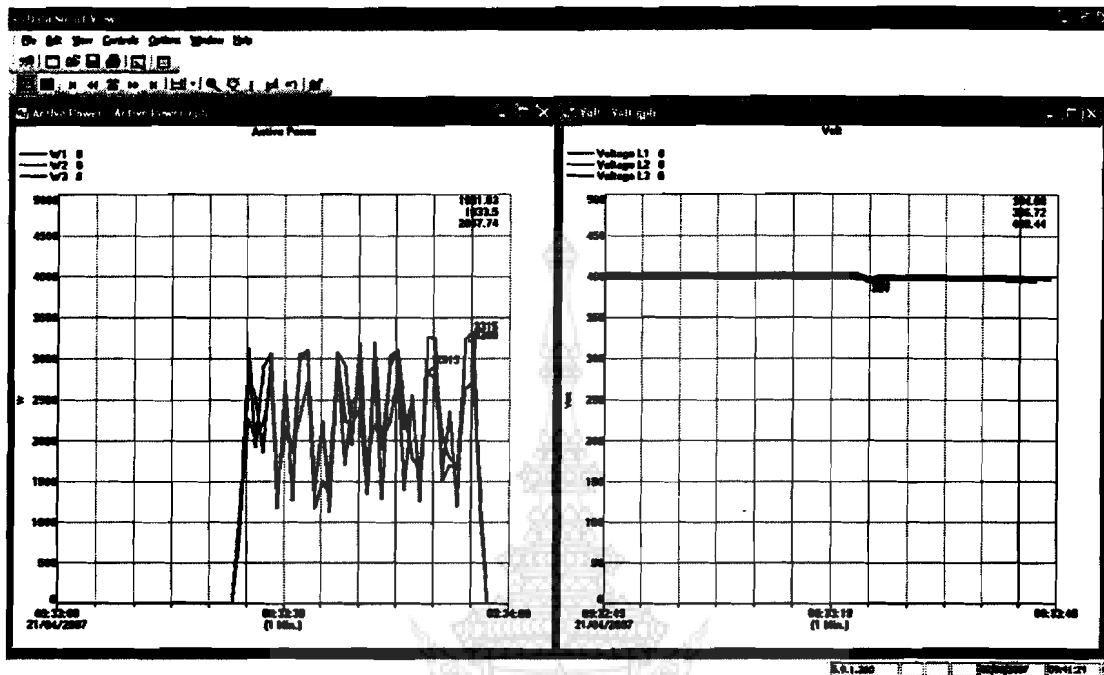


ก. Power meter

ข. ด้านหลัง Power meter

ภาพที่ 2.3 แสดงลักษณะของอุปกรณ์ตรวจวัดกำลังไฟฟ้า

5. ชอร์ฟแวร์ Data Smart View เป็นชอร์ฟแวร์สำหรับบันทึกค่าต่าง ๆ ทางไฟฟ้าดังข้อ 4 และรวมถึงจำนวนหน่วยไฟฟ้าอีกด้วย (kWh) ทำงานบนระบบปฏิบัติการวินโดว์ XP



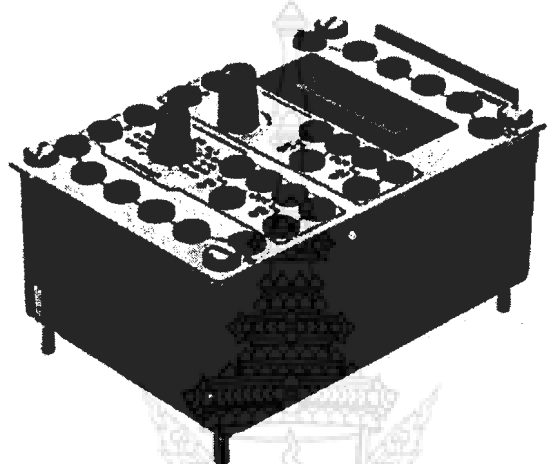
ภาพที่ 2.4 แสดงหน้าต่างของโปรแกรม Data Smart View

6. เข็มเชอร์วัดความดัน เป็นเข็มเชอร์สำหรับวัดความดันลมอัคในถังพักระบับ กำหนดค่าความดันลมอัคในการตัด-ต่อ เครื่องอัคตอักษร สามารถวัดความดันลมอัคได้ตั้งแต่ 0-10 บาร์ โดยความดันที่วัดได้จะถูกแปลงเป็นสัญญาณแรงดันไฟฟ้า 0-10 โวลต์ ซึ่งรายละเอียดทางเทคนิคของเข็มเชอร์นี้ดูได้จากภาคผนวกที่ ก.2



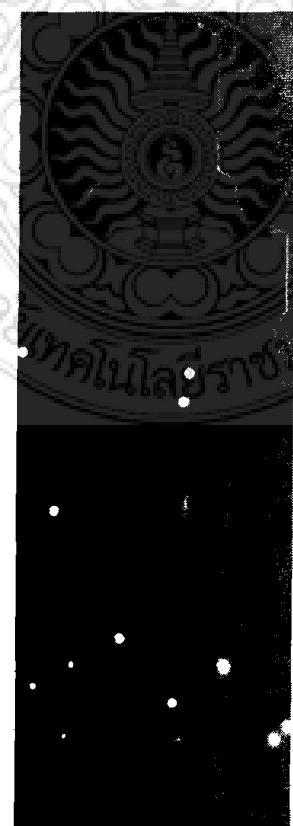
ภาพที่ 2.5 แสดงลักษณะของเข็มเชอร์วัดความดันลมอัค

7. อุปกรณ์เปรียบเทียบแรงคันไฟฟ้า (Comparator) เป็นรีเล耶ชนิดหนึ่งทำงานตามขนาดของแรงคันไฟฟ้า ทำหน้าที่รับแรงคันไฟฟ้าจากเซนเซอร์วัดความดันลมอัตโนมัติ ตามข้อ 6 แล้วนำมาเปรียบเทียบกับค่าที่ตั้งไว้ เมื่อรีเลย์ทำงานจะส่งสัญญาณไปควบคุม กอนແກกเตอร์สตาร์ทมอเตอร์ต่อไป



ภาพที่ 2.6 แสดงถักยณะอุปกรณ์เปรียบเทียบแรงคันไฟฟ้า

8. ชุดปรับปรุงคุณภาพลมอัตโนมัติ (Service unit) ใช้สำหรับตั้งค่าความดันใช้งานของลมอัตโนมัติโดยปรับตั้งไว้ที่ 6 บาร์

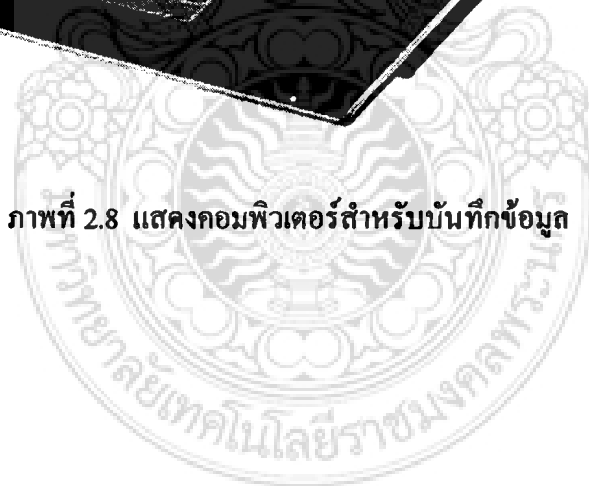


ภาพที่ 2.7 แสดงถักยณะชุดปรับปรุงคุณภาพลมอัตโนมัติ

9. คอมพิวเตอร์สำหรับบันทึกข้อมูล

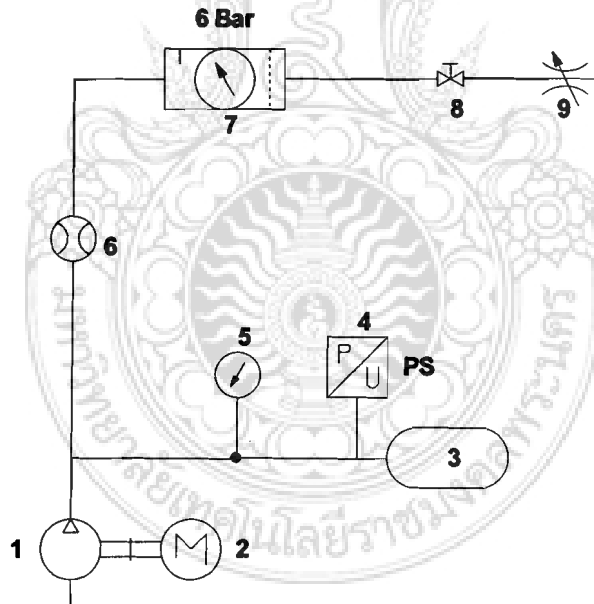


ภาพที่ 2.8 แสดงคอมพิวเตอร์สำหรับบันทึกข้อมูล



วิธีการ

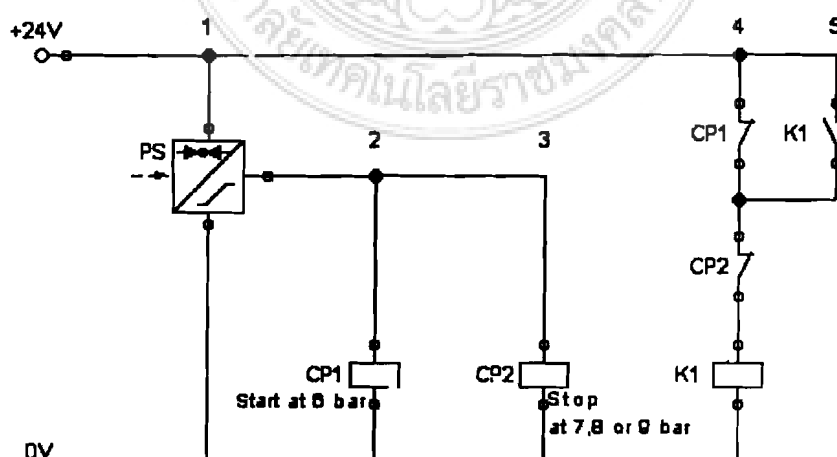
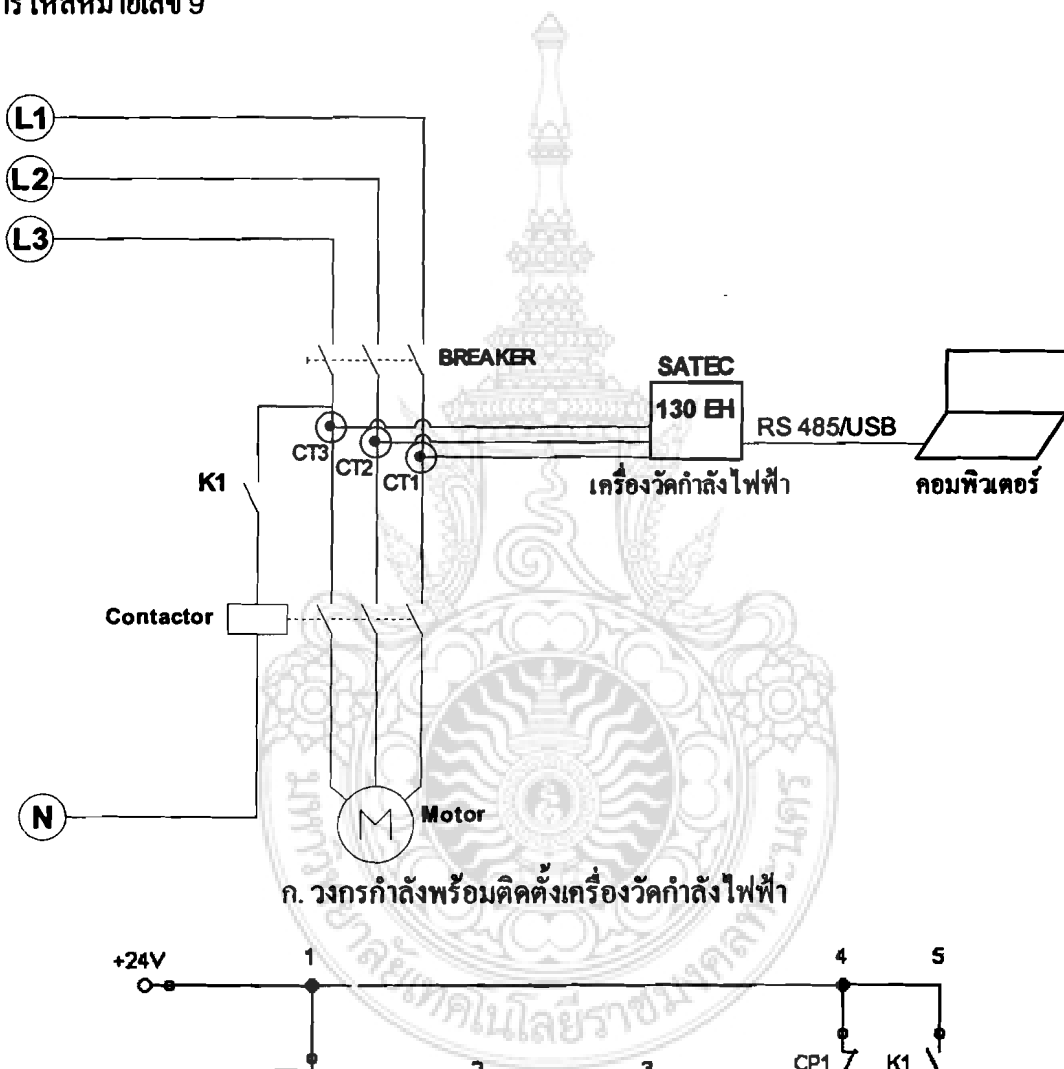
งานวิจัยนี้ทำการศึกษาและทดลองจาก เครื่องอัดอากาศจำนวน 3 ขนาด และถังเก็บลม 4 ขนาด โดยเครื่องอัดอากาศแต่ละขนาดจะใช้ถังเก็บลมทั้ง 4 ขนาด รวมแล้วจะได้การทดลองทั้งหมด 12 กรณี เครื่องอัดอากาศที่ใช้จะถูกควบคุมการทำงานแบบ สมาร์ท-สต็อป การศึกษาริบบิ้นจากการใช้ พลังงานลมอัดเริ่มตั้งแต่ร้อยละ 20, 40, 60 และ 80 ของความสามารถในการผลิตลมอัดของเครื่อง อัดอากาศ โดยที่แต่ละเปอร์เซ็นต์ของการใช้ลมอัด จะทำการตั้งค่าความดันให้เครื่องอัดอากาศ ตัด-ต่อ การทำงานที่ความดันต่างกันเริ่มตั้งแต่ 6, 7, 8 และ 9 บาร์ ตามลำดับ แล้วทำการบันทึกค่าการใช้ พลังงานไฟฟ้าของเครื่องอัดอากาศ นำค่าที่บันทึกได้แสดงผลเป็นกราฟเชิงเส้น แล้ววิเคราะห์กราฟ ที่ได้เพื่อหาค่าของความดันที่เหมาะสมที่สุดในการควบคุมการ ตัด-ต่อ การทำงานของเครื่องอัด อากาศ เพื่อให้ประหยัดพลังงานไฟฟ้ามากที่สุด



ภาพที่ 2.9 แสดงวงจรระบบลมอัด

จากรูปวงจรระบบลมอัดอุปกรณ์หมายเลข 1 คือ เครื่องอัดอากาศ ทำหน้าที่ผลิตลมอัดไปเก็บ ในถังพักลมหมายเลข 3 ซึ่งความดันในถังพักลมนี้จะถูกแสดงค่าความดันโดยเกจวัดความดัน หมายเลข 5 อุปกรณ์หมายเลข 4 เป็นเซ็นเซอร์วัดค่าความดันแบบอนามัยอีกใช้สำหรับส่งสัญญาณไป ควบคุมการทำงานของมอเตอร์ และลมอัดจะถูกจ่ายไปสู่ระบบ โดยผ่านอุปกรณ์วัดปริมาณการใช้ลม อัดหมายเลข 6 ซึ่งเครื่องอัดอากาศนี้จะถูกขับให้ทำงานโดยมอเตอร์ไฟฟ้าหมายเลข 2 อุปกรณ์

หมายเหตุ 7 กือชุดปรับปรุงคุณภาพลมอัดจะถูกตั้งความดันใช้งานไว้ที่ 6 บาร์ เนื่องจากระบบการใช้ลมอัดส่วนใหญ่ในอุตสาหกรรมจะใช้ความดันลมอัดขนาดนี้ในการทำงาน ลมอัดจะถูกส่งเข้าสู่ระบบ การใช้งานโดยผ่านวาล์วปีก-ปีก หมายเหตุ 8 และจะถูกปรับปรุงมาจากการใช้โดย瓦ล์วความคุณอัตรา การให้ผลหมายเหตุ 9



ข. วงจรควบคุม

ภาพที่ 2.10 แสดงวงจรควบคุมเครื่องอัดอากาศและตำแหน่งการติดตั้งเครื่องวัดกำลังไฟฟ้า

การทำงานของชุดเริ่มจากเซ็นเซอร์วัดความดัน (PS) ทำการวัดความดันในถังลมแล้ว แปลงเป็นสัญญาณแรงดันไฟฟ้าส่งไปยังรีเลย์เบรย์บินเทียนแรงดัน CP1 และ CP2 โดยที่ CP1 จะถูกตั้งไว้ให้ทำงานที่แรงดัน 6 โวลต์ ($6 V = 6 \text{ bar}$) ทำหน้าที่เป็นรีเลย์สั่งการให้รีเลย์ K1 ทำงาน และ CP2 ทำหน้าที่เป็นรีเลย์หยุดการทำงานของรีเลย์ K1 โดยจะตั้งให้ทำงานที่ 7, 8 หรือ 9 โวลต์ ตามความต้องการ ส่วนรีเลย์ K1 ทำหน้าที่ควบคุมการทำงานของมอเตอร์ขับเครื่องอัดอากาศ การทำงานของรีเลย์ K1 เริ่มจาก ตอนแทกปิดปิดของ CP1 ใน霎วที่ 4 ปีค (กรณีที่ความดันลมในถังต่ำกว่า 6 บาร์) กระแสไฟฟ้าจะไหลผ่านไปยังตอนแทกปิด CP2 และผ่านขดลวดของรีเลย์ K1 ลงกราว์ ทำให้รีเลย์ K1 ทำงาน ตอนแทกเปิด K1 ใน霎วที่ 5 ปีคทำให้กระแสไฟฟ้าไหลผ่านไปเลี้ยงขดลวดรีเลย์ K1 ได้ในขณะที่ความดันลมในถังลมเกิน 6 บาร์ เพราะตอนแทก CP1 จะเปิดออก เป็นผลให้รีเลย์ K1 สามารถทำงานต่อไปได้ (วงจรนี้เรียกว่า Self Holding) เมื่อความดันลมในถังลมเพิ่มขึ้นถึงค่าที่ตั้งไว้ (7, 8 หรือ 9 บาร์) ตอนแทก CP2 จะเปิดออกทำให้กระแสไฟฟ้าที่เลี้ยงขดลวดรีเลย์ K1 ถูกตัด รีเลย์ K1 ก็จะหยุดทำงาน และเมื่อลมในถังถูกใช้งานไปเรื่อยๆ ความดันลมในถังก็จะลดลงเป็นผลให้ตอนแทก CP2 ปิดเหมือนเดิม และเมื่อความดันลมต่ำกว่า 6 บาร์ ตอนแทก CP1 ก็จะปิดอีกครั้ง กระแสไฟฟ้าก็จะไหลไปยังขดลวดรีเลย์ K1 ลงกราว์ ทำให้รีเลย์ K1 ทำงานอีกครั้ง เมื่อความดันลมในถังถึงค่าที่ทำให้ CP2 ทำงาน รีเลย์ K1 ก็จะหยุดทำงานอีก การทำงานจะเป็นแบบนี้ไปเรื่อยๆ

สำคัญของการทดลอง

- ตั้งค่าแรงดันไฟฟ้าที่ CP1 และ CP2 ให้ทำงานที่ความดันลมต่างๆ โดยเริ่มจากครั้งที่ 1 CP1 6 บาร์ และ CP2 7 บาร์ ดังตารางข้างล่างนี้

ครั้งที่	1	2	3	4	5	6
CP1	6	6	6	7	7	8
CP2	7	8	9	8	9	9

- เปิดเบรกเกอร์ (Beaker) จ่ายกระแสไฟฟ้าให้เครื่องอัดอากาศ
- ตั้งค่าความดันลมให้งานที่ ชุดปรับแรงดันลมอัดหมายเลข 7 (ภาพที่ 2.9) ไว้ที่ 6 บาร์
- เปิดวาล์วลมหมายเลข 8 (ภาพที่ 2.9)

5. ปรับอัตราการไฟลของลมไว้ที่ร้อยละ 20 ที่ว่าด้วยกฎหมายเดลง 9 โดยสูตรที่อยู่ในกฎวัดอัตราการไฟล หมายเลข 6 (ภาพที่ 2.9)
6. บันทึกข้อมูลการใช้พลังงานไฟฟ้าด้วยโปรแกรม Data Smart View เป็นเวลา 1 ชั่วโมง
7. ทำตามขั้นตอนที่ 5 และ 6 ใหม่โดยปรับอัตราการไฟลของลมไว้ที่ร้อยละ 40, 60 และ 80 ตามลำดับ
8. ทำการทดสอบตามขั้นตอนที่ 1 ใหม่ โดยตั้งค่า CP1 และ CP2 ดังตารางที่กำหนด



ผลการวิจัยและวิจารณ์

งานวิจัยนี้ได้ทำการทดลองกับเครื่องอัดอากาศจำนวน 3 เครื่องด้วยกัน แต่ละเครื่องมีการทดลองกับถังพักระยะจำนวน 4 ขนาด รวมการทดลองทั้งหมด 12 กรณี ดังตารางที่ 1

เครื่องอัดอากาศ	ขนาดถังพักระยะ (ลิตร)			
เครื่องที่ 1	300	360	600	660
เครื่องที่ 2	300	360	600	660
เครื่องที่ 3	300	360	600	660

ตารางที่ 3.1 แสดงขนาดของถังพักระยะกับเครื่องอัดอากาศ

แต่ละกรณีของการทดลองจากตารางที่ 3.1 ข้างบนย่อรายการทดลองได้อีก 24 กรณีด้วยกันดังตารางที่ 3.2

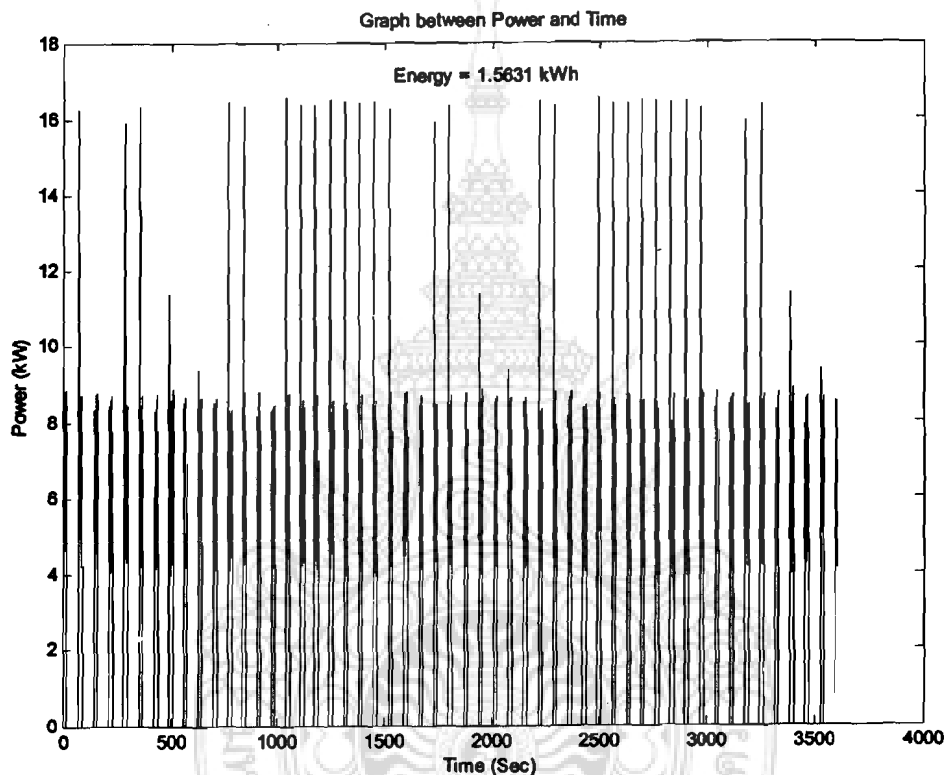
ร้อยละของการใช้ ลม	ความดัน สตาร์ท-สต็อป					
	6-7	6-8	6-9	7-8	7-9	8-9
20	/	/	/	/	/	/
40	/	/	/	/	/	/
60	/	/	/	/	/	/
80	/	/	/	/	/	/

ตารางที่ 3.2 แสดงการทดลองความสัมพันธ์ระหว่างร้อยละของการใช้งานลมอัด กับการตั้งค่าความดัน สตาร์ท-สต็อป

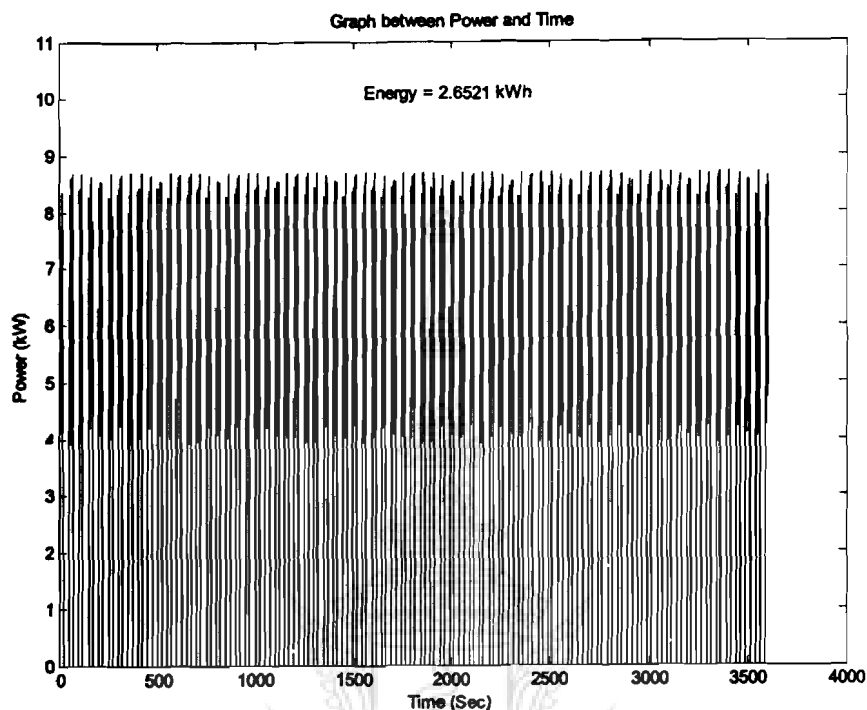
1. ผลการทดลองเครื่องขัดอากาศเครื่องที่ 1

เป็นเครื่องขัดอากาศแบบถูกสูบ ใช้มอเตอร์ขนาด 7.5 kW ผลิตลมอัดได้ 1151 LPM

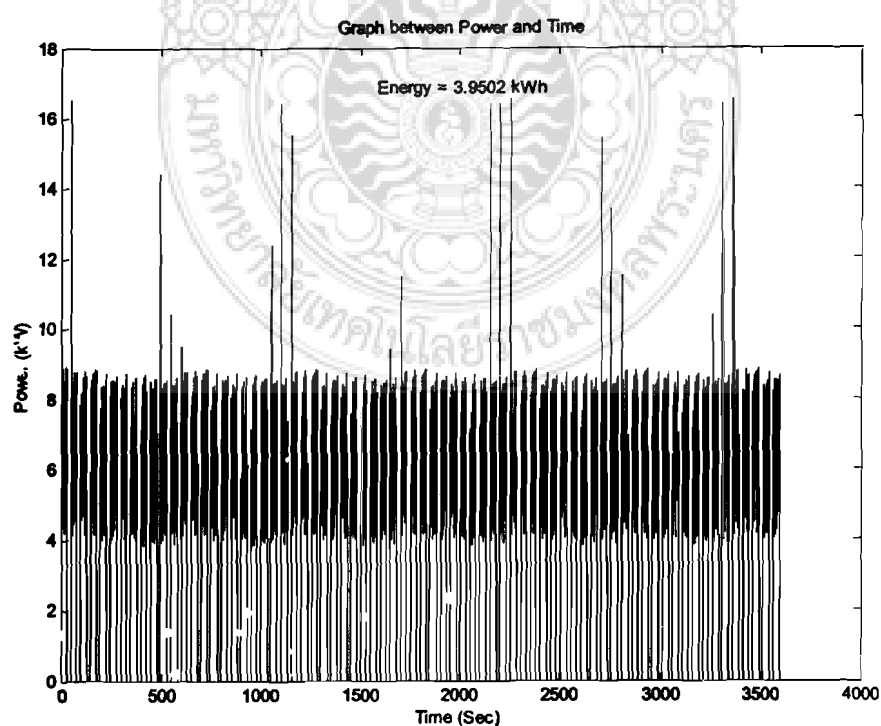
1.1 การทดลองกับถังพักลมขนาด 300 ลิตร



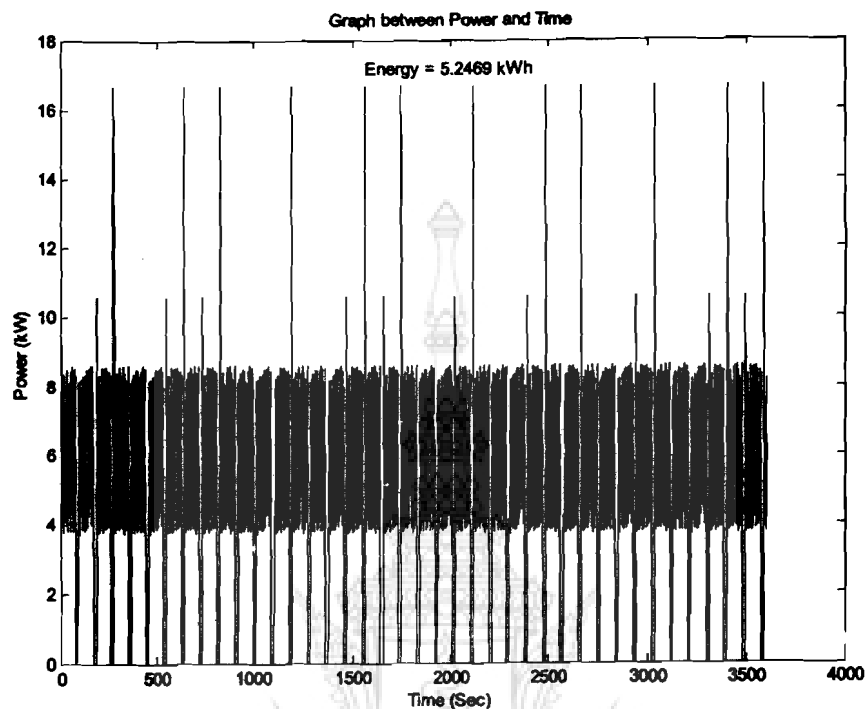
ภาพที่ 3.1 กราฟแสดงการใช้กำลังไฟฟ้าที่ปริมาณการใช้ลมอัคร้อยละ 20 ความดัน ศูนย์ท-สตีอป 6 และ 7 บาร์ ของเครื่องขัดอากาศเครื่องที่ 1 ถังพักลมขนาด 300 ลิตร



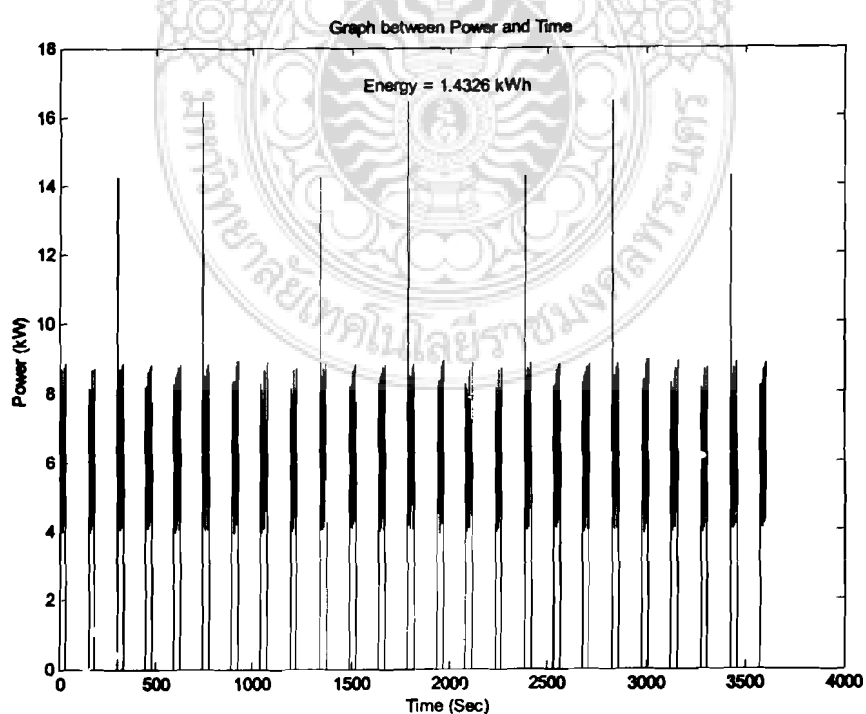
ภาพที่ 3.2 กราฟแสดงการใช้กำลังไฟฟ้าที่ปริมาณการใช้ลมอัคร้อยละ 40 ความดัน star 6 และ 7 บาร์ ของเครื่องยนต์อากาศเครื่องที่ 1 ถังพักลมขนาด 300 ลิตร



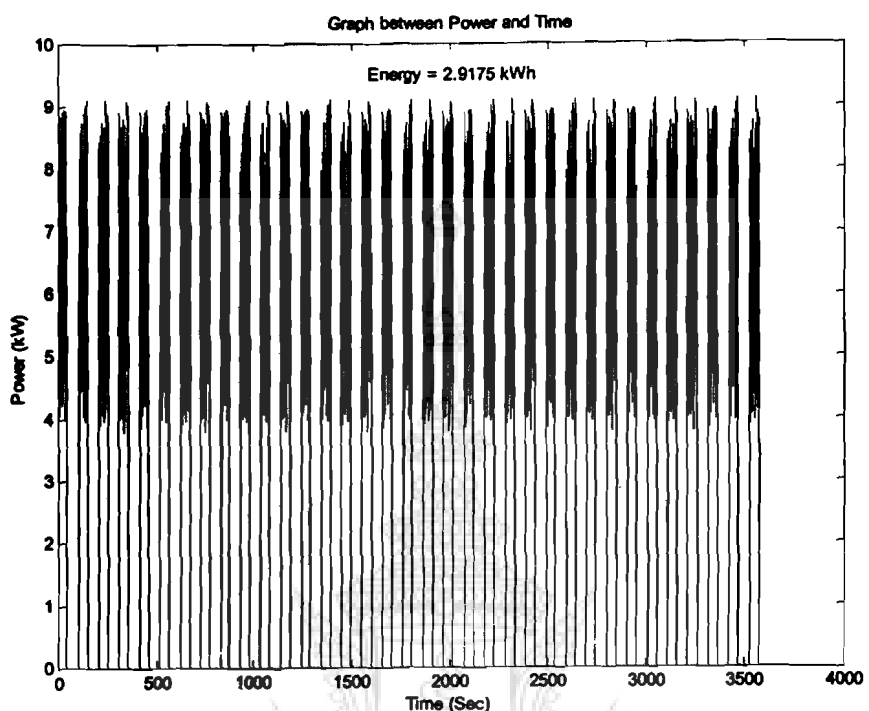
ภาพที่ 3.3 กราฟแสดงการใช้กำลังไฟฟ้าที่ปริมาณการใช้ลมอัคร้อยละ 60 ความดัน star 6 และ 7 บาร์ ของเครื่องยนต์อากาศเครื่องที่ 1 ถังพักลมขนาด 300 ลิตร



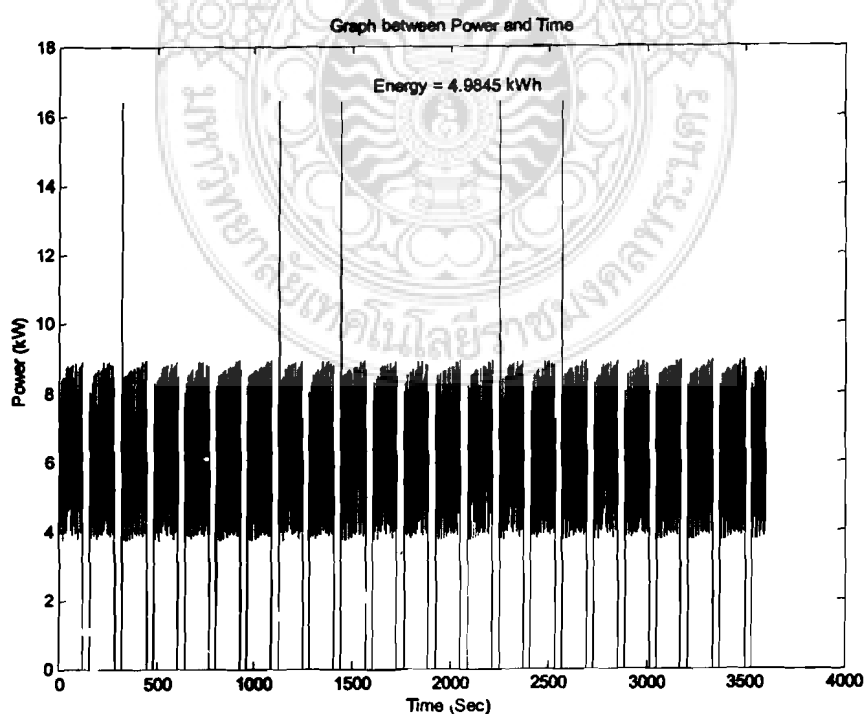
ภาพที่ 3.4 กราฟแสดงการใช้กำลังไฟฟ้าที่ปริมาณการใช้ลมอัคร้อบลະ 80 ความดัน สถานที่-สตีอป 6 และ 7 บาร์ ของเครื่องยัดอากาศเครื่องที่ 1 ถังพักลมขนาด 300 ลิตร



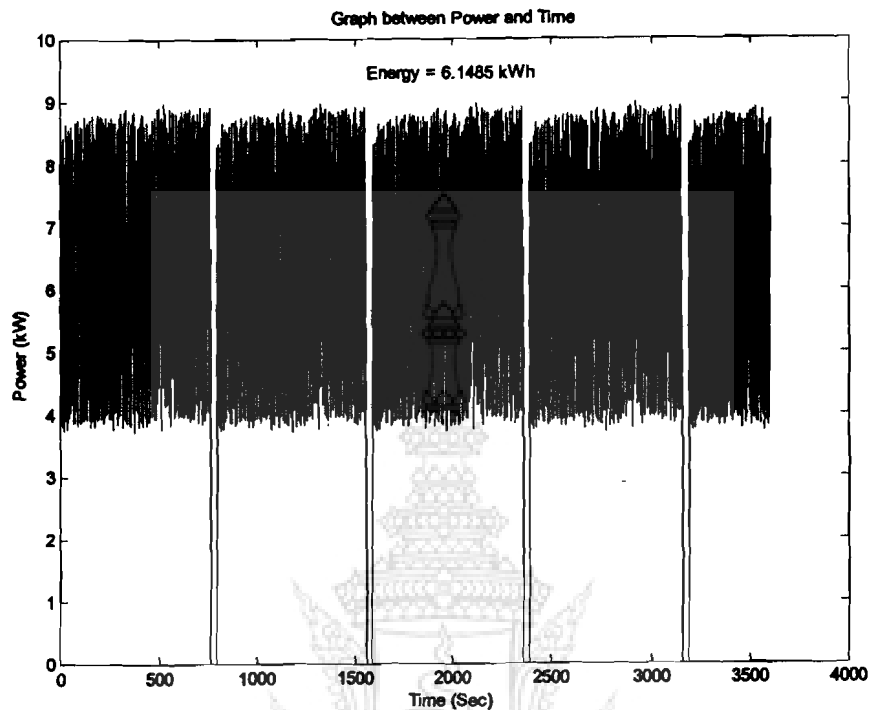
ภาพที่ 3.5 กราฟแสดงการใช้กำลังไฟฟ้าที่ปริมาณการใช้ลมอัคร้อบลະ 20 ความดัน สถานที่-สตีอป 6 และ 8 บาร์ ของเครื่องยัดอากาศเครื่องที่ 1 ถังพักลมขนาด 300 ลิตร



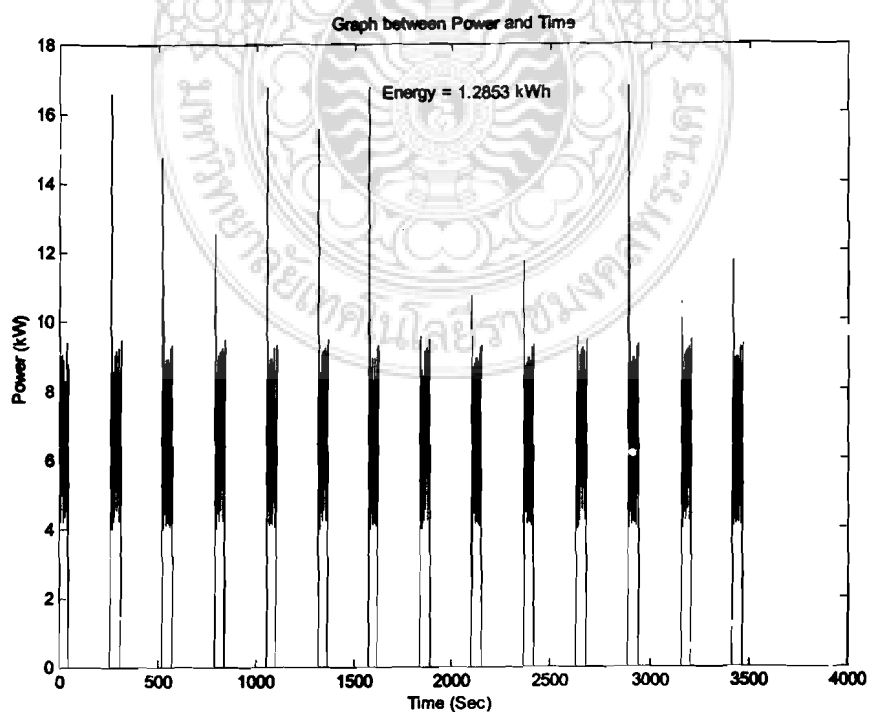
ภาพที่ 3.6 กราฟแสดงการใช้กำลังไฟฟ้าที่ปริมาณการใช้คุณลักษณะ 40 ความดัน สถานท์-สตีป 6 และ 8 บาร์ ของเครื่องขัดอากาศเครื่องที่ 1 ถังพักลมขนาด 300 ลิตร



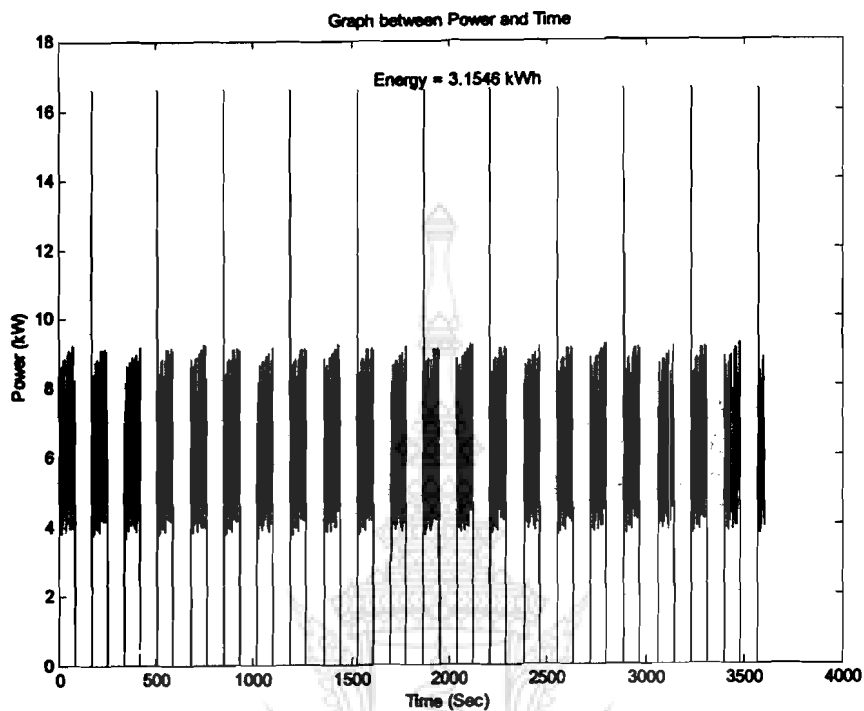
ภาพที่ 3.7 กราฟแสดงการใช้กำลังไฟฟ้าที่ปริมาณการใช้คุณลักษณะ 60 ความดัน สถานท์-สตีป 6 และ 8 บาร์ ของเครื่องขัดอากาศเครื่องที่ 1 ถังพักลมขนาด 300 ลิตร



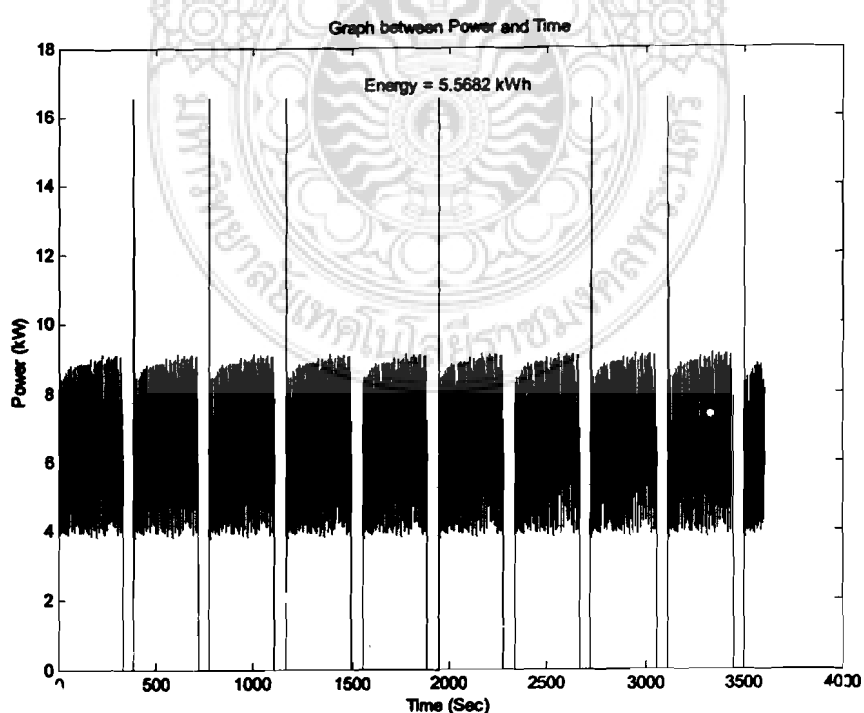
ภาพที่ 3.8 กราฟแสดงการใช้กำลังไฟฟ้าที่ปริมาณการใช้ล้มอัครร้อยละ 80 ความดัน ศาร์ท-สตีบป 6 และ 8 บาร์ ของเครื่องอัดอากาศเครื่องที่ 1 ถังพักลมขนาด 300 ลิตร



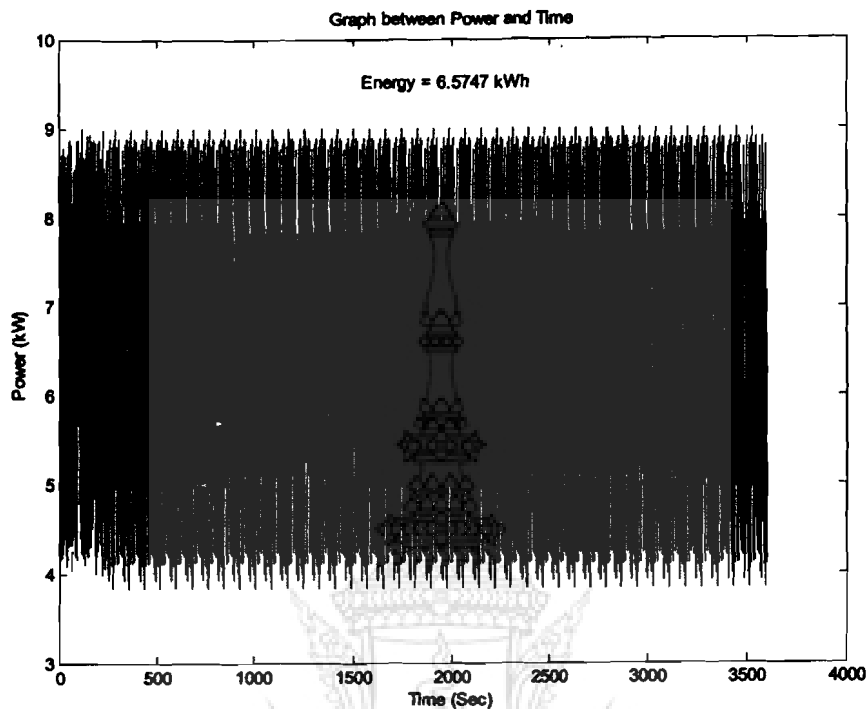
ภาพที่ 3.9 กราฟแสดงการใช้กำลังไฟฟ้าที่ปริมาณการใช้ล้มอัครร้อยละ 20 ความดัน ศาร์ท-สตีบป 6 และ 9 บาร์ ของเครื่องอัดอากาศเครื่องที่ 1 ถังพักลมขนาด 300 ลิตร



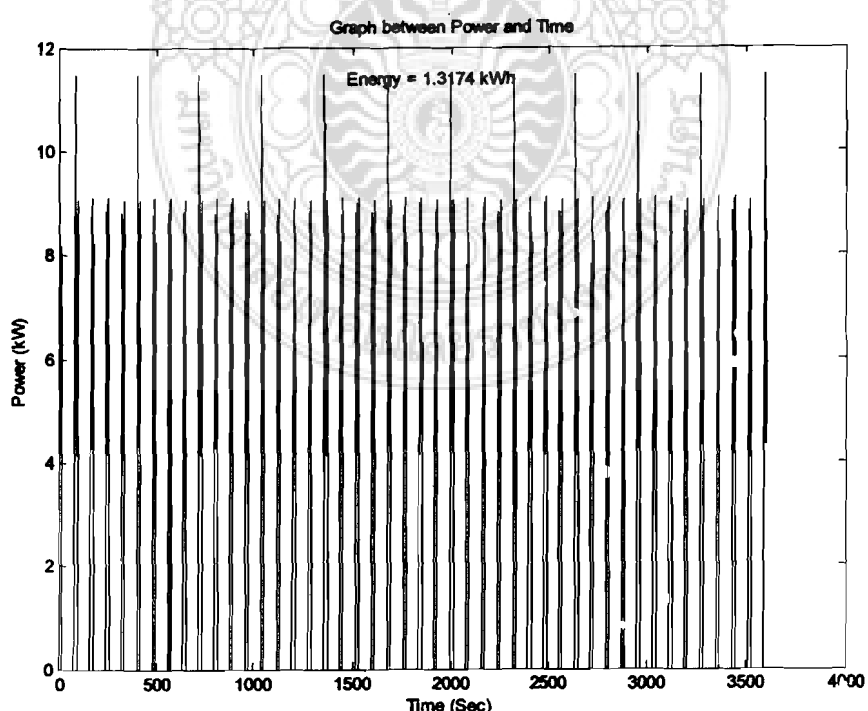
ภาพที่ 3.10 กราฟแสดงการใช้กำลังไฟฟ้าที่ปริมาณการใช้ลมอัคร้อยละ 40 ความดัน สถานีที่-สตีลป 6 และ 9 บาร์ ของเครื่องอัดอากาศเครื่องที่ 1 ถังพักลมขนาด 300 ลิตร



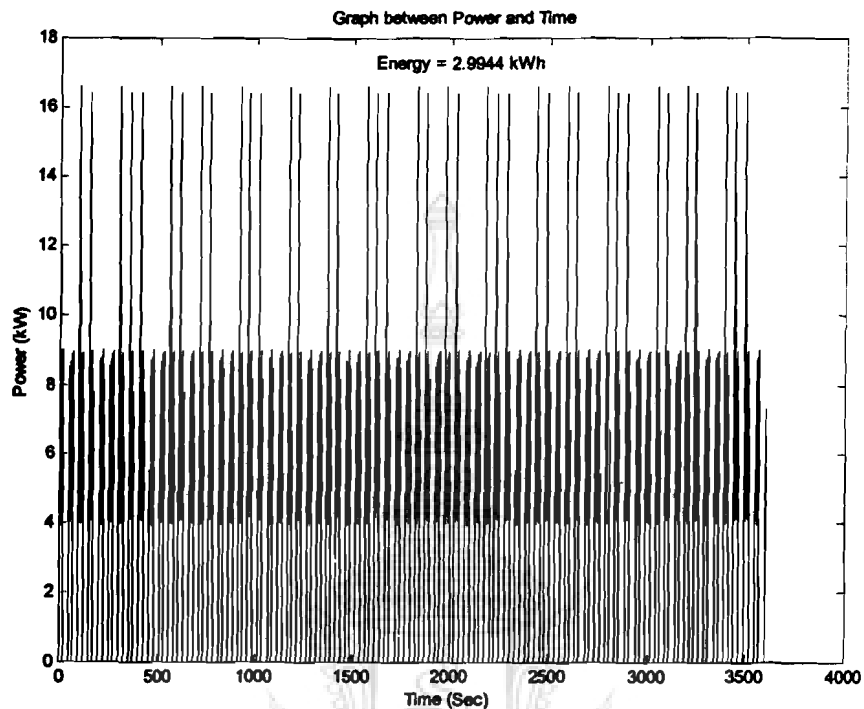
ภาพที่ 3.11 กราฟแสดงการใช้กำลังไฟฟ้าที่ปริมาณการใช้ลมอัคร้อยละ 60 ความดัน สถานีที่-สตีลป 6 และ 9 บาร์ ของเครื่องอัดอากาศเครื่องที่ 1 ถังพักลมขนาด 300 ลิตร



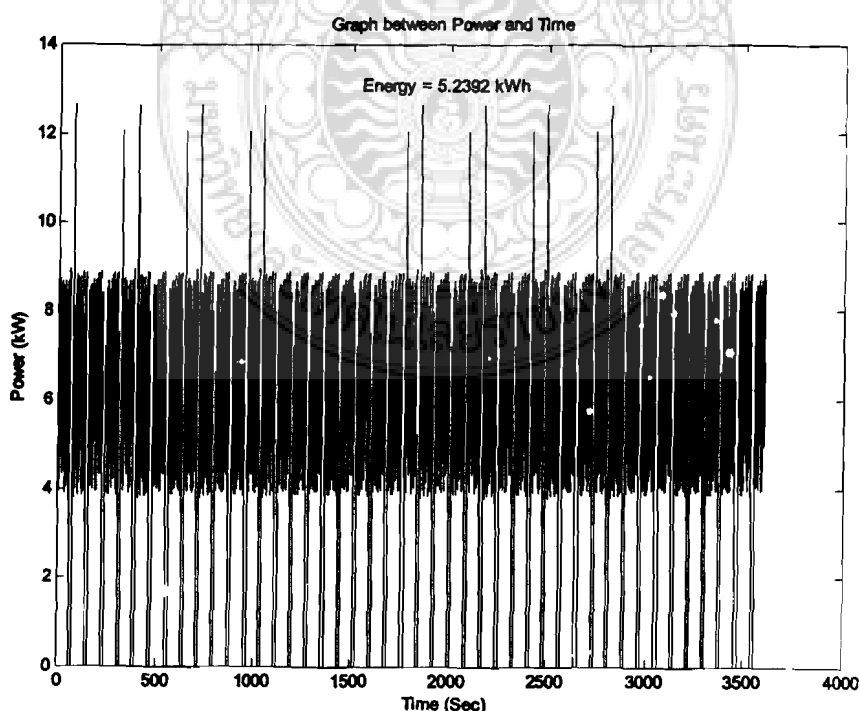
ภาพที่ 3.12 กราฟแสดงการใช้กำลังไฟฟ้าที่ปริมาณการใช้ลมอัคร้อยละ 80 ความคัน สถานีที่สตีอป 6 และ 9 บาร์ ของเครื่องอัดอากาศเครื่องที่ 1 ถังพักลมขนาด 300 ลิตร



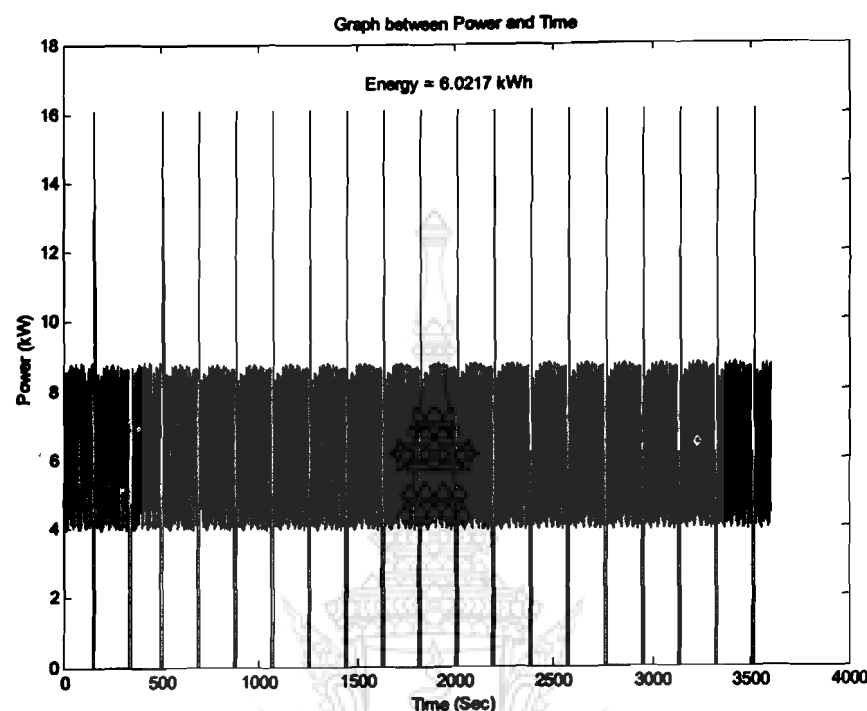
ภาพที่ 3.13 กราฟแสดงการใช้กำลังไฟฟ้าที่ปริมาณการใช้ลมอัคร้อยละ 20 ความคัน สถานีที่สตีอป 7 และ 8 บาร์ ของเครื่องอัดอากาศเครื่องที่ 1 ถังพักลมขนาด 300 ลิตร



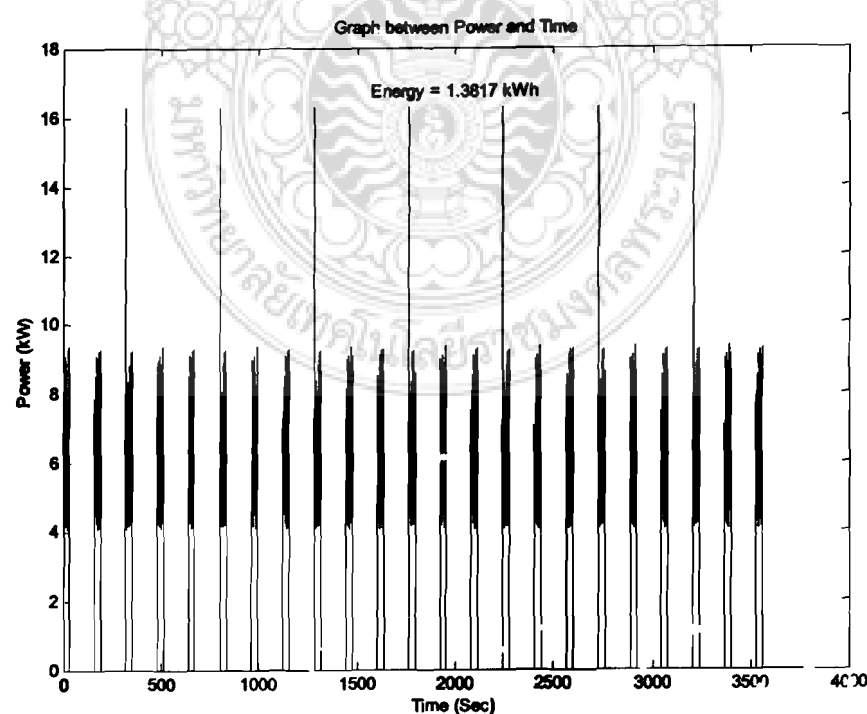
ภาพที่ 3.14 กราฟแสดงการใช้กำลังไฟฟ้าที่ปริมาณการใช้ลมอัคร้อยละ 40 ความดัน ศcarท-สต็อก 7 และ 8 บาร์ ของเครื่องอัดอากาศเครื่องที่ 1 ถังพักลมขนาด 300 ลิตร



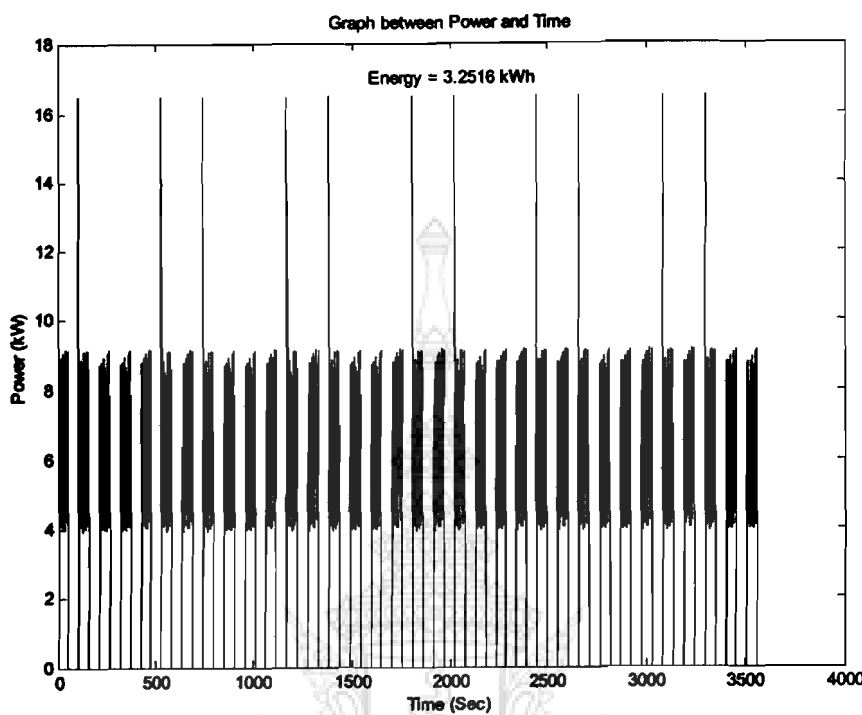
ภาพที่ 3.15 กราฟแสดงการใช้กำลังไฟฟ้าที่ปริมาณการใช้ลมอัคร้อยละ 60 ความดัน ศcarท-สต็อก 7 และ 8 บาร์ ของเครื่องอัดอากาศเครื่องที่ 1 ถังพักลมขนาด 300 ลิตร



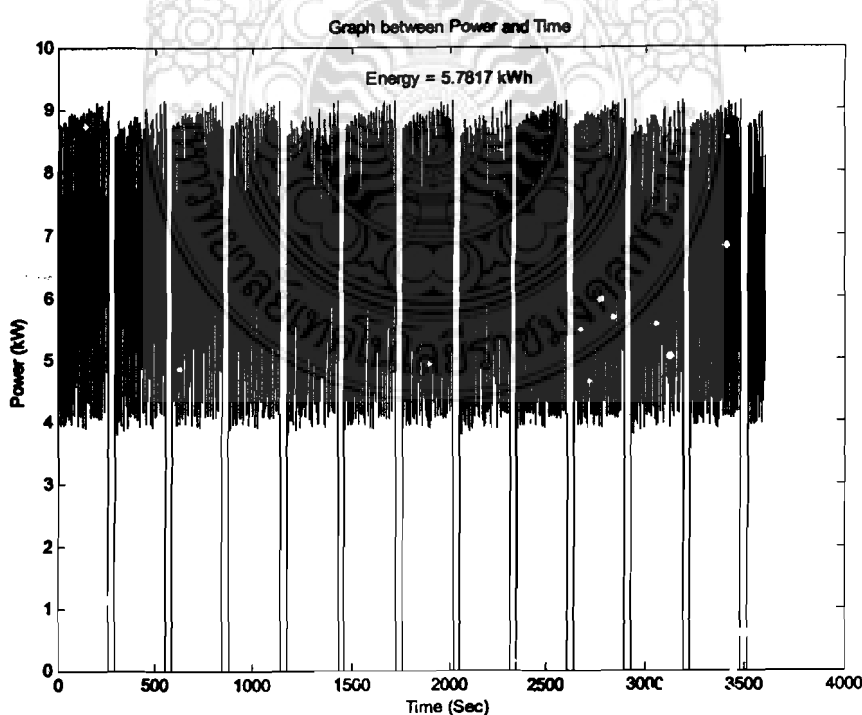
ภาพที่ 3.16 グラฟแสดงการใช้กำลังไฟฟ้าที่ปริมาณการใช้ล้มอัคร้อยละ 80 ความดัน ศตวรรษ-สต็อก 7 และ 8 บาร์ ของเครื่องอัดอากาศเครื่องที่ 1 ถังพักลมขนาด 300 ลิตร



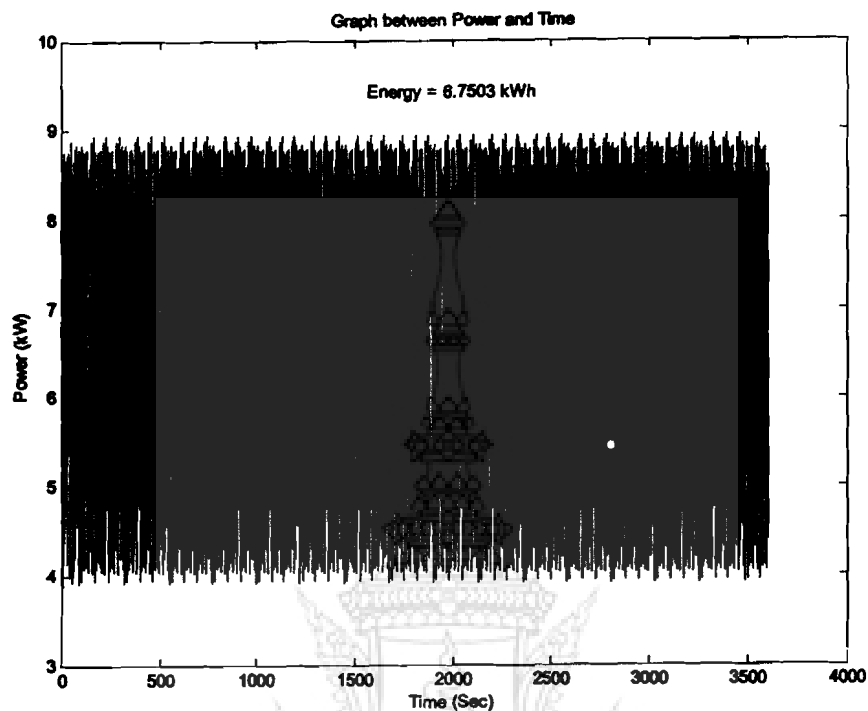
ภาพที่ 3.17 グラฟแสดงการใช้กำลังไฟฟ้าที่ปริมาณการใช้ล้มอัคร้อยละ 20 ความดัน ศตวรรษ-สต็อก 7 และ 9 บาร์ ของเครื่องอัดอากาศเครื่องที่ 1 ถังพักลมขนาด 300 ลิตร



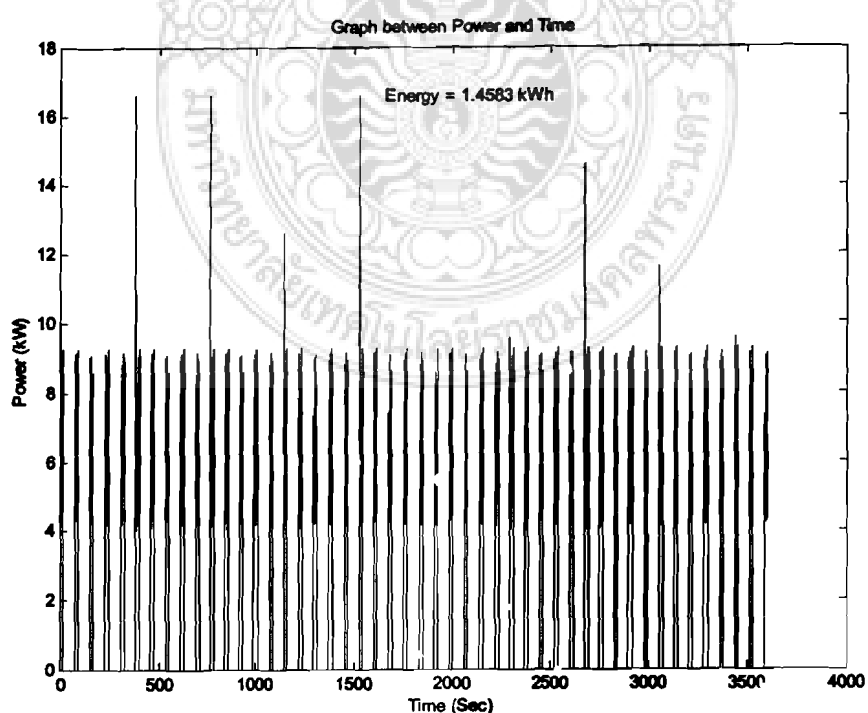
ภาพที่ 3.18 กราฟแสดงการใช้กำลังไฟฟ้าที่ปริมาณการใช้ลมอัตราอย่างละ 40 ความดัน สถานท์อุป 7 และ 9 บาร์ ของเครื่องอัดอากาศเครื่องที่ 1 ถังพักลมขนาด 300 ลิตร



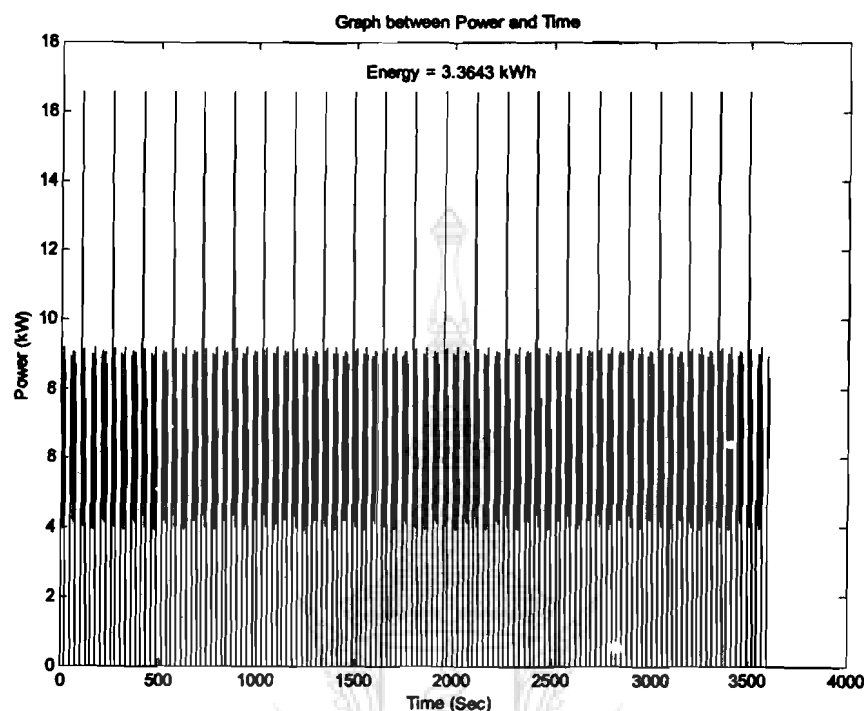
ภาพที่ 3.19 กราฟแสดงการใช้กำลังไฟฟ้าที่ปริมาณการใช้ลมอัตราอย่างละ 60 ความดัน สถานท์อุป 7 และ 9 บาร์ ของเครื่องอัดอากาศเครื่องที่ 1 ถังพักลมขนาด 300 ลิตร



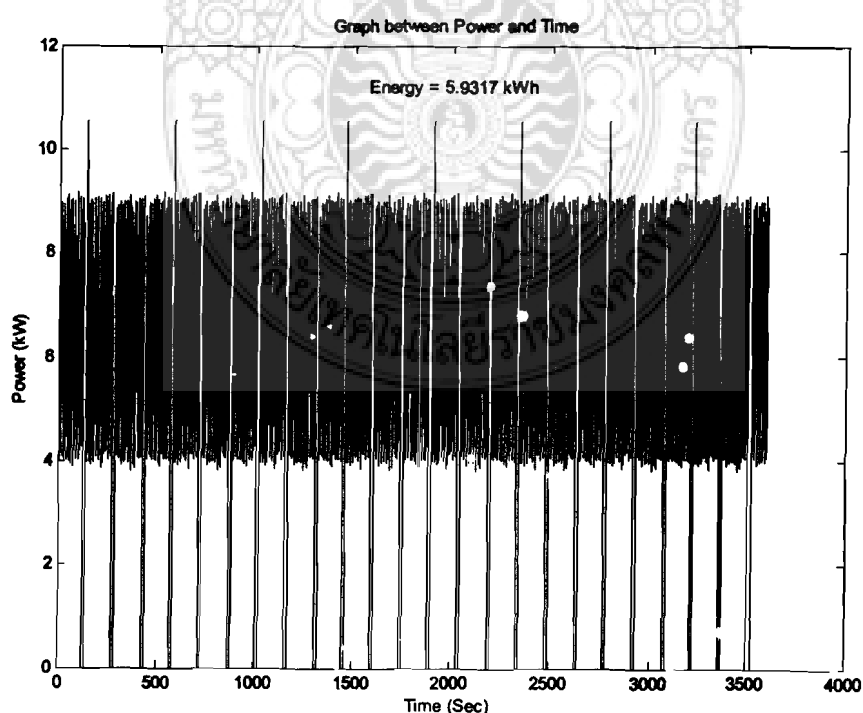
ภาพที่ 3.20 グラฟแสดงการใช้กำลังไฟฟ้าที่ปริมาณการใช้ล้มอัครอขยะ 80 ความดัน ศтар์ท-สตีอป 7 และ 9 บาร์ ของเครื่องอัดอากาศเครื่องที่ 1 ถังพักลมขนาด 300 ลิตร



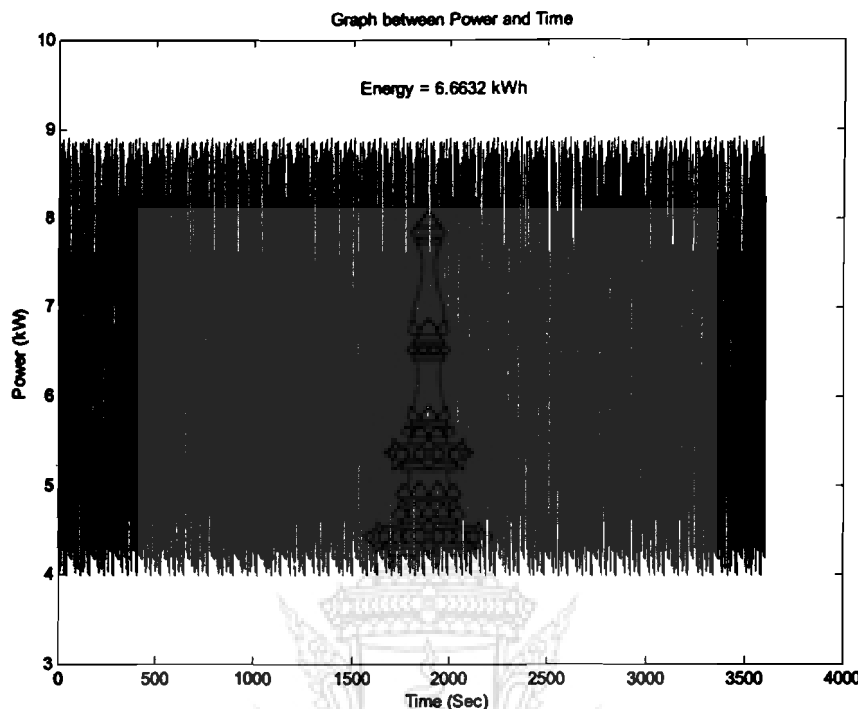
ภาพที่ 3.21 グラฟแสดงการใช้กำลังไฟฟ้าที่ปริมาณการใช้ล้มอัครอขยะ 20 ความดัน ศтар์ท-สตีอป 8 และ 9 บาร์ ของเครื่องอัดอากาศเครื่องที่ 1 ถังพักลมขนาด 300 ลิตร



ภาพที่ 3.22 กราฟแสดงการใช้กำลังไฟฟ้าที่ปริมาณการใช้ลมอัคร้อยละ 40 ความดัน ศตวรรษที่ 8 และ 9 บาร์ ของเครื่องอัดอากาศเครื่องที่ 1 ถังพักลมขนาด 300 ลิตร



ภาพที่ 3.23 กราฟแสดงการใช้กำลังไฟฟ้าที่ปริมาณการใช้ลมอัคร้อยละ 60 ความดัน ศตวรรษที่ 8 และ 9 บาร์ ของเครื่องอัดอากาศเครื่องที่ 1 ถังพักลมขนาด 300 ลิตร

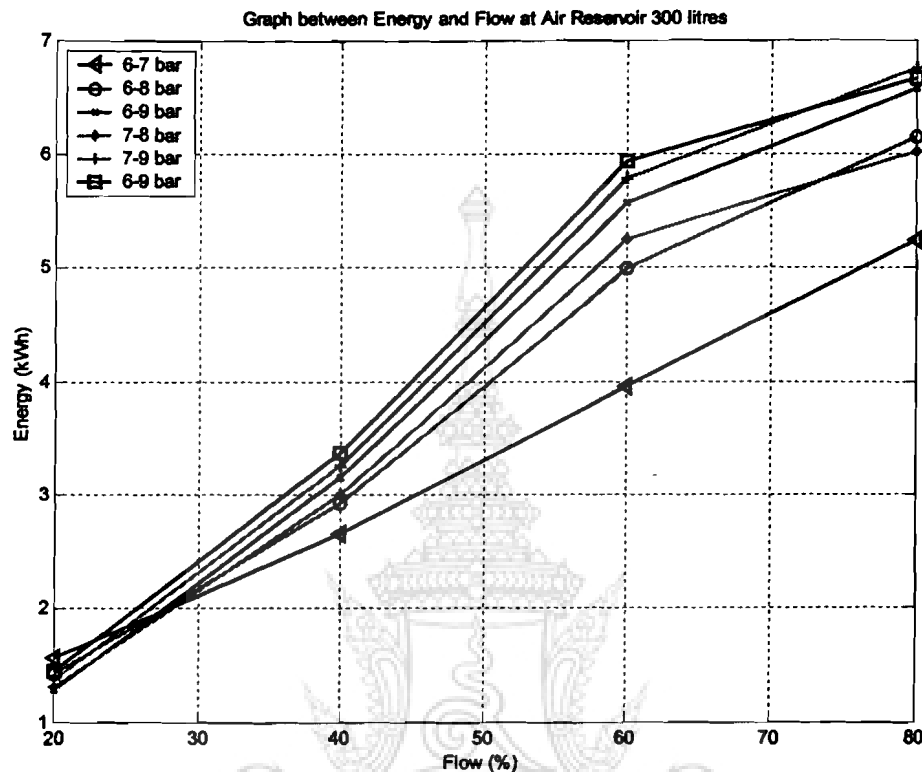


ภาพที่ 3.24 กราฟแสดงการใช้กำลังไฟฟ้าที่ปริมาณการใช้ลมอัตร้อยละ 80 ความคัน สตาร์ท-สต็อป 8 และ 9 นาที ของเครื่องอัดอากาศเครื่องที่ 1 ถังพักลมขนาด 300 ลิตร

จากภาพที่ 3.1 ถึง 3.24 เป็นผลการทดลองของเครื่องอัดอากาศเครื่องที่ 1 กับถังพักลมขนาด 300 ลิตร ซึ่งแสดงเป็นกราฟความสัมพันธ์ระหว่างกำลัง (Power) กับเวลา (Time) แล้วคำนวณหาค่า พลังงานไฟฟ้าโดยใช้ระเบียบวิธีเชิงตัวเลขคุณภาพสี่เหลี่ยมคงทุม ค่าพลังงานที่ได้แสดงไว้ในตารางที่ 3.3 และจากตารางที่ 3.3 นี้ ให้แสดงเป็นกราฟความสัมพันธ์ ระหว่างค่าพลังงานไฟฟ้า (Energy) กับร้อยละของการใช้ปริมาณลมอัด (Flow) ที่ความคัน สตาร์ท-สต็อป ต่างๆ ดังภาพที่ 3.25

ปริมาณการใช้ลมอัด (%)	ค่าพลังงานไฟฟ้าที่ความคัน สตาร์ท-สต็อป ต่างๆ (kWh)					
	6-7	6-8	6-9	7-8	7-9	8-9
20	1.5631	1.4326	1.2853	1.3174	1.3817	1.4583
40	2.6521	2.9175	3.1546	2.9944	3.2516	3.3643
60	3.9502	4.9845	5.5682	5.2392	5.7817	5.9317
80	5.2469	6.1485	6.5747	6.0217	6.7503	6.6632

ตารางที่ 3.3 ผลการใช้พลังงานไฟฟ้าที่ร้อยละของการใช้งานลมอัดกับการตั้งค่าความคัน ต่างๆ ของเครื่องอัดอากาศเครื่องที่ 1 ถังพักลมขนาด 300 ลิตร



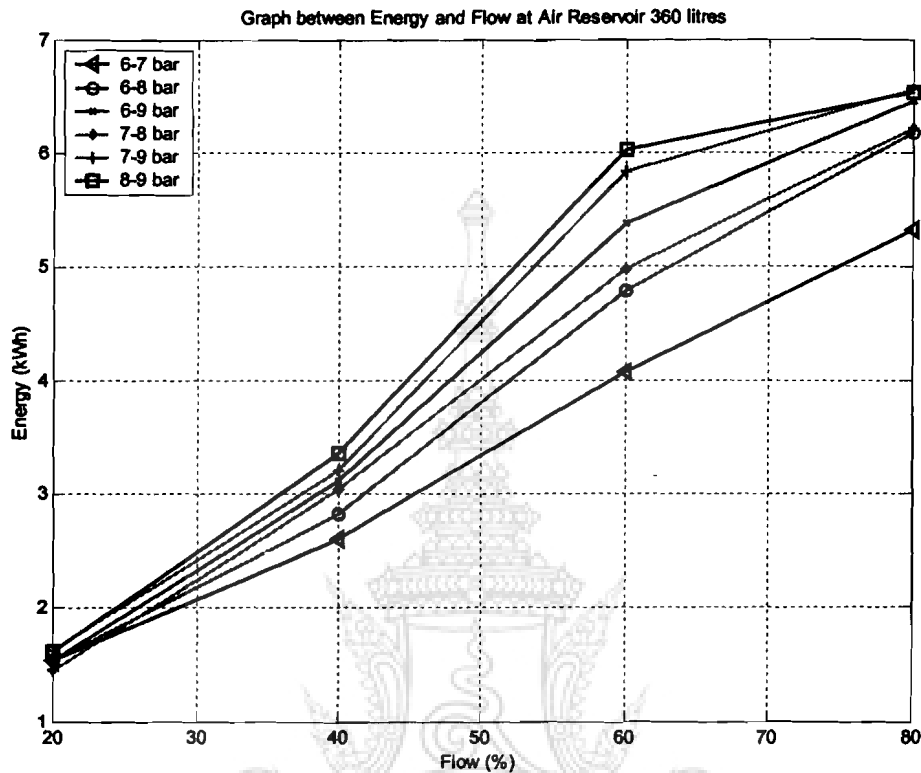
ภาพที่ 3.25 กราฟเปรียบเทียบการใช้พลังงานไฟฟ้ากับปริมาณการใช้ลมอัด ที่ความดัน
สตาร์ท-สต็อป ต่างๆ ของเครื่องอัดอากาศเครื่องที่ 1 ถังพักลมขนาด 300 ลิตร

1.2 การทดลองกับถังพักลมขนาด 360 ลิตร

ผลการทดลองหาค่าพลังงานไฟฟ้าของเครื่องอัดอากาศเครื่องที่ 1 กับถังพักลม
ขนาด 360 ลิตร ได้แสดงไว้ในตารางที่ 3.4 และแสดงเป็นกราฟความสัมพันธ์ ระหว่างค่าพลังงาน
ไฟฟ้ากับร้อยละของการใช้ปริมาณลมอัด ดังภาพที่ 3.26

ปริมาณการใช้ลมอัด (%)	ค่าพลังงานไฟฟ้าที่ความดัน สตาร์ท-สต็อป ต่างๆ (kWh)					
	6-7	6-8	6-9	7-8	7-9	8-9
20	1.5413	1.5427	1.5366	1.4495	1.6281	1.6174
40	2.5992	2.8246	3.1155	3.0404	3.2003	3.3496
60	4.0688	4.7840	5.3759	4.9712	5.8352	6.0189
80	5.3262	6.1762	6.4593	6.2138	6.5542	6.5362

ตารางที่ 3.4 ผลการใช้พลังงานไฟฟ้าที่ร้อยละของการใช้งานลมอัดกับการหั่นค่าความดัน
ต่างๆ ของเครื่องอัดอากาศเครื่องที่ 1 ถังพักลมขนาด 360 ลิตร



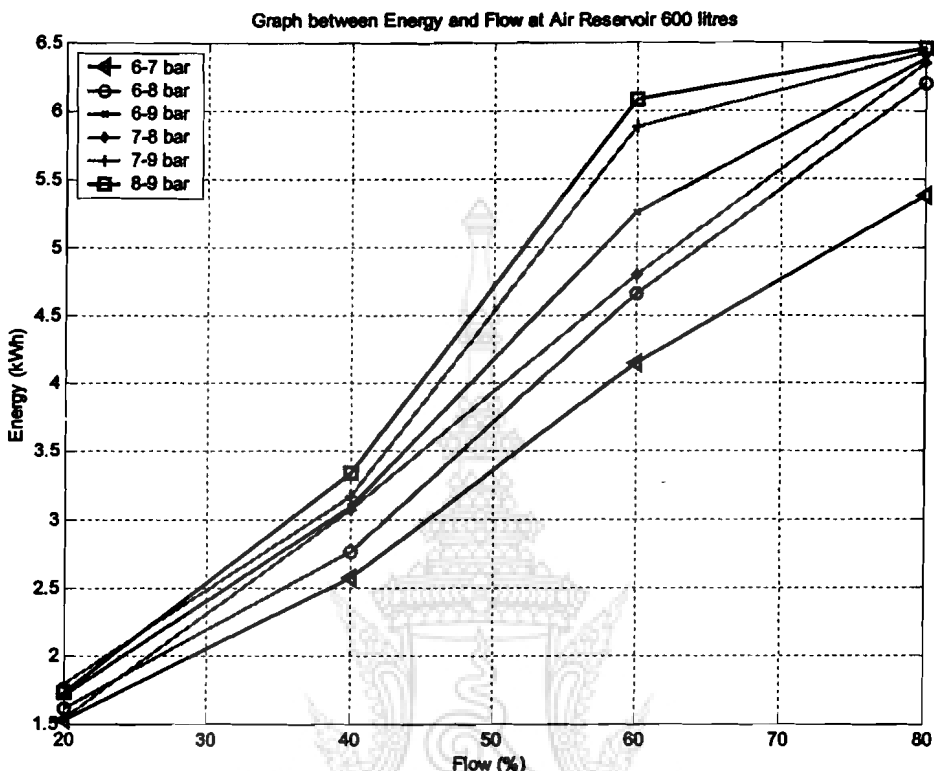
ภาพที่ 3.26 กราฟเปรียบเทียบการใช้พลังงานไฟฟ้ากับปริมาณการใช้ลมอัด ที่ความดัน สตาร์ท-สต็อป ต่างๆ ของเครื่องอัดอากาศเครื่องที่ 1 ถังพักลมขนาด 360 ลิตร

1.3 การทดลองกับถังพักลมขนาด 600 ลิตร

ผลการทดลองหาค่าพลังงานไฟฟ้าของเครื่องอัดอากาศเครื่องที่ 1 กับถังพักลมขนาด 600 ลิตร ได้แสดงไว้ในตารางที่ 3.5 และแสดงเป็นกราฟความสัมพันธ์ ระหว่างค่าพลังงานไฟฟ้ากับร้อยละของการใช้ปริมาณลมอัด ดังภาพที่ 3.27

ปริมาณการใช้ลมอัด (%)	ค่าพลังงานไฟฟ้าที่ความดัน สตาร์ท-สต็อป ต่างๆ (kWh)					
	6-7	6-8	6-9	7-8	7-9	8-9
20	1.5268	1.6161	1.7042	1.5376	1.7924	1.7235
40	2.5640	2.7626	3.0894	3.0711	3.1661	3.3398
60	4.1479	4.6504	5.2477	4.7926	5.8725	6.0771
80	5.3791	6.1946	6.3823	6.3418	6.4234	6.4516

ตารางที่ 3.5 ผลการใช้พลังงานไฟฟ้าที่ร้อยละของการใช้งานลมอัดกับการตั้งค่าความดันต่างๆ ของเครื่องอัดอากาศเครื่องที่ 1 ถังพักลมขนาด 600 ลิตร



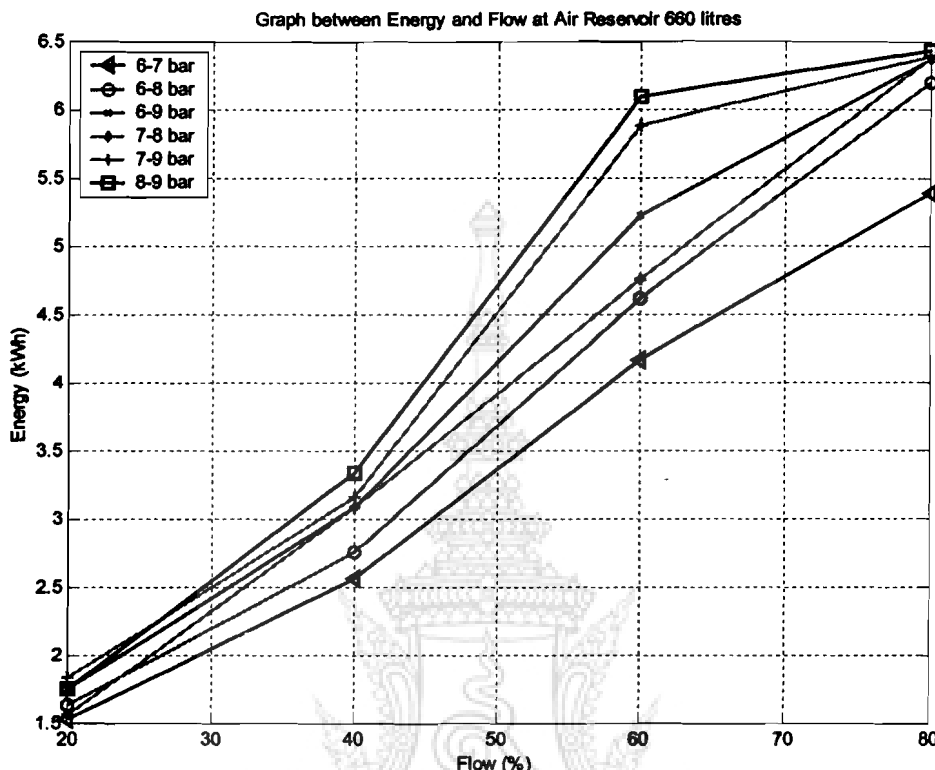
ภาพที่ 3.27 กราฟเปรียบเทียบการใช้พลังงานไฟฟ้ากับปริมาณการใช้ลมอัด ที่ความดัน
สตาร์ท-สต็อป ต่างๆ ของเครื่องอัดอากาศเครื่องที่ 1 ถังพักลมขนาด 600 ลิตร

1.4 การทดลองกับถังพักลมขนาด 660 ลิตร

ผลการทดลองหาค่าพลังงานไฟฟ้าของเครื่องอัดอากาศเครื่องที่ 1 กับถังพักลมขนาด 660 ลิตร ได้แสดงไว้ในตารางที่ 3.6 และแสดงเป็นกราฟความสัมพันธ์ ระหว่างค่าพลังงานไฟฟ้ากับร้อยละของการใช้ปริมาณลมอัด ดังภาพที่ 3.28

ปริมาณการใช้ลมอัด (%)	ค่าพลังงานไฟฟ้าที่ความดัน สตาร์ท-สต็อป ต่างๆ (kWh)					
	6-7	6-8	6-9	7-8	7-9	8-9
20	1.5232	1.6345	1.7461	1.5596	1.8335	1.7500
40	2.5552	2.7471	3.0829	3.0788	3.1576	3.3374
60	4.1677	4.6170	5.2157	4.7479	5.8816	6.0916
80	5.3923	6.1992	6.3631	6.3738	6.3907	6.4304

ตารางที่ 3.6 ผลการใช้พลังงานไฟฟ้าที่ร้อยละของการใช้งานลมอัดกับการตั้งค่าความดัน
ต่างๆ ของเครื่องอัดอากาศเครื่องที่ 1 ถังพักลมขนาด 660 ลิตร

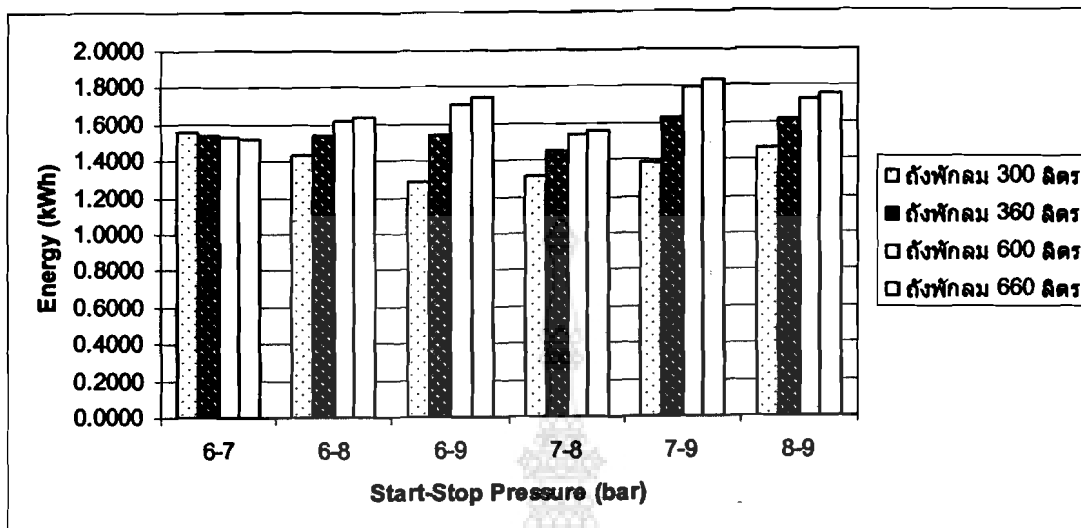


ภาพที่ 3.28 กราฟเปรียบเทียบการใช้พลังงานไฟฟ้ากับปริมาณการใช้ลมอัด ที่ความดันสตาร์ท-สต็อป ต่างๆ ของเครื่องอัดอากาศเครื่องที่ 1 ถังพักลมขนาด 660 ลิตร

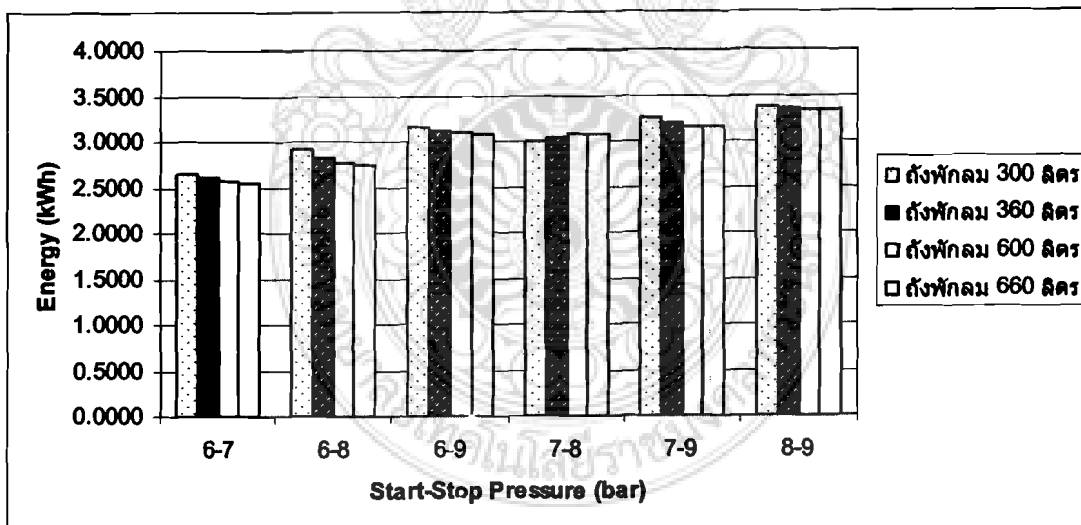
จากการทดลองหาค่าพลังงานไฟฟ้าของเครื่องอัดอากาศเครื่องที่ 1 กับถังพักลมทั้ง 4 ขนาด คือ 300, 360, 600 และ 660 ลิตร และร้อยละของการใช้ปริมาณลมอัดต่างๆ ได้แสดงไว้ในตารางที่ 3.7 และจากตารางนี้ ได้แสดงเป็นกราฟแท่ง เพื่อเปรียบเทียบค่าพลังงานไฟฟ้าระหว่างถังพักลมทั้งสี่ ขนาด ดังภาพที่ 3.29 ถึง ภาพที่ 3.32

ความดัน	ค่าพลังงานไฟฟ้าที่ร้อยละของการใช้ลมต่างๆ และขนาดถังลมทั้ง 4 ขนาด (kWh)															
	20%				40%				60%				80%			
	300 ลิตร	360 ลิตร	600 ลิตร	660 ลิตร	300 ลิตร	360 ลิตร	600 ลิตร	660 ลิตร	300 ลิตร	360 ลิตร	600 ลิตร	660 ลิตร	300 ลิตร	360 ลิตร	600 ลิตร	660 ลิตร
6-7	1.5631	1.5413	1.5268	1.5232	2.6521	2.5992	2.5640	2.5552	3.9502	4.0688	4.1479	4.1677	5.2469	5.3262	5.3791	5.3923
6-8	1.4326	1.5427	1.6161	1.6345	2.9175	2.8246	2.7626	2.7471	4.9845	4.7 ^o 40	4.6504	4.6170	6.1485	6.1762	6.1946	6.1992
6-9	1.2853	1.5366	1.7042	1.7461	3.1546	3.1155	3.0894	3.0829	5.5682	5.3759	5.2477	5.2157	6.5747	6.4593	6.3823	6.3631
7-8	1.3174	1.4495	1.5376	1.5596	2.9944	3.0404	3.0711	3.0788	5.2392	4.9712	4.7926	4.7479	6.0217	6.2138	6.3418	6.3738
7-9	1.3817	1.6281	1.7924	1.8335	3.2516	3.2003	3.1661	3.1576	5.7817	5.8362	5.8725	5.8816	6.7503	6.5542	6.4234	6.3907
8-9	1.4583	1.6174	1.7235	1.7500	3.3643	3.3496	3.3398	3.3374	5.9317	6.0189	6.0771	6.0916	6.6632	6.5362	6.4516	6.4304

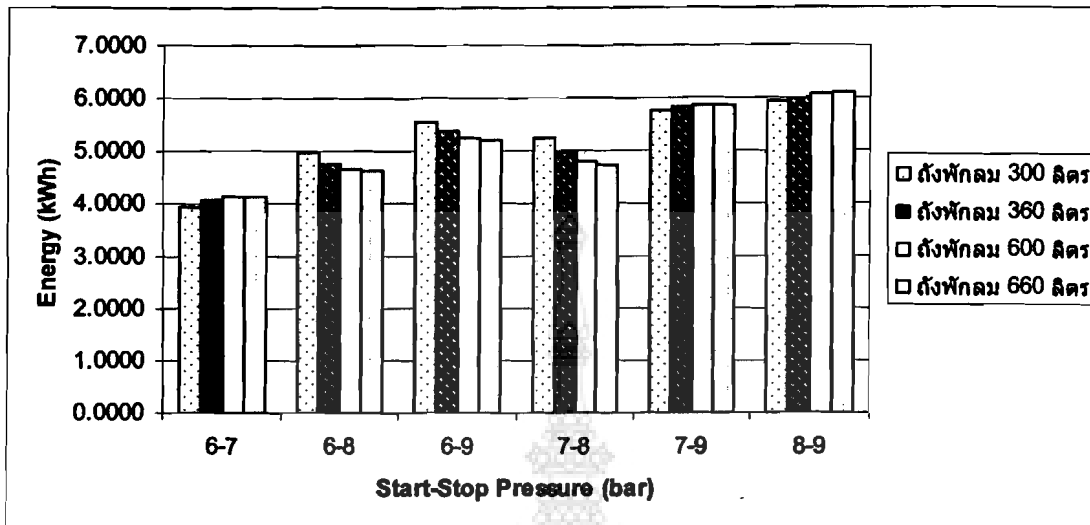
ตารางที่ 3.7 แสดงการใช้พลังงานไฟฟ้าใน 1 ชั่วโมง ของเครื่องยืดอากาศเครื่องที่ 1 ที่ร้อยละของการใช้ลมอัดและถังลมขนาดต่างๆ



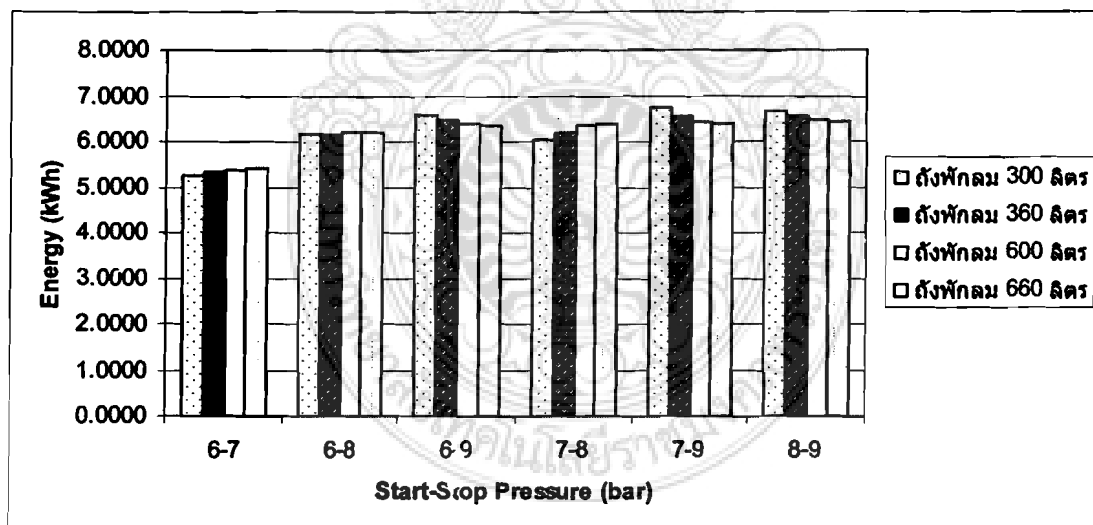
ภาพที่ 3.29 กราฟเปรียบเทียบการใช้พลังงานไฟฟ้าของเครื่องอัดอากาศเครื่องที่ 1
ที่ถังพักลมขนาดต่างๆ ปริมาณการใช้ลมอัคร้อยละ 20



ภาพที่ 3.30 กราฟเปรียบเทียบการใช้พลังงานไฟฟ้าของเครื่องอัดอากาศเครื่องที่ 1
ที่ถังพักลมขนาดต่างๆ ปริมาณการใช้ลมอัคร้อยละ 40



ภาพที่ 3.31 กราฟเปรียบเทียบการใช้พลังงานไฟฟ้าของเครื่องอัดอากาศเครื่องที่ 1
ที่ถังพักลมขนาดต่างๆ ปริมาณการใช้ลมอัตรา 60



ภาพที่ 3.32 กราฟเปรียบเทียบการใช้พลังงานไฟฟ้าของเครื่องอัดอากาศเครื่องที่ 1
ที่ถังพักลมขนาดต่างๆ ปริมาณการใช้ลมอัตรา 80

2. ผลการทดลองเครื่องอัดอากาศเครื่องที่ 2

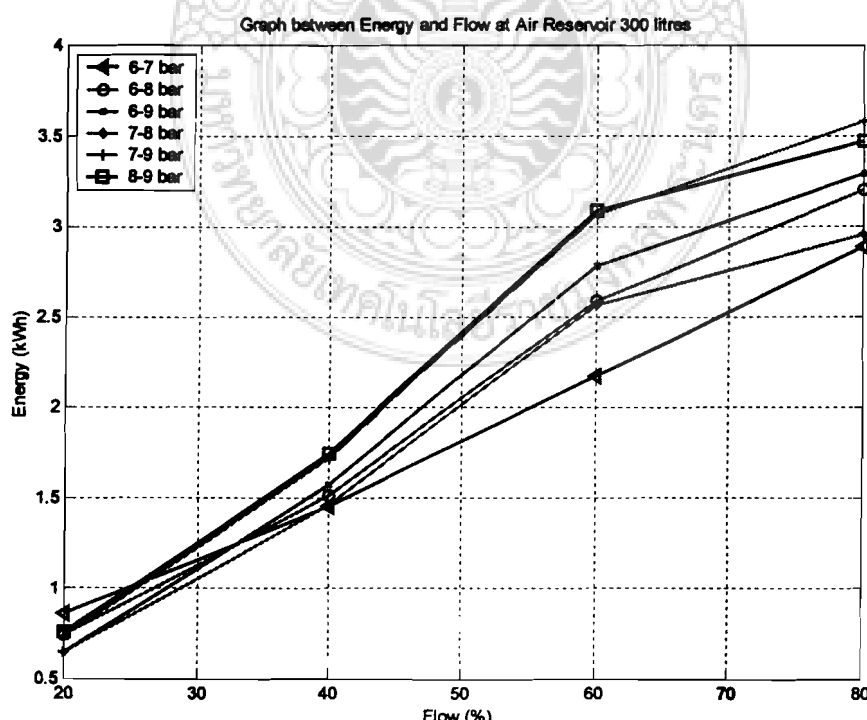
เป็นเครื่องอัดอากาศแบบถูกสูบ ใช้มอเตอร์ขนาด 4 kW ผลิตลมอัดได้ 402 LPM

2.1 การทดลองกับถังพักลมขนาด 300 ลิตร

ผลการทดลองหาค่าพลังงานไฟฟ้าของเครื่องอัดอากาศเครื่องที่ 2 กับถังพักลมขนาด 300 ลิตร ได้แสดงไว้ในตารางที่ 3.8 และแสดงเป็นกราฟความสัมพันธ์ระหว่างค่าพลังงานไฟฟ้ากับร้อยละของการใช้ปริมาณลมอัด ดังภาพที่ 3.33

ปริมาณการใช้ลมอัด (%)	ค่าพลังงานไฟฟ้าที่ความดัน /statar-th-sstop ต่างๆ (kWh)					
	6-7	6-8	6-9	7-8	7-9	8-9
20	0.8597	0.745	0.6427	0.6455	0.7323	0.7583
40	1.4587	1.5171	1.5773	1.4673	1.7233	1.7494
60	2.1726	2.5919	2.7841	2.5672	3.0643	3.0845
80	2.8858	3.1972	3.2874	2.9506	3.5777	3.4649

ตารางที่ 3.8 ผลการใช้พลังงานไฟฟ้าที่ร้อยละของการใช้งานลมอัดกับการตั้งค่าความดันต่างๆ ของเครื่องอัดอากาศเครื่องที่ 2 ถังพักลมขนาด 300 ลิตร



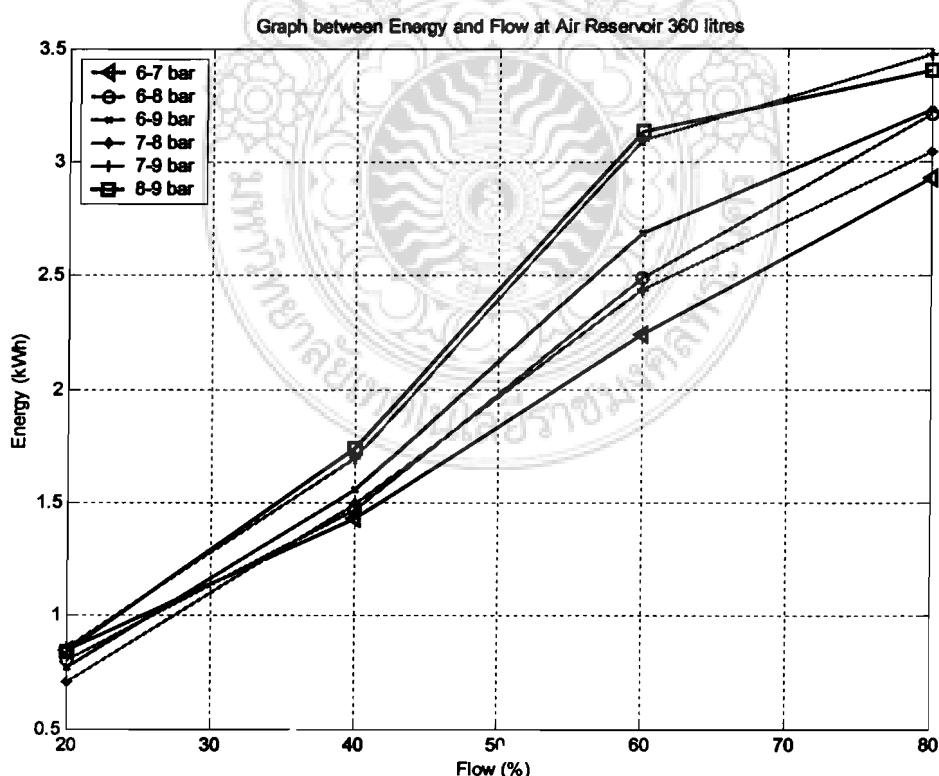
ภาพที่ 3.33 กราฟเปรียบเทียบการใช้พลังงานไฟฟ้ากับปริมาณการใช้ลมอัด ที่ความดัน สถาร์ท-สต็อป ต่างๆ ของเครื่องอัดอากาศเครื่องที่ 2 ถังพักลมขนาด 300 ลิตร

2.2 การทดลองกับถังพักลมขนาด 360 ลิตร

ผลการทดลองหาค่าพลังงานไฟฟ้าของเครื่องอัดอากาศเครื่องที่ 2 กับถังพักลมขนาด 360 ลิตร ได้แสดงไว้ในตารางที่ 3.9 และแสดงเป็นกราฟความสัมพันธ์ระหว่างค่าพลังงานไฟฟ้ากับร้อยละของการใช้ปั๊มลมอัด ดังภาพที่ 3.34

ปริมาณการใช้ลมอัด (%)	ค่าพลังงานไฟฟ้าที่ความดัน ศตวรรษ-สต็อป ต่างๆ (kWh)					
	6-7	6-8	6-9	7-8	7-9	8-9
20	0.8477	0.8022	0.7683	0.7103	0.8629	0.8411
40	1.4296	1.4688	1.5577	1.4898	1.6962	1.7418
60	2.2379	2.4877	2.688	2.4359	3.0932	3.1298
80	2.9294	3.2116	3.2296	3.0447	3.4737	3.3988

ตารางที่ 3.9 ผลการใช้พลังงานไฟฟ้าที่ร้อยละของการใช้งานลมอัดกับการตั้งค่าความดันต่างๆ ของเครื่องอัดอากาศเครื่องที่ 2 ถังพักลมขนาด 360 ลิตร



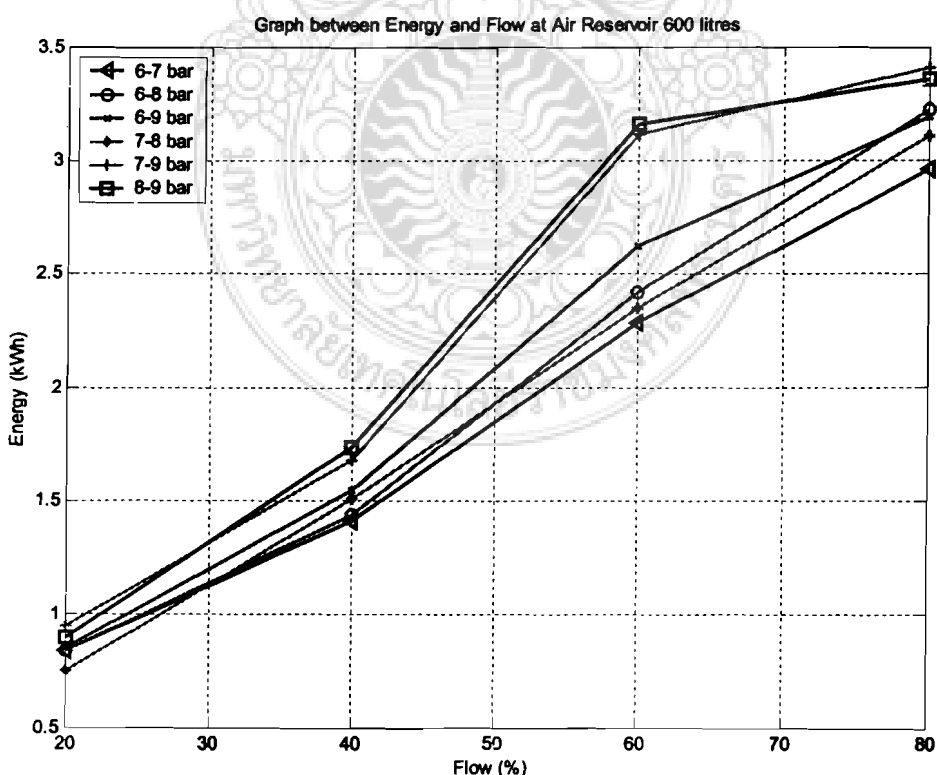
ภาพที่ 3.34 กราฟเปรียบเทียบการใช้พลังงานไฟฟ้ากับปริมาณการใช้ลมอัด ที่ความดัน ศตวรรษ-สต็อป ต่างๆ ของเครื่องอัดอากาศเครื่องที่ 2 ถังพักลมขนาด 360 ลิตร

2.3 การทดลองกับถังพักลมขนาด 600 ลิตร

ผลการทดลองหาค่าพลังงานไฟฟ้าของเครื่องอัดอากาศเครื่องที่ 2 กับถังพักลมขนาด 600 ลิตร ได้แสดงไว้ในตารางที่ 3.10 และแสดงเป็นกราฟความสัมพันธ์ระหว่างค่าพลังงานไฟฟ้ากับร้อยละของการใช้ปริมาณอัด ดังภาพที่ 3.35

ปริมาณการใช้ลมอัด (%)	ค่าพลังงานไฟฟ้าที่ความดัน ศตวรรษ-สต็อกป ต่างๆ (kWh)					
	6-7	6-8	6-9	7-8	7-9	8-9
20	0.8397	0.8404	0.8521	0.7534	0.95	0.8962
40	1.4102	1.4366	1.5447	1.5048	1.678	1.7367
60	2.2813	2.4182	2.6239	2.3484	3.1124	3.1601
80	2.9585	3.2212	3.1912	3.1075	3.4044	3.3548

ตารางที่ 3.10 ผลการใช้พลังงานไฟฟ้าที่ร้อยละของการใช้งานลมอัดกับการตั้งค่าความดันต่างๆ ของเครื่องอัดอากาศเครื่องที่ 2 ถังพักลมขนาด 600 ลิตร



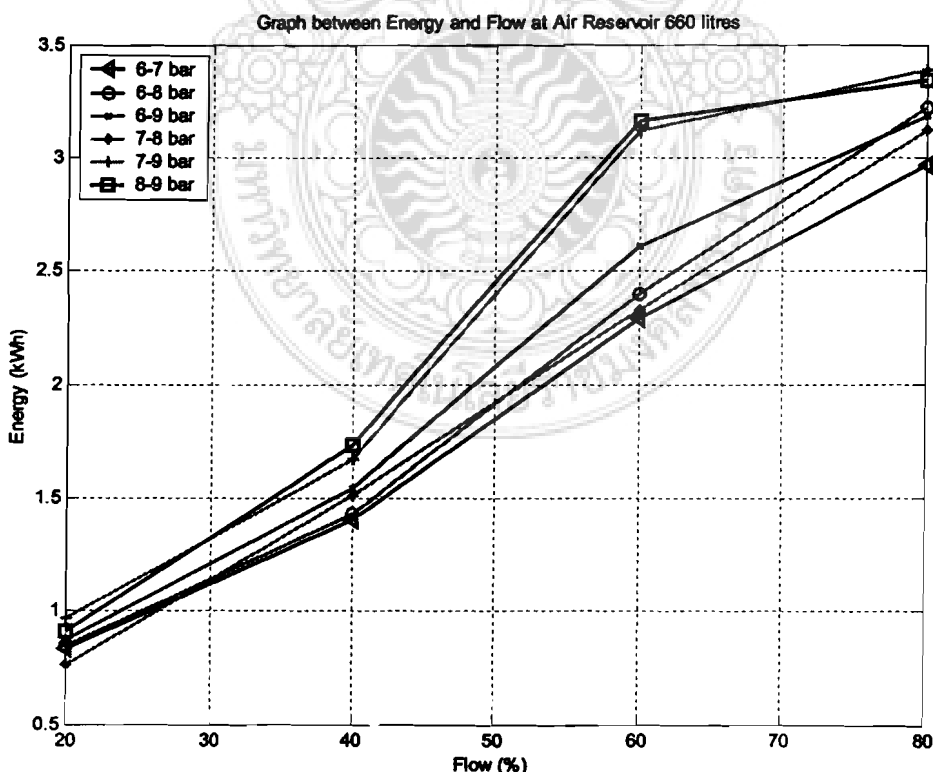
ภาพที่ 3.35 กราฟเปรียบเทียบการใช้พลังงานไฟฟ้ากับปริมาณการใช้ลมอัด ที่ความดันศตวรรษ-สต็อกป ต่างๆ ของเครื่องอัดอากาศเครื่องที่ 2 ถังพักลมขนาด 600 ลิตร

2.4 การทดลองกับถังพักลมขนาด 660 ลิตร

ผลการทดลองหาค่าพลังงานไฟฟ้าของเครื่องอัดอากาศเครื่องที่ 2 กับถังพักลมขนาด 660 ลิตร ได้แสดงไว้ในตารางที่ 3.11 และแสดงเป็นกราฟความสัมพันธ์ระหว่างค่าพลังงานไฟฟ้ากับร้อยละของการใช้ปริมาณอัด ดังภาพที่ 3.36

ปริมาณการใช้ลมอัด (%)	ค่าพลังงานไฟฟ้าที่ความดัน มาตรฐาน-สตีอป ต่างๆ (kWh)					
	6-7	6-8	6-9	7-8	7-9	8-9
20	0.8377	0.8499	0.873	0.7642	0.9717	0.91
40	1.4054	1.4285	1.5414	1.5086	1.6735	1.7354
60	2.2922	2.4008	2.6078	2.3265	3.1172	3.1677
80	2.9658	3.2236	3.1815	3.1232	3.3871	3.3438

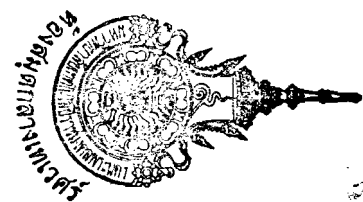
ตารางที่ 3.11 ผลการใช้พลังงานไฟฟ้าที่ร้อยละของการใช้งานลมอัดกับการตั้งค่าความดันต่างๆ ของเครื่องอัดอากาศเครื่องที่ 2 ถังพักลมขนาด 660 ลิตร



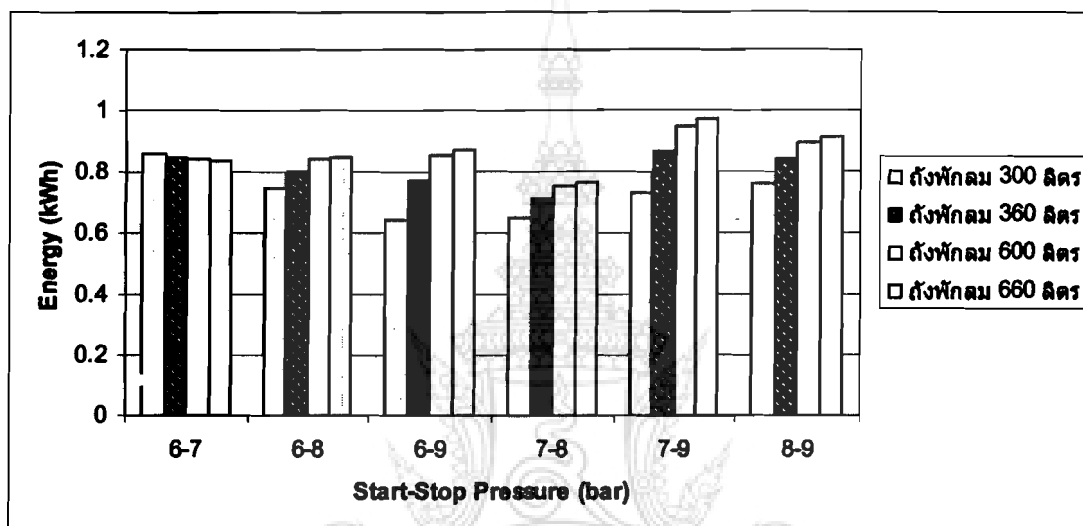
ภาพที่ 3.36 กราฟเปรียบเทียบการใช้พลังงานไฟฟ้ากับปริมาณการใช้ลมอัด ที่ความดัน มาตรฐาน-สตีอป ต่างๆ ของเครื่องอัดอากาศเครื่องที่ 2 ถังพักลมขนาด 660 ลิตร

ความคัน	ค่าพลังงานไฟฟ้าที่ร้อยละของการใช้ลมด่างๆ และขนาดถังลมทั้ง 4 ขนาด (kWh)															
	20%				40%				60%				80%			
	300 ลิตร	360 ลิตร	600 ลิตร	660 ลิตร	300 ลิตร	360 ลิตร	600 ลิตร	660 ลิตร	300 ลิตร	360 ลิตร	600 ลิตร	660 ลิตร	300 ลิตร	360 ลิตร	600 ลิตร	660 ลิตร
6-7	0.8597	0.8477	0.8397	0.8377	1.4587	1.4296	1.4102	1.4054	2.1726	2.2379	2.2813	2.2922	2.8858	2.9294	2.9585	2.9658
6-8	0.745	0.8022	0.8404	0.8499	1.5171	1.4688	1.4366	1.4285	2.5919	2.4877	2.4182	2.4008	3.1972	3.2116	3.2212	3.2236
6-9	0.6427	0.7683	0.8521	0.873	1.5773	1.5577	1.5447	1.5414	2.7841	2.688	2.6239	2.6078	3.2874	3.2296	3.1912	3.1815
7-8	0.6455	0.7103	0.7534	0.7642	1.4673	1.4898	1.5048	1.5086	2.5672	2.4359	2.3484	2.3265	2.9506	3.0447	3.1075	3.1232
7-9	0.7323	0.8629	0.95	0.9717	1.7233	1.6962	1.678	1.6735	3.0643	3.0932	3.1124	3.1172	3.5777	3.4737	3.4044	3.3871
8-9	0.7583	0.8411	0.8962	0.91	1.7494	1.7418	1.7367	1.7354	3.0845	3.1298	3.1601	3.1677	3.4649	3.3988	3.3548	3.3438

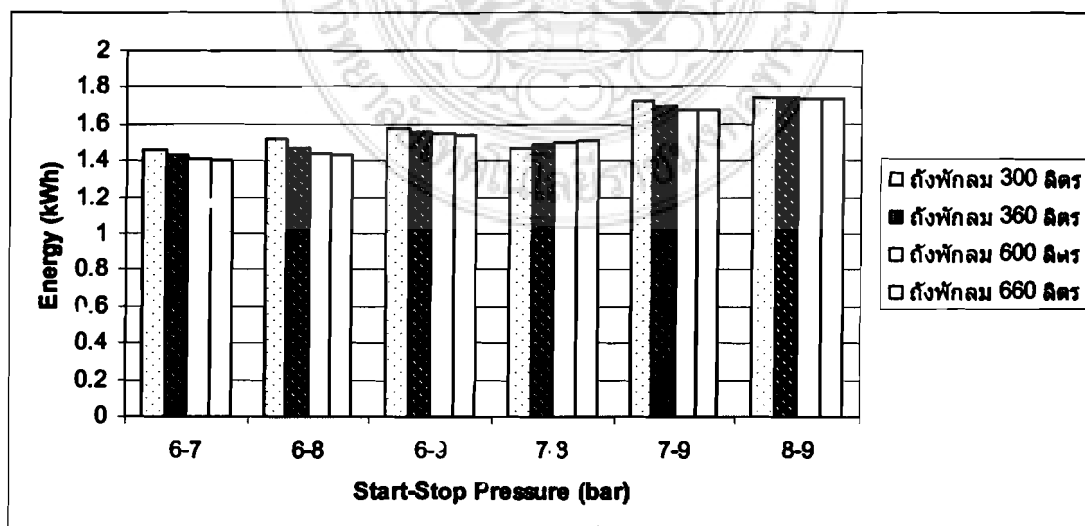
ตารางที่ 3.12 แสดงการใช้พลังงานไฟฟ้าใน 1 ชั่วโมง ของเครื่องอัดอากาศเครื่องที่ 2 ที่ร้อยละของการใช้ลมอัดและถังลมขนาดด่างๆ



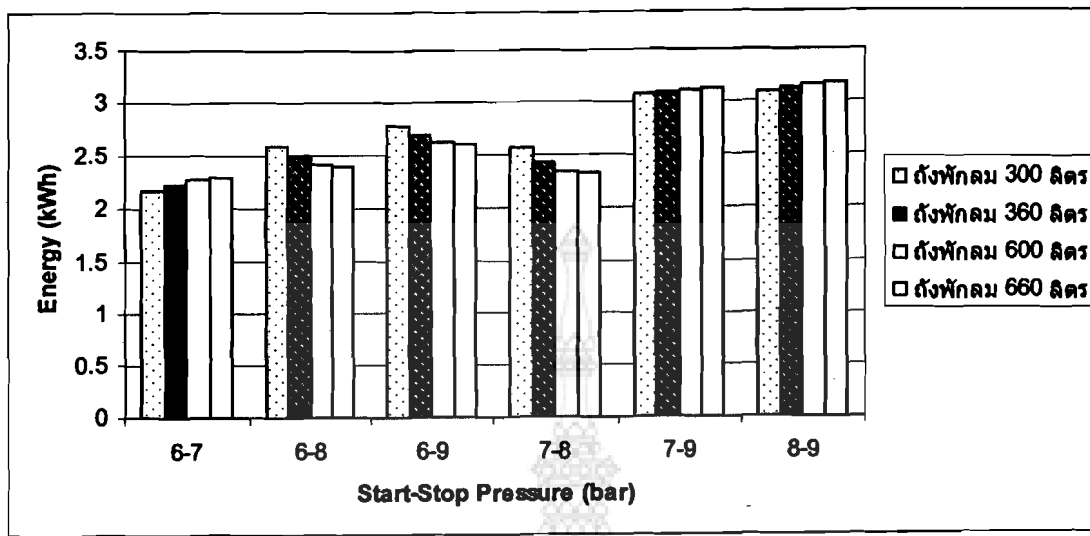
จากการทดสอบหาค่าพลังงานไฟฟ้าของเครื่องอัดอากาศเครื่องที่ 2 กับถังพักลมทั้ง 4 ขนาด คือ 300, 360, 600 และ 660 ลิตร และร้อยละของการใช้ปริมาณลมอัดต่างๆ ได้แสดงไว้ในตารางที่ 3.12 และจากตารางนี้ ได้แสดงเป็นกราฟแท่ง เพื่อเปรียบเทียบค่าพลังงานไฟฟ้าระหว่างถังพักลมทั้ง สี่ขนาด ดังภาพที่ 3.37 ถึง ภาพที่ 3.40



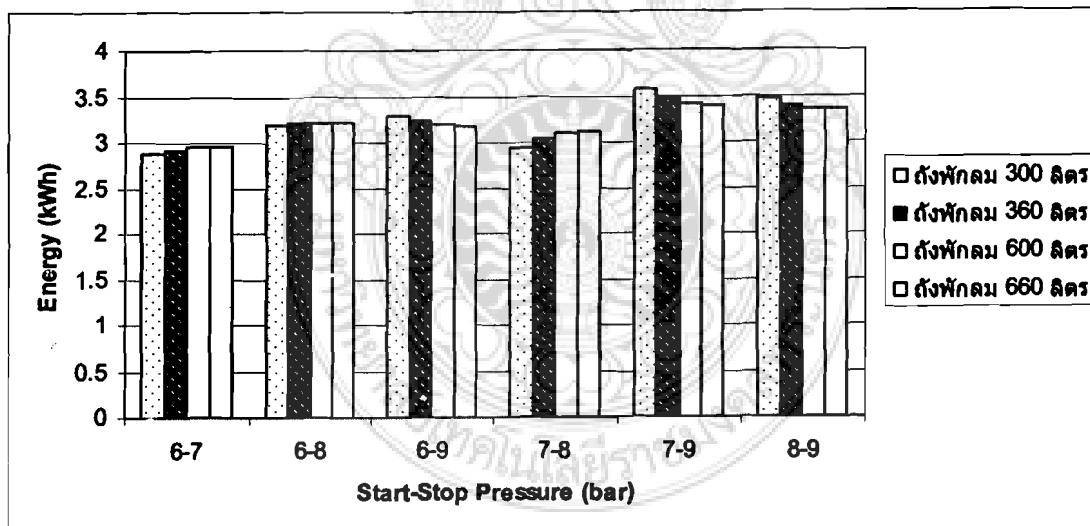
ภาพที่ 3.37 กราฟเปรียบเทียบการใช้พลังงานไฟฟ้าของเครื่องอัดอากาศเครื่องที่ 2
ที่ถังพักลมขนาดต่างๆ ปริมาณการใช้ลมอัดร้อยละ 20



ภาพที่ 3.38 กราฟเปรียบเทียบการใช้พลังงานไฟฟ้าของเครื่องอัดอากาศเครื่องที่ 2
ที่ถังพักลมขนาดต่างๆ ปริมาณการใช้ลมอัดร้อยละ 40



ภาพที่ 3.39 กราฟเปรียบเทียบการใช้พลังงานไฟฟ้าของเครื่องอัดอากาศเครื่องที่ 2
ที่ถังพักลมขนาดต่างๆ ปริมาณการใช้ลมอัตร้อยละ 60



ภาพที่ 3.40 กราฟเปรียบเทียบการใช้พลังงานไฟฟ้าของเครื่องอัดอากาศเครื่องที่ 2
ที่ถังพักลมขนาดต่างๆ ปริมาณการใช้ลมอัตร้อยละ 80

3. ผลการทดลองเครื่องอัดอากาศเครื่องที่ 3

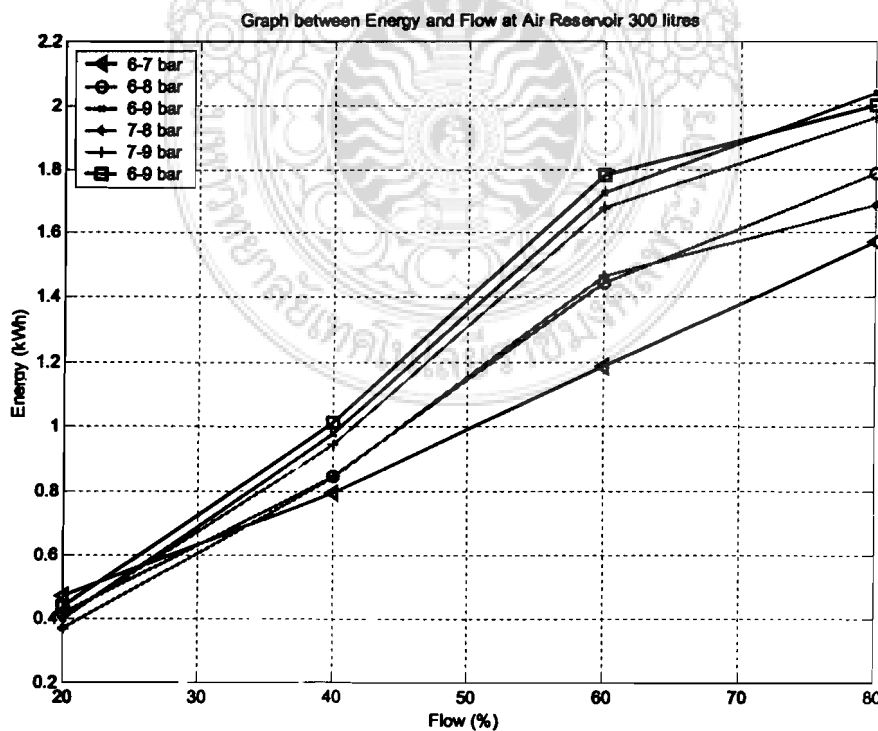
เป็นเครื่องอัดอากาศแบบถูกสูบ ใช้มอเตอร์ขนาด 2.2 kW ผลิตลมอัดได้ 246 LPM

3.1 การทดลองกับถังพักลมขนาด 300 ลิตร

ผลการทดลองหาค่าพลังงานไฟฟ้าของเครื่องอัดอากาศเครื่องที่ 3 กับถังพักลมขนาด 300 ลิตร ได้แสดงไว้ในตารางที่ 3.13 และแสดงเป็นกราฟความสัมพันธ์ระหว่างค่าพลังงานไฟฟ้ากับร้อยละของการใช้ปริมาณลมอัด ดังภาพที่ 3.41

ปริมาณการใช้ลมอัด (%)	ค่าพลังงานไฟฟ้าที่ความดัน สถานะที่-สต็อป ต่างๆ (kWh)					
	6-7	6-8	6-9	7-8	7-9	8-9
20	0.4689	0.4155	0.3984	0.3689	0.4007	0.4375
40	0.7956	0.8461	0.9779	0.8384	0.943	1.0093
60	1.1851	1.4455	1.7261	1.467	1.6767	1.7795
80	1.5741	1.7831	2.0382	1.6861	1.9576	1.999

ตารางที่ 3.13 ผลการใช้พลังงานไฟฟ้าที่ร้อยละของการใช้งานลมอัดกับการตั้งค่าความดันต่างๆ ของเครื่องอัดอากาศเครื่องที่ 3 ถังพักลมขนาด 300 ลิตร



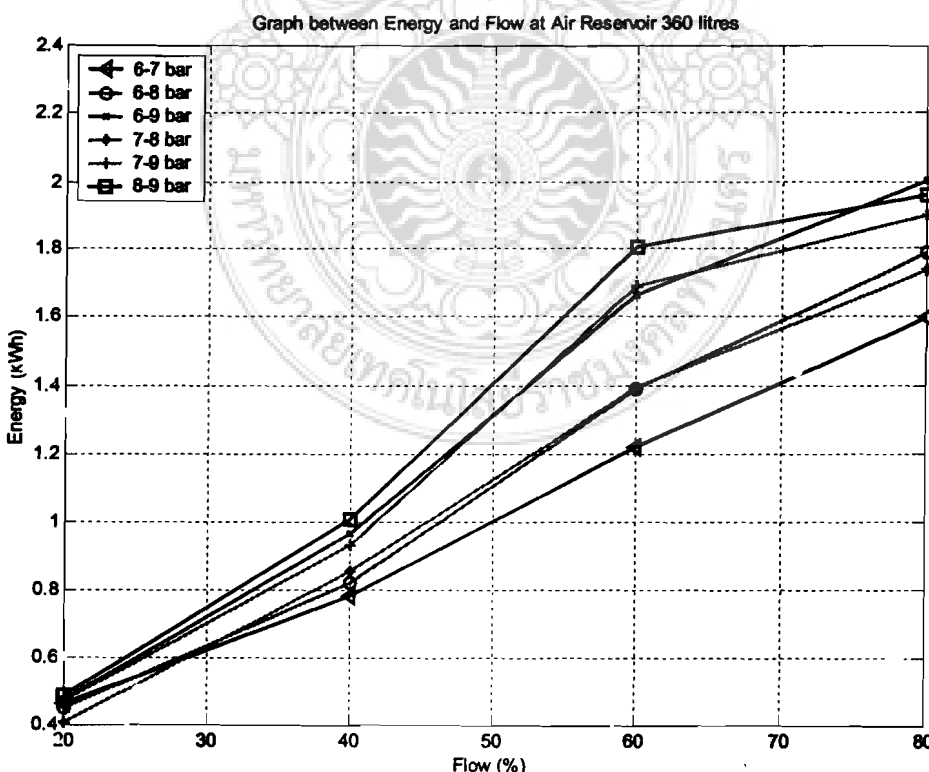
ภาพที่ 3.41 กราฟเปรียบเทียบการใช้พลังงานไฟฟ้ากับปริมาณการใช้ลมอัด ที่ความดัน สถานะที่-สต็อป ต่างๆ ของเครื่องอัดอากาศเครื่องที่ 3 ถังพักลมขนาด 300 ลิตร

3.2 การทดลองกับถังพักลมขนาด 360 ลิตร

ผลการทดลองหาค่าพลังงานไฟฟ้าของเครื่องอัคตอากาศเครื่องที่ 3 กับถังพักลมขนาด 360 ลิตร ได้แสดงไว้ในตารางที่ 3.14 และแสดงเป็นกราฟความสัมพันธ์ ระหว่างค่าพลังงานไฟฟ้ากับร้อยละของการใช้ปริมาณลมอัด ดังภาพที่ 3.42

ปริมาณการใช้ลมอัด (%)	ค่าพลังงานไฟฟ้าที่ความดัน สตาร์ท-สต็อป ต่างๆ (kWh)					
	6-7	6-8	6-9	7-8	7-9	8-9
20	0.4624	0.4474	0.4764	0.4059	0.4722	0.4852
40	0.7798	0.8191	0.9658	0.8513	0.9281	1.0049
60	1.2206	1.3874	1.6665	1.3919	1.6925	1.8057
80	1.5979	1.7911	2.0024	1.7399	1.9007	1.9609

ตารางที่ 3.14 ผลการใช้พลังงานไฟฟ้าที่ร้อยละของการใช้งานลมอัดกับการตั้งค่าความดันต่างๆ ของเครื่องอัคตอากาศเครื่องที่ 3 ถังพักลมขนาด 360 ลิตร



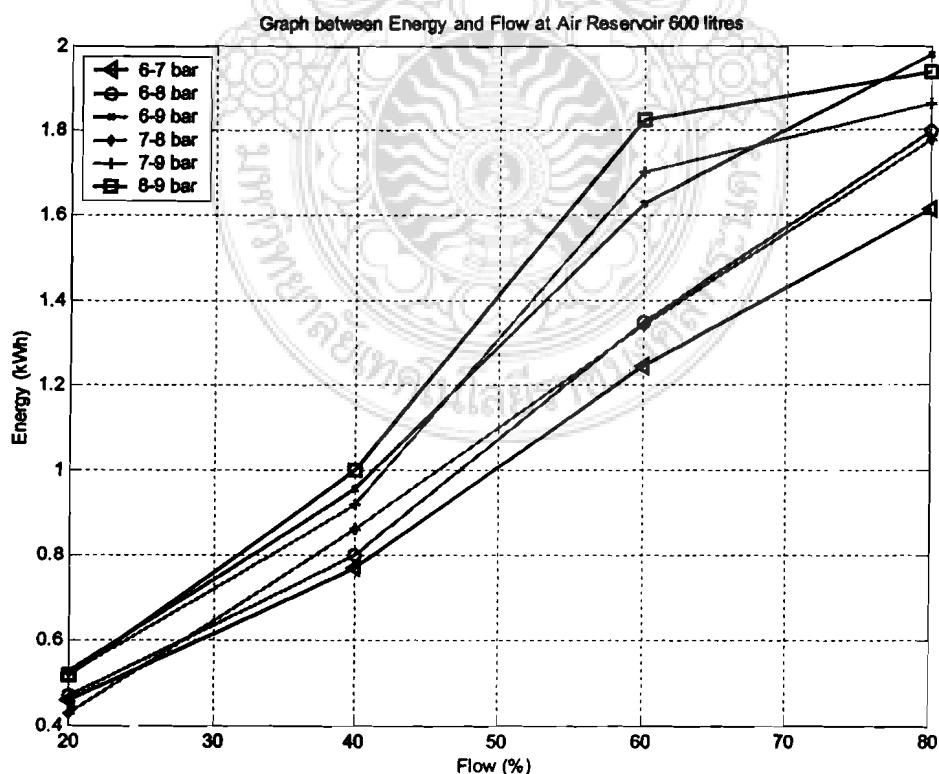
ภาพที่ 3.42 กราฟเปรียบเทียบการใช้พลังงานไฟฟ้ากับปริมาณการใช้ลมอัด ที่ความดัน สตาร์ท-สต็อป ต่างๆ ของเครื่องอัคตอากาศเครื่องที่ 3 ถังพักลมขนาด 360 ลิตร

3.3 การทดลองกับถังพักลมขนาด 600 ลิตร

ผลการทดลองหาค่าพลังงานไฟฟ้าของเครื่องอัดอากาศเครื่องที่ 3 กับถังพักลมขนาด 600 ลิตร ได้แสดงไว้ในตารางที่ 3.15 และแสดงเป็นกราฟความสัมพันธ์ระหว่างค่าพลังงานไฟฟ้ากับร้อยละของการใช้ปริมาณอัด ดังภาพที่ 3.43

ปริมาณการใช้ลมอัด (%)	ค่าพลังงานไฟฟ้าที่ความดัน ศาร์ท-สต็อป ต่างๆ (kWh)					
	6-7	6-8	6-9	7-8	7-9	8-9
20	0.458	0.4687	0.5283	0.4305	0.5198	0.5171
40	0.7692	0.8012	0.9577	0.8599	0.9182	1.0019
60	1.2444	1.3486	1.6268	1.3419	1.703	1.8231
80	1.6137	1.7964	1.9785	1.7757	1.8628	1.9355

ตารางที่ 3.15 ผลการใช้พลังงานไฟฟ้าที่ร้อยละของการใช้งานลมอัดกับการตั้งค่าความดันต่างๆ ของเครื่องอัดอากาศเครื่องที่ 3 ถังพักลมขนาด 600 ลิตร



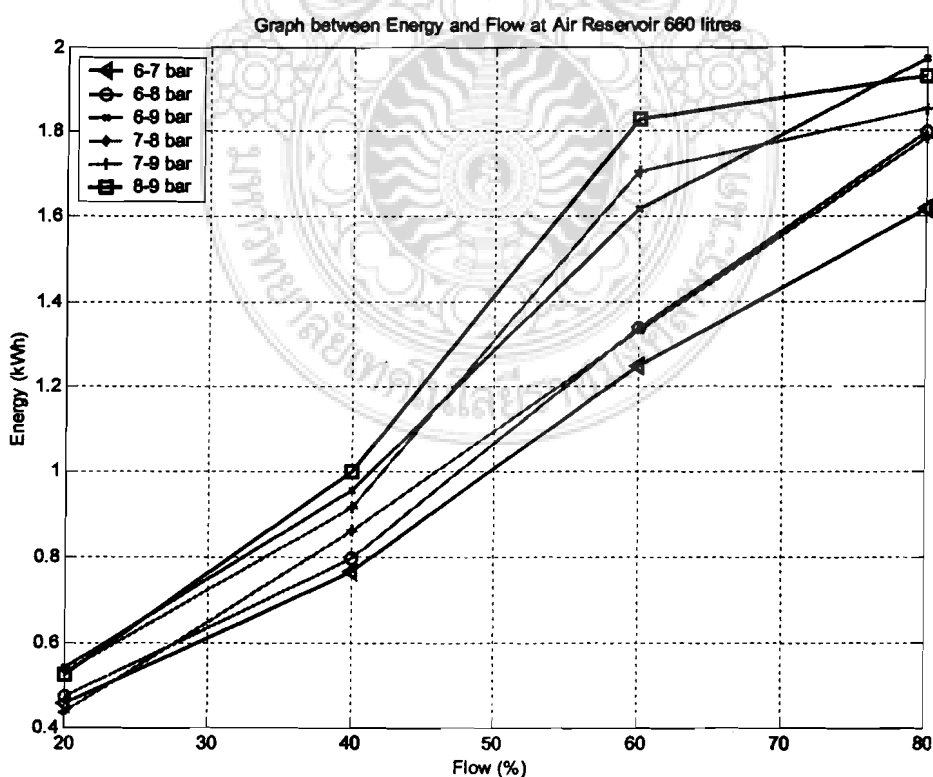
ภาพที่ 3.43 กราฟเปรียบเทียบการใช้พลังงานไฟฟ้ากับปริมาณการใช้ลมอัด ที่ความดัน ศาร์ท-สต็อป ต่างๆ ของเครื่องอัดอากาศเครื่องที่ 3 ถังพักลมขนาด 600 ลิตร

3.4 การทดลองกับถังพักลมขนาด 660 ลิตร

ผลการทดลองหาค่าพลังงานไฟฟ้าของเครื่องอัดอากาศเครื่องที่ 3 กับถังพักลมขนาด 660 ลิตร ได้แสดงไว้ในตารางที่ 3.16 และแสดงเป็นกราฟความสัมพันธ์ ระหว่างค่าพลังงานไฟฟ้ากับร้อยละของการใช้ปริมาณลมอัด ดังภาพที่ 3.44

ปริมาณการใช้ลมอัด (%)	ค่าพลังงานไฟฟ้าที่ความดัน ศตวรรษ-สต็อก ต่างๆ (kWh)					
	6-7	6-8	6-9	7-8	7-9	8-9
20	0.457	0.474	0.5413	0.4367	0.5317	0.525
40	0.7666	0.7967	0.9557	0.8621	0.9157	1.0012
60	1.2503	1.3389	1.6169	1.3294	1.7057	1.8275
80	1.6177	1.7978	1.9725	1.7847	1.8533	1.9291

ตารางที่ 3.16 ผลการใช้พลังงานไฟฟ้าที่ร้อยละของการใช้งานลมอัดกับการตั้งค่าความดันต่างๆ ของเครื่องอัดอากาศเครื่องที่ 3 ถังพักลมขนาด 660 ลิตร

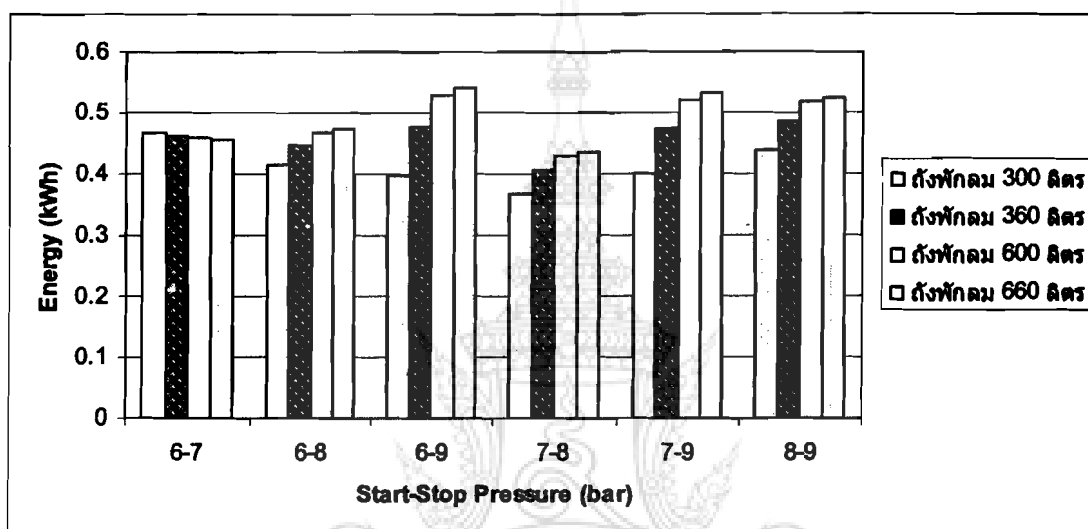


ภาพที่ 3.44 กราฟเปรียบเทียบการใช้พลังงานไฟฟ้ากับปริมาณการใช้ลมอัด ที่ความดัน ศตวรรษ-สต็อก ต่างๆ ของเครื่องอัดอากาศเครื่องที่ 3 ถังพักลมขนาด 660 ลิตร

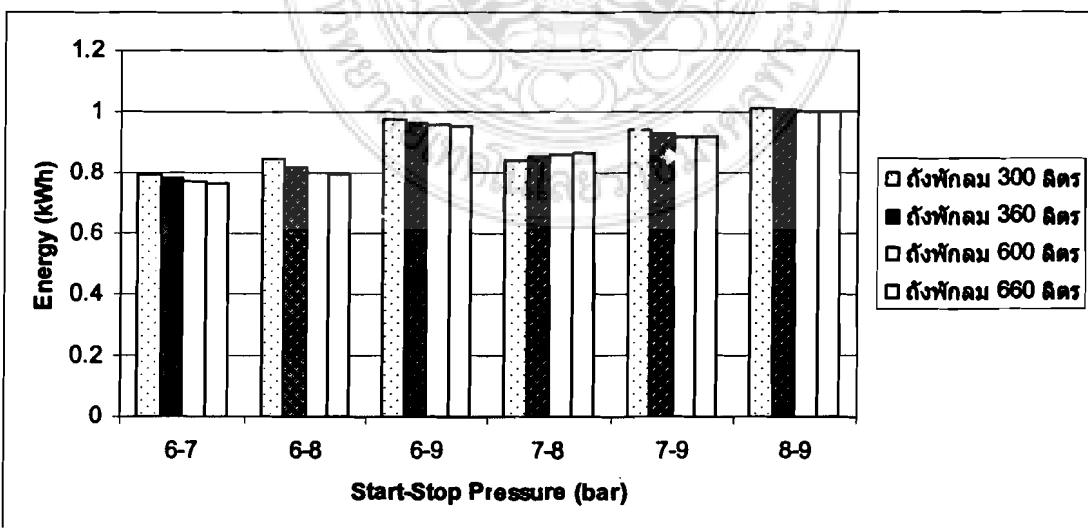
ความคัน	ค่าพลังงานไฟฟ้าที่ร้อยละของการใช้ลมต่างๆ และขนาดถังลมทั้ง 4 ขนาด (kWh)															
	20%				40%				60%				80%			
	300 ลิตร	360 ลิตร	600 ลิตร	660 ลิตร	300 ลิตร	360 ลิตร	600 ลิตร	660 ลิตร	300 ลิตร	360 ลิตร	600 ลิตร	660 ลิตร	300 ลิตร	360 ลิตร	600 ลิตร	660 ลิตร
6-7	0.4689	0.4624	0.458	0.457	0.7956	0.7798	0.7692	0.7666	1.1851	1.2206	1.2444	1.2503	1.5741	1.5979	1.6137	1.6177
6-8	0.4155	0.4474	0.4687	0.474	0.8461	0.8191	0.8012	0.7967	1.4455	1.3874	1.3486	1.3389	1.7831	1.7911	1.7964	1.7978
6-9	0.3984	0.4764	0.5283	0.5413	0.9779	0.9658	0.9577	0.9557	1.7261	1.6665	1.6268	1.6169	2.0382	2.0024	1.9785	1.9725
7-8	0.3689	0.4059	0.4305	0.4367	0.8384	0.8513	0.8599	0.8621	1.467	1.3919	1.3419	1.3294	1.6861	1.7399	1.7757	1.7847
7-9	0.4007	0.4722	0.5198	0.5317	0.943	0.9281	0.9182	0.9157	1.6767	1.6925	1.703	1.7057	1.9576	1.9007	1.8628	1.8533
8-9	0.4375	0.4852	0.5171	0.525	1.0093	1.0049	1.0019	1.0012	1.7795	1.8057	1.8231	1.8275	1.999	1.9609	1.9355	1.9291

ตารางที่ 3.17 แสดงการใช้พลังงานไฟฟ้าใน 1 ชั่วโมง ของเครื่องอัดอากาศเครื่องที่ 3 ที่ร้อยละของการใช้ลมอัดและถังลมขนาดต่างๆ

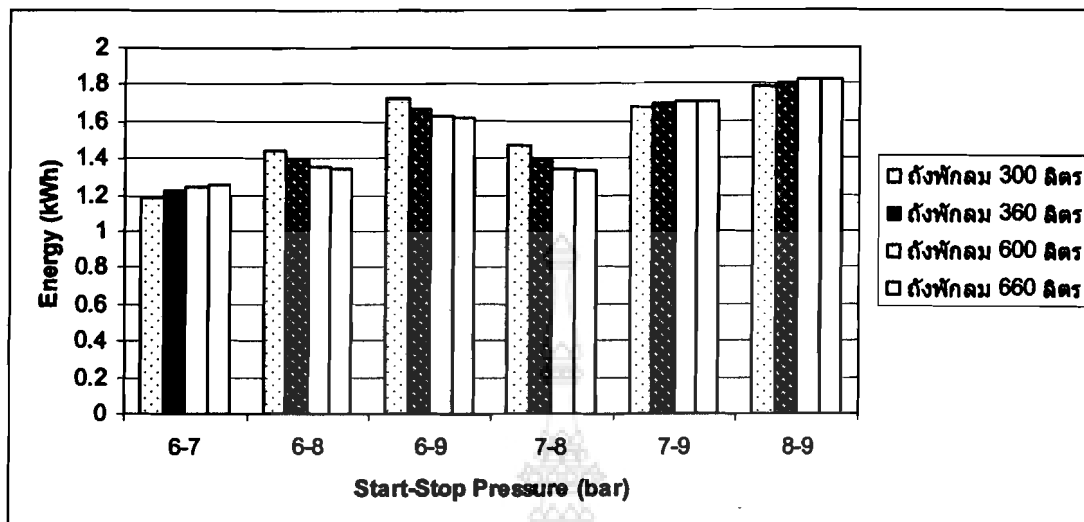
จากการทดลองหาค่าพลังงานไฟฟ้าของเครื่องอัดอากาศเครื่องที่ 3 กับถังพักลมทั้ง 4 ขนาด คือ 300, 360, 600 และ 660 ลิตร และร้อยละของการใช้ปริมาณลมอัตราต่างๆ ได้แสดงไว้ในตารางที่ 3.17 และจากตารางนี้ ได้แสดงเป็นกราฟแท่ง เพื่อเปรียบเทียบค่าพลังงานไฟฟ้าระหว่างถังพักลมทั้ง สี่ ขนาด ดังภาพที่ 3.45 ถึง ภาพที่ 3.48



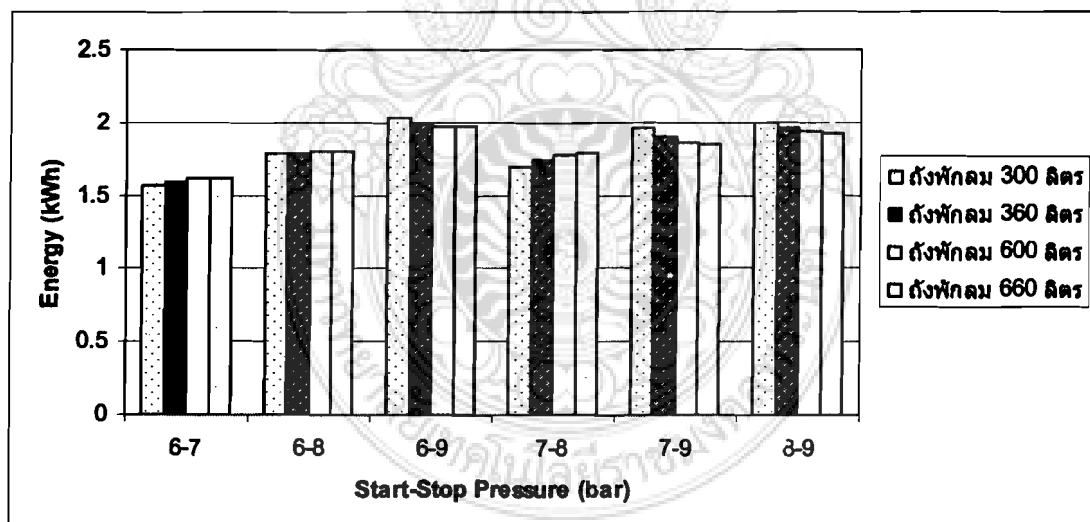
ภาพที่ 3.45 กราฟเปรียบเทียบการใช้พลังงานไฟฟ้าของเครื่องอัดอากาศเครื่องที่ 3
ที่ถังพักลมขนาดต่างๆ ปริมาณการใช้ลมอัตราต่อ 20



ภาพที่ 3.46 กราฟเปรียบเทียบการใช้พลังงานไฟฟ้าของเครื่องอัดอากาศเครื่องที่ 3
ที่ถังพักลมขนาดต่างๆ ปริมาณการใช้ลมอัตราต่อ 40



ภาพที่ 3.47 graaph เปรียบเทียบการใช้พลังงานไฟฟ้าของเครื่องอัดอากาศเครื่องที่ 3
ที่ถังพักลมขนาดต่างๆ ปริมาณการใช้ลมอัตรา 60



ภาพที่ 3.48 graaph เปรียบเทียบการใช้พลังงานไฟฟ้าของเครื่องอัดอากาศเครื่องที่ 3
ที่ถังพักลมขนาดต่างๆ ปริมาณการใช้ลมอัตรา 80

สรุปและข้อเสนอแนะ

สรุป

จากการทดลองหาค่าการใช้พลังงานไฟฟ้าของเครื่องอัดอากาศ ที่ใช้นมเตอร์ไฟฟ้าแบบ 3 เฟส เป็นแหล่งต้นกำลังในการขับเครื่องอัดอากาศนั้น พบว่า เครื่องอัดอากาศทั้ง 3 เครื่อง ให้ผลการทดลองที่เป็นไปในทิศทางเดียวกัน คือ หากพิจารณาจากภาพในภาพที่ 3.25, 3.26, 3.27 และ 3.28 ซึ่งเป็นผลการทดลองของเครื่องอัดอากาศเครื่องที่ 1 จะพบว่าที่การตั้งค่าความดัน ศัตรูที่สต็อป 6-7 บาร์ นั้นจะใช้พลังงานไฟฟ้าน้อยที่สุด และเมื่อพิจารณาภาพที่ 3.33, 3.34, 3.35 และ 3.36 ของเครื่องอัดอากาศเครื่องที่ 2 และภาพที่ 3.41, 3.42, 3.43 และ 3.44 ของเครื่องอัดอากาศ เครื่องที่ 3 จะเห็นว่าให้ผลเหมือนกับเครื่องอัดอากาศเครื่องที่ 1 คือ ที่ความดัน ศัตรูที่ 6 บาร์ และ สต็อป 7 บาร์ ใช้พลังงานไฟฟ้าน้อยที่สุดเช่นกัน

พิจารณา ภาพที่ 3.29, 3.30, 3.31 และ 3.32 ซึ่งเป็นกราฟเบรย์นเทียบขนาดของถังพักลม กับการใช้พลังงานไฟฟ้า ที่ความดัน ศัตรูที่สต็อป ต่างๆ ของเครื่องอัดอากาศเครื่องที่ 1 ภาพที่ 3.37, 3.38, 3.39 และ 3.40 ของเครื่องอัดอากาศเครื่องที่ 2 และ ภาพที่ 3.45, 3.46, 3.47 และ 3.48 ของเครื่องอัดอากาศเครื่องที่ 3 พบว่า ที่ความดัน ศัตรูที่ 6 บาร์ และความดัน สต็อป 7 บาร์ นั้นมีอ เทียบกับการใช้ปริมาณลมอัตร้อยละ 20 และร้อยละ 40 ขนาดของถังพักลมที่ใหญ่ขึ้นจะช่วยให้ ประหยัดพลังงานไฟฟ้ามากกว่าถังพักลมขนาดเด็กกว่า และเมื่อเทียบกับการใช้ปริมาณลมอัตร้อยละ 60 และร้อยละ 80 กลับให้ผลตรงข้ามกันคือถังพักลมที่ใหญ่ขึ้นกลับใช้พลังงานไฟฟ้ามากกว่า ถังพักลมขนาดเด็ก สาเหตุเป็น เพราะว่าที่ปริมาณการใช้ลมอัตร้อยละ 20 และร้อยละ 40 นั้นช่วงการ ทำงานของนมเตอร์จะสั้นกว่าที่ปริมาณการใช้ลมอัตร้อยละ 60 และร้อยละ 80 และหากพิจารณาที่ ปริมาณการใช้ลมอัตร้อยละ 20 หากตั้งความดัน สต็อป สูงกว่า 7 บาร์ ถังพักลมที่ใหญ่ขึ้นจะใช้ พลังงานไฟฟ้ามากขึ้น เพราะว่าความดัน สต็อป ที่สูงขึ้นทำให้ต้องใช้เวลาในการสะสมความดันใน ถังพักลมนานนานขึ้น จึงเป็นสาเหตุให้มอเตอร์ทำงานนานขึ้นนั่นเอง

ในภาคอุตสาหกรรมนั้นส่วนใหญ่จะใช้ปริมาณลมอัตรามากกว่าร้อยละ 60 ขึ้นไป และหาก พิจารณาผลการทดลอง ที่การใช้ปริมาณลมอัตร้อยละ 60 และร้อยละ 80 พบว่า ที่ความดัน สต็อป มากกว่า 8 บาร์ ถังพักลมขนาดใหญ่กว่าจะมีผลให้การใช้พลังงานไฟฟ้า น้อยกว่า ทั้งนี้คงเป็นสาเหตุ มาจาก การทดลองนี้ได้ใช้เวลาทดลองแค่ 1 ชั่วโมง ต่อ 1 กรณี ทำให้ผลการทดลองที่ได้คือ นมเตอร์ ทำงานตลอดเวลา ทั้ง 1 ชั่วโมง ซึ่งที่ถังพักลมขนาด 300 ลิตร ความดันสะสมในถังพักลมที่ทำได้อยู่ที่ประมาณ 8.7 บาร์ และที่ถังพักลมขนาด 660 ลิตร ความดันสะสมในถังพักลมจะอยู่ที่ประมาณ

8.2 นาร์ ความคันที่ต่างกันนี้มีผลให้การใช้กำลังของมอเตอร์ต่างกันด้วย กล่าวคือ ความคันยิ่งสูง 摹 เดอร์ก็จะใช้กำลังไฟฟ้ามากขึ้นเป็นสัดส่วนต่อ กัน แต่หากทำการทดลองโดยใช้เวลามากกว่า 1 ชั่วโมง ถังพักลมที่มีขนาดเล็กกว่าอาจจะล่งผลให้มอเตอร์ใช้พลังงานไฟฟ้าน้อยกว่าได้ เนื่องจากว่า ถังพักลมขนาดเล็กมีโอกาสทำให้เกิดการสต๊อป ของมอเตอร์มากกว่า ถังพักลมขนาดใหญ่

ข้อเสนอแนะ

การทดลองของงานวิจัยนี้ มีข้อผิดพลาดอยู่บางประการ คือ การปรับตั้งอัตราการใช้ปริมาณ ลมอัตโนมัติ ที่ว่าล้วนควบคุมอัตราการไหล (อุปกรณ์หมายเลข 9 รูปที่ 2.9) เป็นการปรับตัวยมือของผู้ทำการทดลอง แล้วอ่านค่าอัตราการไหล ซึ่งอุปกรณ์วัดอัตราการไหลเองแสดงผลแบบสากล (อุปกรณ์หมายเลข 6 รูปที่ 2.9) จึงทำให้การทดลองแต่ละครั้งของ การทดลองมีการปรับตั้งอัตราการไหลที่ไม่เท่ากันได้ และสาเหตุอีกประการหนึ่งก็คือ อัตราการไหลของลมอัตโนมัตินี้อยู่กับความดันสะสนใน ถังพักลม เมื่อความดันสูงขึ้นอัตราการไหลก็จะสูงขึ้นตามไปด้วย ทำให้ผู้ทำการทดลองต้องพยายามปรับว่าล้วนควบคุมอัตราการไหลอยู่บ่อยๆ ด้วยสาเหตุนี้จึงทำให้เกิดความผิดพลาดขึ้น

ทางคณะผู้ทำการวิจัยจึงมีข้อเสนอแนะว่า หากมีผู้ใดจะทำการทดลองในเรื่องนี้คือ ควรเปลี่ยนว่าล้วนควบคุมอัตราการไหล (อุปกรณ์หมายเลข 9 รูปที่ 2.9) เป็นแบบ พร้อมปอร์ชันน้ำว้าส์ (Proportional Valve) และควรใช้เซ็นเซอร์วัดอัตราการไหลแบบอนามัยก์ เพื่อทำการควบคุมแบบวงปีก (Close loop control) และใช้ตัวควบคุมแบบ PID (PID Controller) ควบคุม จะทำให้ได้ผลการทดลองที่แม่นยำมากยิ่งขึ้น

เอกสารและสิ่งของ

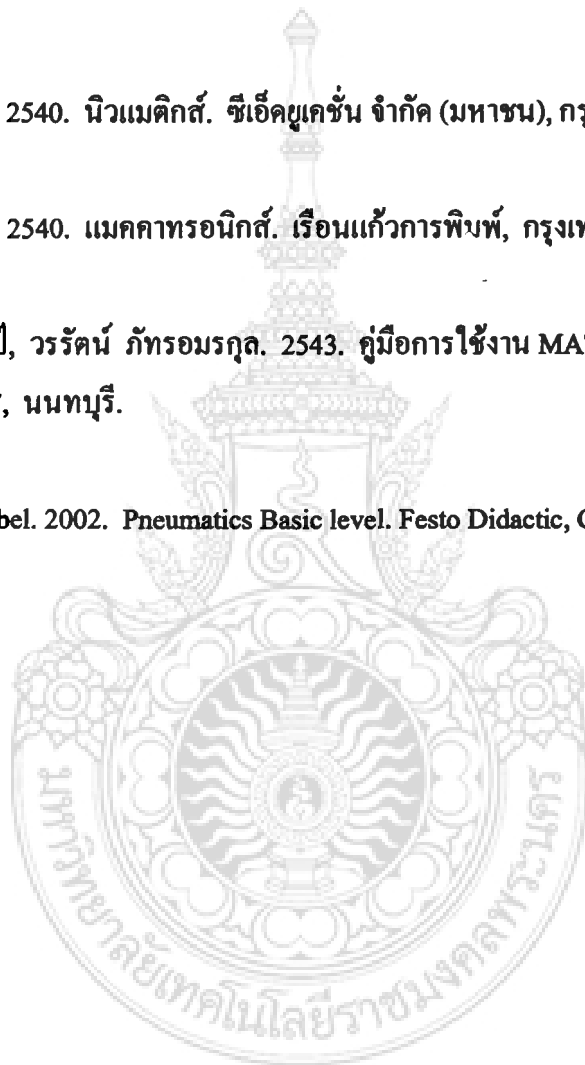
ปานเพชร ชินนิทร, ขวัญชัย สินทรัพย์สมบูรณ์. 2539. นิวแมติกอุตสาหกรรม. ซีเอ็คบูเกชั่น จำกัด (มหาชน), กรุงเทพฯ.

ประวิตร ลินประวัฒนะ. 2540. นิวแมติกส์. ซีเอ็คบูเกชั่น จำกัด (มหาชน), กรุงเทพฯ.

พรจิต ประทุมสุวรรณ. 2540. แมคคาทรอนิกส์. เรือนแก้วการพิมพ์, กรุงเทพฯ.

รศ.ดร. มนัส สังวรศิลป์, วรรตน์ กัทรอນรุกล. 2543. คู่มือการใช้งาน MATLAB ฉบับสมบูรณ์. สำนักพิมพ์ อินไฟเพรส, นนทบุรี.

Peter Croser, Frank Ebel. 2002. Pneumatics Basic level. Festo Didactic, Germany.







PM130 Series TRUTHMETER™

The Low Cost Analog Replacement

Model PM130
Volts, Amps, Frequency

Model PM130P - Power

Model PM130E - Energy

Model PM130EH
Harmonics Distortion

SATEC *Powerful Solutions*

CE

CHOICE OF **TRUEMETER™ MODELS**

Model PM130
Basic Voltage, Current and Frequency

Model PM130P
Adds Power

Model PM130E
Adds Energy

Percent-of-Load Circular Bar Graph (Mimics Analog Meter Needle)

3 Phase-At-Once Bright LED Display

- Fully Visible in Bright Sunlight
- Also settable for Automatic Backlight

Min/Max Measurements

- Max. Volts per phase
- Min. Volts per phase
- Max. Amps Demand per phase

Real Time Measurements

- Voltage L-L
- Voltage L-N per phase
- Current per phase
- Neutral Current
- Frequency
- Power Factor
- Active Power
- Reactive Power
- Apparent Power
- Per Phase: kW, kvar, kVA, PF
- Voltage Unbalance
- Current Unbalance

Status Information

- Phase Rotation
- Relay Status
- Counters
- TXD, RXD Communication

Real Time Measurements

- Voltage L-L
- Voltage L-N per phase
- Current per phase
- Neutral Current
- Frequency
- Power Factor
- Active Power
- Reactive Power
- Apparent Power
- Per Phase: kW, kvar, kVA, PF
- Voltage Unbalance
- Current Unbalance

Min/Max Measurements

- Max. Volts per phase
- Min. Volts per phase
- Max. Amps per phase
- Min. Amps per phase
- Max. Neutral Amps
- Min. Neutral Amps
- Max. Hz
- Min. Hz
- Max. PF
- Min. PF
- Max. kW
- Min. kW
- Max. kvar
- Min. kvar
- Max. KVA
- Min. KVA
- Max. Volts Demand per phase
- Max. Amps Demand per phase
- Max. KW Demand (E)
- Max. KVA Demand (E)

Measurement

- True RMS measurement
- Fast, real-time, cycle by cycle measurement, at 32 samples per cycle. Average values over 8, 16, 32 or 41 real-time values
- Choice of models ranging from basic voltage, current, and frequency, to up to over 80 electrical parameters locally and over 100 electrical parameters via RS-485
- Four-Quadrant readings (power, power factor)
- Min/Max values (instantaneous & demand)

Relay Output

- Optional alarm relay with programmable setpoint triggers and communication command
- Energy pulsing output (Wh, varh, VAh) (PM130E)

Communications

- RS-485 Communications standard
- MODBUS/ASCII/DNP3.0 protocols
- Assignable Registers allow the user via MODBUS or DNP3.0 protocols to determine what is transmitted via communication. This allows choice of measurements and reduces the need to program multiple registers per meter

Installation & Connections

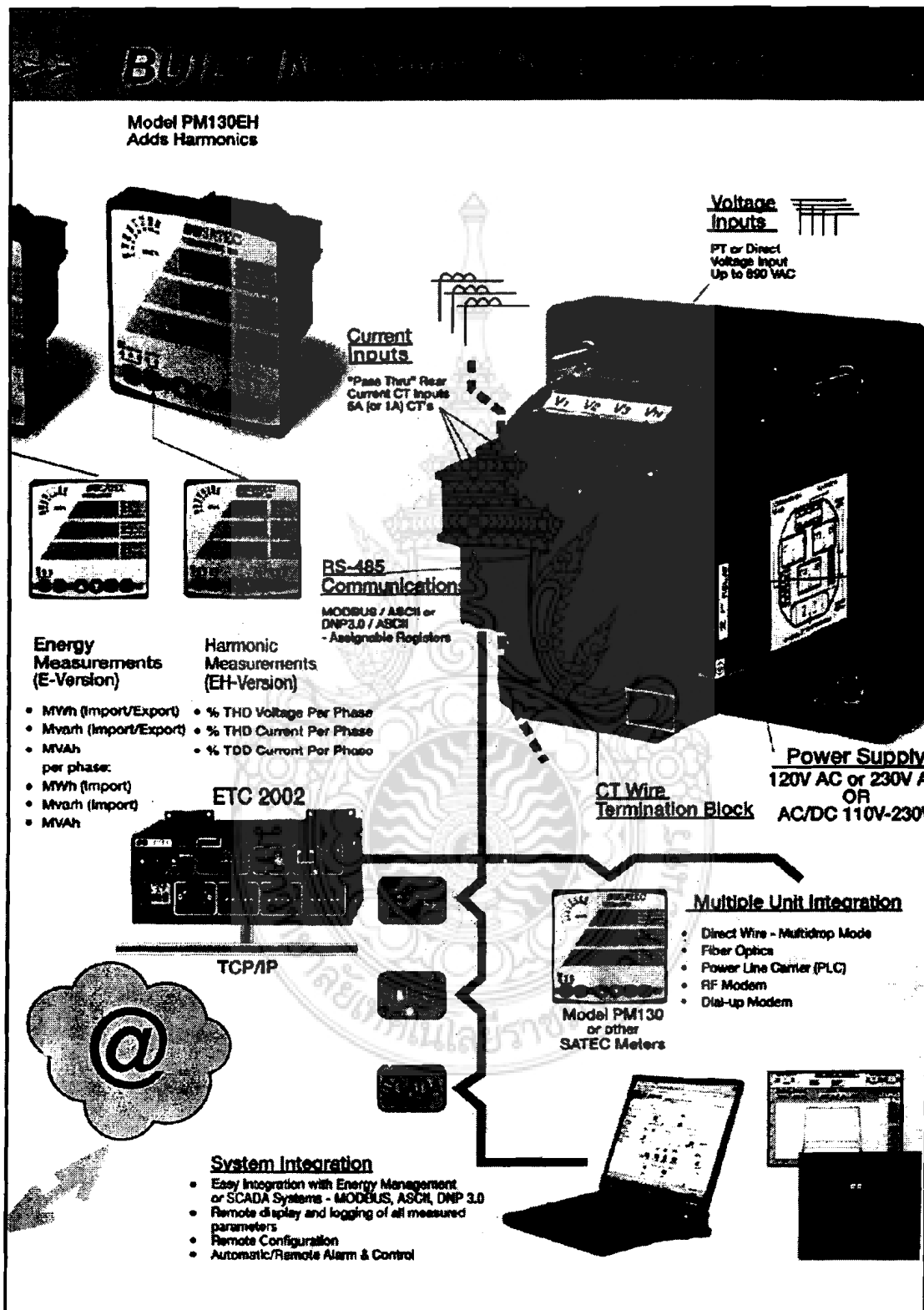
- Single model accepts all wiring configurations
- Mounting standard to both 4-inch round meter and 63mm standard square DIN cutouts
- 690 Volt or PT input Unique "Pass Thru" Rear Current CT Inputs for easy connection and low burden
- User settable PT and CT ratios

Front Panel Display

- Simultaneous 3 parameter bright LED display, fully visible in bright sunlight
- Percent-of-load LED bar graph, analog mimics meter needle
- Energy reading to 6 digits (for kilo and mega)
- Menu driven configuration setup
- Password protection

**expert
POWER™**

ExpertPower empowers you with increased energy management capability and improved reliability. Receive on-line, via the Internet, reports, graphs and billing generation, identify and solve problems in real time.



DIGITAL DISPLAY AND PROGRAMMING

Front Panel Multi-Parameter Local Display

- 3 Bright LED Displays for High Visibility - even in full sunlight
- 3-Phase-A-Once for Quick Phase Balance Assessment
- Adjustable Display Update Time - from a fast 0.1 sec. to 10.0 sec.
- Push Button Multi-Parameter Display also Settable for Automatic Scrolling with Adjustable Scroll Time
- 5 Digit Energy Reading (E,EH version)
- Percent-Of-Load LED Bar Graph - Programmable - Mimics Analog Meter Needle

Relay Output

16 Programmable Alarm / Event Setpoints - More than just a Relay Output

Independent Operate & Release Limits
Independent Operate & Release Time Delays

- Multiple Choice of Actions:
 - Close / Open Relays
 - Increment / Clear Counters

Event/Alarm Set Points Programming

On-Line Monitoring

Basic Setup

POWERTREND SOFTWARE (Optional)

"POWERTREND" is data acquisition software for straightforward and efficient data collection from SATEC Powermeters. "POWERTREND" provides measurements data collection from up to 32 remote Powermeters and stores them in files for later recall and use in a spreadsheet program such as Microsoft Access or Excel. Raw data is automatically processed and can be presented in tabular or graphical form for analysis of trends in consumption

Menu Driven Local Set Up

- Wiring Configuration
- PT & CT Settings
- Programmable Communications
- Local Max. Demands and Energy Reset
- Disable / Enable Local Reset
- Password Protection
- Alarm / Event Setpoints
- Display Update Time, Scroll Enable

PAS SOFTWARE - Remote Setup

PM130 Powermeters are supplied with "PAS" Software for ease of use in setup, programming, and viewing real time parameters

Panel Mounting

4-Inch Round or 92 x 92mm DIN Square

PM130 Series **TRUEMETER™** The Low Cost Analog Replacement

The PM130 TrueMeter™ Powermeters are a cost effective means of replacing numerous single function analog meters such as voltage, current, frequency, etc., with an "all measurements in one" digital design, reducing meter, switch, wiring, termination, and signal conditioning costs.

Technical Parameters		Digital Functions			
		PM130	PM130P	PM130PEH	PM130PEH
True RMS Voltage (Volts L-N and L-L)		Average RMS per phase	•	•	PM130.PE.H
Direct Voltage Input:	Up to 800 V L-L and 400V L-N	Real-time per phase	•	•	PM130.PE.H
PT ratio:	1.0-6,500.0	Min/Max per phase	•	•	PM130.PE.H
Range of Reading:	1-800,000 V	Voltage Unbalance	•	•	PE.H
Accuracy:	+0.3% FS (10% to 120% FS)				
True RMS Current (Amps)		Average RMS per phase	•	•	PM130.PE.H
Secondary Current Input: 5A or 1A		Real-time per phase	•	•	PM130.PE.H
CT ratio:	1 to 50,000	Min/Max per phase	•	•	PE.H
Range of Reading:	0-60,000 A	Current Unbalance	•	•	PE.H
Accuracy:	+0.3% FS (2% to 150% FS)				
Neutral Current (Amps)		Average RMS current	•	•	PM130.PE.H
Range of Reading:	0-60,000 A	Real-time	•	•	PM130.PE.H
Accuracy:	+0.6% FS (2% to 150% FS)	Min/Max	•	•	PE.H
Frequency (Hz)		Average	•	•	PM130.PE.H
Range of Reading:	45.00-65.00 Hz	Real-time	•	•	PM130.PE.H
Accuracy:	+0.02% Reading	Min/Max	•	•	PE.H
Power Factor (PF)		Average total	•	•	PE.H
Range of Reading:	0.0 to 1.000 Lag/Lead	Average per phase	•	•	PE.H
Accuracy:	+1% Reading, PF ≥ 0.5	Real-time total & per-phase	•	•	PE.H
Phase Rotation	Positive, Negative, Err	Min/Max total	•	•	PE.H
Phase Rotation	Pos, Neg, Err		•	•	PE.H
Active Power (Watts)		Average total	•	•	PE.H
Range of Reading:	-2,000,000 to 2,000,000 kW	Average per phase	•	•	PE.H
Accuracy:	+0.5% FS, PF ≥ 0.5	Real-time total & per-phase	•	•	PE.H
Reactive Power (vars)		Min/Max total	•	•	PE.H
Range of Reading:	-2,000,000 to 2,000,000 Kvar	Average total	•	•	PE.H
Accuracy:	+0.6% FS, PF ≤ 0.5	Average per phase	•	•	PE.H
Apparent Power (VA)		Real-time & per-phase	•	•	PE.H
Range of Reading:	0 to 2,000,000 kVA	Min/Max total	•	•	PE.H
Accuracy:	+0.6% FS, PF ≥ 0.5	Average total	•	•	PE.H
Apparent Power (VA)		Average per phase	•	•	PE.H
Range of Reading:	0 to 2,000,000 kVA	Real-time & per-phase	•	•	PE.H
Accuracy:	+0.6% FS, PF ≥ 0.5	Min/Max total	•	•	PE.H
Active Energy (MWh)		Total (Import & Export)	•	•	PE.H
Range of Reading:	0 to 99,999 MWh	Import per phase	•	•	PE.H
Accuracy:	As Power				
Reactive Energy (Mvarh)		Total (Import & Export)	•	•	PE.H
Range of Reading:	0 to 99,999 Mvarh	Import per phase	•	•	PE.H
Accuracy:	As Power	Total net	•	•	PE.H
Apparent Energy (MVAh)		Total	•	•	PE.H
Range of Reading:	0 to 99,999 MVAh	Per phase	•	•	PE.H
Accuracy:	As Power				
Voltage Demand (Volts)		Demand per phase	•	•	PE.H
(same as voltage)		Max Demand per phase	•	•	PE.H
Amps Demand (Amps)		Demand per phase	•	•	PM130.PE.H
(same as current)		Max Demand per phase	•	•	PM130.PE.H
Active Power Demand (Watts)		Demand	•	•	E.H
(same as Active Power)		Maximum Demand	•	•	E.H
Accumulated Demand		Accumulated Demand	•	•	E.H
Slewing Demand		Slewing Demand	•	•	E.H
Predicted Demand		Predicted Demand	•	•	E.H
Apparent Power Demand (VA)		Demand	•	•	E.H
(same as Apparent Power)		Maximum Demand	•	•	E.H
Accumulated Demand		Accumulated Demand	•	•	E.H
Slewing Demand		Slewing Demand	•	•	E.H
Predicted Demand		Predicted Demand	•	•	E.H
Total Voltage Harmonic Distortion THD (V)%		Average THD (V)% per phase	•	•	E.H
Total Current Harmonic Distortion THD (I)%		Average THD (I)% per phase	•	•	E.H
Total Current Demand Distortion TDD (I)%		Average Total and per phase	•	•	E.H
Fundamental Power Factor (Displacement) PF(HI)		Average Total and per phase	•	•	E.H
Fundamental Active Power (kW)		Average Total and per phase	•	•	E.H

INPUT SPECIFICATIONS

Voltage:	
Direct Voltage Input:	Up to 690V L-L and 400V L-N
PT ratio:	1:6000
Range of Reading:	1-690,000V
Burden:	Directly < 0.5VA, Via PT < 0.15VA
Current:	
Secondary Current Input:	5A or 1A
Range of Reading:	0-60,000A
Burden:	2.5 to 4mm ² wire from CT
Overload:	5A CT = 16A RMS continuous, 40A for 1 sec. 1A CT = 3A RMS continuous, 60A for 1 sec.
Power Supply:	
Galvanically isolated, 90-144V AC or 185-264V AC (factory set), 50/60 Hz, 5 VA burden or AC/DC 85-265V AC/DC	

OUTPUT SPECIFICATIONS

Programmable Relay Output [option]:

Relay can be assigned to trigger on programmable set-point actions or provide energy pulses (PM130E) proportional to measured kWh or kvarh with a selectable rate per pulse. Relay rated at 3A, 250V AC / 3A, 30V DC / 0.25A, 120V DC (Resistive load - SPST Form A)

Communications:

Optically isolated RS-485 via removable service strip. Max. wire diameter 12 AWG (2.0mm²). Baud rate selectable to 19,200bps, 7 or 8 bit even parity or 8 bit no parity. Up to 100 address points in ASCII, 247 address points in MODBUS, and 256 address points in DNP allow multiple powermeters to be connected to one PC in multi-drop mode. Communication via modem is also available. MODBUS and ASCII or DNP3.0 and ASCII protocols are available.

MISCELLANEOUS

Voltage Input Terminals:

UL Recognized E129255. Max wire section 10 AWG (4 mm²)

Current Inputs:

Galvanically isolated CT core accepts pass through of wire sized to 0.3 inch (7.5 mm) total thickness/diameter

Power Supply Terminals:

Terminal Block, Max wire section 14 AWG (1.5 mm²)

Relay Terminal [option]:

Terminal Block, Max wire section 14 AWG (1.5 mm²)

Environment:

Operating temperature: -20° to +60°C (-4° to +140°F)

Storage temperature: -25° to +80°C (-13° to +176°F)

Humidity: 0-95% non-condensing

Dimensions (mounted):

4.5x4.5x4.29 inch (114.3 x 114.3 x 109 mm)

Mounting:

Panel mounted 4-inch round cut out or 82x82mm square DIN

Case Enclosure:

Molded plastic case - flame resistant ABS & Polycarbonate Blend

Weight:

1.54 lb (0.70 kg)

Warranty:

3 Year limited warranty

Standards:

UL Recognized - E238805 (US & Canada UL3111-1) UL61010B-1
CE EMC: 89/336/EEC as amended by 92/31/EEC and 93/8/EEC
IEC 73/23/EEC as amended by 93/68/EEC and 93/465/EEC
Harmonized Standards to which EN 55011:1991; EN 50082-1:1992
Conformity is Declared: EN 61010-1:1993; A2/1995
Immunity Standards

IEC IEC 1000-4-2 Electrostatic Discharge

IEC 1000-4-3 Radio Frequency Interference (RFI)

IEC 1000-4-4 Electrical Fast Transient (EFT)

ANSI C37.90.1 Surge Withstand Capability (SWC)

Oscillatory 2.5kV/1 MHz

Pulse Transient 3kV/100 ns.

ANSI C62.41-1991 Standard Surge

ISO 9001

ORDERING INFORMATION



PM130 (Volt, Amp, Frequency)

Voltage, Current, Neutral Current, Frequency, Min/Max Volts, Max Amp Demand, Phase Rotation

PM130P (Power Version)

Adds to PM130 - Watts, Vars, VA, PF, Min/Max values (Volts/Amps, Neutral, Hz, PF, KW, kVar, kVA), Max Amp Demand, Max Volt Demand, Voltage Unbalance, Current Unbalance

PM130E (Energy Version)

Adds to PM130P - MWh (Imp/Exp), Mvarh (Imp/Exp), MVAh, Per Phase Energy, Max kW Demand, Max kVA Demand

PM130EH (Harmonic Version)

Adds to PM130E - THD Voltage, THD Current

PM130 SERIES TRUEMETER™

PM130-
PM130P-
PM130E-
PM130EH-
OPTIONS

VOLTAGE INPUTS

- | | |
|---|-------------------------------|
| 0 | 690V AC Nominal Voltage Input |
| U | 120V AC Nominal Voltage Input |

CURRENT INPUTS

- | | |
|---|-----------|
| 5 | 5 Amperes |
| 1 | 1 Amperes |

POWER SUPPLY

- | | |
|-------|-------------|
| 1AC | 90-144V AC |
| 2AC | 185-264V AC |
| AC/DC | 85-265V DC |
| | 85-265V AC |

EXAMPLE:

PM130P-U-5-1AC or PM130P-0-5-AC/DC

SATEC, Ltd.

Har Hotzvim Science Based Industrial Park

P.O. Box 45022, Jerusalem, 91450 Israel

Tel: 972-2-541-1000 • Fax: 972-2-581-2371

E-mail: satec@satec.co.il

www.satec.co.il

SATEC, Inc.

One Springfield Ave., Summit, NJ 07901

Tel: (908) 608-0500 • Fax (908) 608-0535

E-mail: satec@oksatec.com

www.oksatec.com

BB0078

RINCAZ

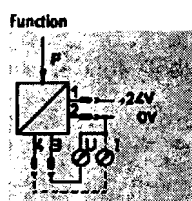
BB130-09984

SATEC Powerful Solutions

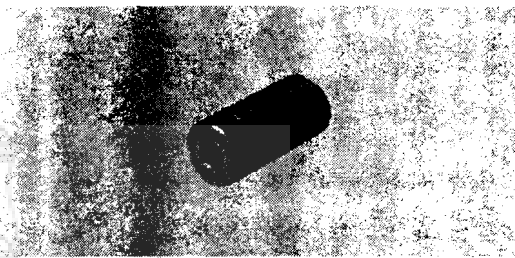
Pressure sensors SDE

Technical data

FESTO



- Voltage
12 ... 30 V DC
- Pressure
0 ... 16 bar
- Temperature range
0 ... +85°C

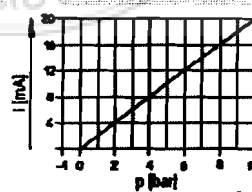
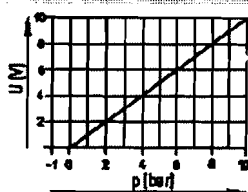


Type	SDE-2,5-10V/20MA	SDE-2,5-5V/20MA	SDE-10-10V/20MA	SDE-10-5V/20MA	SDE-16-10V/20MA
Operating pressure [bar]	0 ... 2,5		0 ... 10		0 ... 16
Mechanical					
Pneumatic connection	G1/4				
Method of measurement	Piezoresistive pressure sensor				
Measured variable	Relative pressure				
Accuracy	1%				
Hysteresis	Linearity and hysteresis to DIN 16 005				
Electrical connection	Plug M12x1, 4-pin				
Type of mounting	Threaded				
Mounting position	Any ¹⁾				
Weight [g]	120				
Electrical					
Operating voltage [VDC] range	12 ... 30				
Output voltage [VDC]	0 ... 10	1 ... 5	0 ... 10	1 ... 5	0 ... 10
Output current [mA]	0 ... 20	4 ... 20	0 ... 20	4 ... 20	0 ... 20
Protection against short circuit	Yes				
Protection class to EN 60 529	IP65				
CE symbol	89/336/EEC (EMC)				

Type	SDE-2,5-10V/20MA	SDE-2,5-5V/20MA	SDE-10-10V/20MA	SDE-10-5V/20MA	SDE-16-10V/20MA
Operating medium	Filtered compressed air, lubricated or unlubricated				
Pressure measuring range [bar]	0 ... 2,5		0 ... 10		0 ... 16
Ambient temperature [°C]	0 ... 85				



SDE-10-10V/20MA



ภาพพนวนที่ ก.7 รายละเอียดทางเทคนิคของเซ็นเซอร์วัดความดันลมอัด

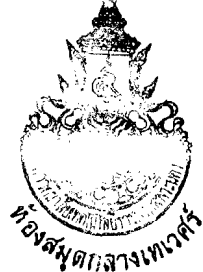


ประวัติผู้วิจัย

1. ชื่อ (ภาษาไทย) นายสมชาย เหลืองสด
(ภาษาอังกฤษ) MR. SOMCHAI LUANGSOD
2. ตำแหน่ง อาจารย์ 2 ระดับ 7 สังกัด สาขาวิชาวารกรรมเครื่องกล คณะวิชาวารกรรมศาสตร์
3. หน่วยงานที่อยู่ที่ติดต่อได้
สาขาวิชาวารกรรมเครื่องกล คณะวิชาวารกรรมศาสตร์
มหาวิทยาลัยเทคโนโลยีราชมงคลพระนคร
1381 ถ.พิบูลสงคราม แขวงบางซื่อ เขตบางซื่อ กรุงเทพฯ 10800
โทร. 02-9132424 ต่อ 138
4. ประวัติการศึกษา

พ.ศ. 2535 ประกาศนียบัตรบัณฑิต การประกันคุณภาพผลิตภัณฑ์อุตสาหกรรม
เกษตร มหาวิทยาลัยเกษตรศาสตร์ (บางเขน)

พ.ศ. 2533 ค.บ. วิชาวารกรรมเครื่องกล คณะวิชาวารกรรมเทคโนโลยี สถาบัน
เทคโนโลยีราชมงคล (เทเวศร์)
5. สาขาที่มีความชำนาญเป็นพิเศษ
 - ไฮดรอลิกส์และนิวแมติกส์
 - การควบคุมระบบอัตโนมัติ
6. ประสบการณ์ที่เกี่ยวข้อง
 - สอนวิชาไฮดรอลิกส์และนิวแมติกส์ (2542-ปัจจุบัน)
 - สอนวิชาไฮดรอลิกส์และนิวแมติกส์ประยุกต์ (2544-ปัจจุบัน)
 - อบรมหลักสูตร Mechanical Engineering, Technical Teacher Skills Strengthening, UNIVERSITY OF SOUTH AUSTRALIA ประเทศออสเตรเลีย (2539)
 - อบรมหลักสูตร The Advance Mechatronics Training Course FESTO Co.Ltd. ประเทศไทย (2543)



ประวัติผู้ร่วมวิจัย

1. ชื่อ (ภาษาไทย) นายอนันต์ เต็มเปี่ยน
(ภาษาอังกฤษ) MR. ANAN TEMPIAM
2. ตำแหน่ง อาจารย์ 2 ระดับ 6 สังกัด สาขาวิศวกรรมเครื่องกล คณะวิศวกรรมศาสตร์
3. หน่วยงานที่อยู่ที่ติดต่อได้
สาขาวิศวกรรมเครื่องกล คณะวิศวกรรมศาสตร์
มหาวิทยาลัยเทคโนโลยีราชมงคลพระนคร
1381 ถ.พิบูลสงคราม แขวงบางซื่อ เขตบางซื่อ กรุงเทพฯ 10800
โทร. 02-9132424 ต่อ 138
4. ประวัติการศึกษา

พ.ศ. 2547 วศ.ม. (วิศวกรรมเครื่องกล) มหาวิทยาลัยเกษตรศาสตร์ (บางเขน)
พ.ศ. 2538 วศ.บ. (วิศวกรรมเครื่องกล สถาบันเทคโนโลยีราชมงคล (ศรี) ฯ.
ปทุมธานี
5. สาขาวิชาที่มีความชำนาญเป็นพิเศษ
 - ไฮครอสิกส์และนิวแมติกส์
 - การควบคุมระบบอัตโนมัติ
6. ประสบการณ์ที่เกี่ยวข้อง
 - สอนวิชาไฮครอสิกส์และนิวแมติกส์ (2542-ปัจจุบัน)
 - สอนวิชาไฮครอสิกส์และนิวแมติกส์ประยุกต์ (2544-ปัจจุบัน)
 - งานวิจัยเรื่อง การพัฒนาการออกแบบแวร์ด้าว่างน้ำโดยใช้คอมพิวเตอร์ช่วย
(สกอ. กันยายน 2547)
 - งานวิจัยเรื่อง การจำลองการทดสอบทางกลของแวร์ด้าว่างน้ำโดยวิธีไฟไนต์เอลิ
เมนต์ (2547)